



Analyse ostéologique - Site archéologique CbEr-1
Cimetière de la municipalité de Saint-Frédéric
(MRC Robert-Cliche)

Reconstruction de la route 112 (2005)
(Projet MTQ 154-94-0211)

SERVICE DES INVENTAIRES ET DU PLAN
DIRECTION DE LA CHAUDIÈRE-APPALACHES

Vanessa Oliver-Lloyd, bioarchéologue

Juillet 2011

Analyse ostéologique – Site archéologique CbEr-1
Cimetière de la municipalité de Saint-Frédéric (MRC Robert-Cliche)

No. De contrat MTQ : 850774936
No. De dossier MTQ : 6203-09-AD08

Reconstruction de la route 112 (2005)
(Projet MTQ 154-94-0211)

Rapport remis

au

Ministère des Transports du Québec
Service des inventaires et du plan
Direction de la Chaudière-Appalaches
Direction générale de Québec et de l'Est

Par

Vanessa Oliver-Lloyd, bioarchéologue

Juillet 2011

Table des matières

Table des matières	3
Liste des figures :	5
Liste des tableaux	6
Équipe de réalisation :	7
1.0 INTRODUCTION	8
1.1 Description du mandat	8
1.2 Description du contexte géographique	8
1.3 Description du contexte archéologique	12
2.0 MÉTHODOLOGIE	13
2.1 Collecte de données	13
2.2 Analyses	16
3.0 ANALYSE DES DONNÉES	17
3.1 Description sommaire des squelettes	17
3.2 Immatures	21
3.2.1 Âge au décès	21
3.2.2 Pathologies bucco-dentaires	22
3.2.3 Autres pathologies	23
3.3 Adultes	24
3.3.1 Attribution de l'âge au décès	24
3.3.2 Détermination du sexe	25
3.3.3 Pathologies bucco-dentaires	26
3.3.4 Arthrose	35
3.3.5 Périostite	39
3.3.6 Stature	41
3.3.7 Variations anatomiques	43
3.3.8 Autres observations	45
4.0 DISCUSSION	52
5.0 CONCLUSION	55

BIBLIOGRAPHIE :	57
ANNEXES	59
Annexe 1 : Catalogue des photographies	59
Annexe 2 : Fiches d'analyse	62

Liste des figures :

Page couverture : Vue supérieure du crâne de la sépulture B23.

<i>Figure 1 : localisation du cimetière CbEr-1 de la municipalité de Saint-Frédéric (MRC Robert-Cliche) (échelle 1 : 50 000)</i>	10
<i>Figure 2 : Vue aérienne du cimetière CbEr-1 de Saint-Frédéric</i>	11
<i>Figure 3 : État de conservation typique, fémur du squelette A43</i>	18
<i>Figure 4 : Mandibule du squelette A57</i>	23
<i>Figure 5 : Carie sur la prémolaire droite, maxillaire supérieur du squelette A22</i>	27
<i>Figure 6 : Abscess, mandibule du squelette A16</i>	29
<i>Figure 7 : Torus, maxillaire supérieur du squelette B23</i>	31
<i>Figure 8 : Overbite, maxillaire supérieur du squelette B23</i>	32
<i>Figure 9 : Usure de fumeur de pipe, dents inférieures du squelette B16</i>	34
<i>Figure 10 : Arthrose (porosité et éburnation) sur les carpes du squelette A23</i>	37
<i>Figure 11 : Périostite sur le tibia gauche du squelette A23</i>	40
<i>Figure 12 : Facette de Poirier sur le fémur gauche du squelette A63</i>	44
<i>Figure 13 : Trou sus-trochléen, humérus gauche du squelette B23</i>	45
<i>Figure 14 : Arachnoid granulations, face endocrânienne du crâne du squelette B23</i>	46
<i>Figure 15 : Ligament ossifié, rotule droite du squelette A13</i>	47
<i>Figure 16 : Astragale et calcanéum droits soudés du squelette A13</i>	48
<i>Figure 17 : Ligament ossifié, radius droit du squelette A72</i>	49
<i>Figure 18 : Tissus noir collé sur le radius gauche du squelette A63</i>	50
<i>Figure 19 : Cheveux en chignon associés au squelette B10</i>	51
<i>Figure 20 : Absence de cortex, fémur du squelette A54</i>	53
<i>Figure 21 : Humérus parfaitement conservé du squelette B2</i>	54

Liste des tableaux

Tableau 1 : Synthèse des analyses ostéologiques	19
Tableau 2 : Décompte des immatures par groupe d'âge	21
Tableau 3 : Tableau-synthèse des observations faites sur les immatures	22
Tableau 4 : Décompte des squelettes adultes par groupe d'âge	24
Tableau 5 : Décompte des squelettes selon le sexe	26
Tableau 6 : Synthèse des pathologies bucco-dentaires chez les adultes	29
Tableau 7 : Les observations bucco-dentaires chez les femmes	30
Tableau 8 : Les observations bucco-dentaires chez les hommes	33
Tableau 9 : Les observations bucco-dentaires chez les squelettes de sexe indéterminé	35
Tableau 10 : L'arthrose chez les femmes	36
Tableau 11 : L'arthrose chez les hommes	38
Tableau 12 : L'arthrose dans les squelettes de sexe indéterminé	38
Tableau 13 : La périostite chez les femmes	39
Tableau 14 : La périostite chez les hommes	41
Tableau 15 : La périostite dans les squelettes de sexe indéterminé	41
Tableau 16 : La stature des squelettes avec os longs mesurables	42
Tableau 17 : La stature moyenne des femmes	43
Tableau 18 : La stature moyenne des hommes	43

Équipe de réalisation :

Vanessa Oliver-Lloyd, bioarchéologue
Analyse bioarchéologique et rédaction du rapport

Denis Roy, archéologue, chargé de projet
Service de la planification et de la programmation
Direction de la coordination, de la planification et des ressources
Direction générale de Québec et de l'Est
Ministère des Transports du Québec

1.0 Introduction

1.1 Description du mandat

Suite à la fouille archéologique, les ossements humains et les autres artefacts mis au jour dans le site CbEr-1 furent transférés au laboratoire de la Réserve d'archéologie du Québec du ministère de la Culture, des Communications et de la Condition féminine du Québec (MCCCF). Les squelettes les plus complets ont été nettoyés et catalogués. Les autres artefacts y ont également été identifiés et catalogués.

Le mandat reçu du ministère des Transports du Québec (MTQ) est à l'effet de réaliser une analyse ostéologique des squelettes catalogués. Bien que trente-neuf squelettes aient été initialement identifiés, seuls vingt-neuf squelettes ont fait l'objet de l'analyse. Sur les dix boîtes d'ossements provenant de la Réserve, l'une de celles-ci contenait des squelettes très incomplets, dont les os n'avaient pas été nettoyés et catalogués. Trois squelettes présents dans cette boîte ont tout de même fait l'objet de l'analyse ostéologique.

Le mandat comprenait finalement la production d'un rapport présentant le contexte de cette analyse et de ses résultats.

1.2 Description du contexte géographique

La municipalité de Saint-Frédéric est localisée dans la MRC Robert-Cliche, dans la région administrative Chaudière-Appalaches. Cette municipalité de la Beauce est située au nord de Tring-Junction, à 12 km à l'ouest de la municipalité Saint-Joseph-de-Beauce donc environ 12 km à l'ouest de l'embouchure de la rivière des Fermes qui se jette dans la rivière Chaudière. La municipalité est située dans l'axe de la route 112 et de la route 276.

La Beauce occupe la vallée de la rivière Chaudière, dont les rives sont constituées de terres arables propices à l'agriculture. Le peuplement de la région, fortement encouragé au cours du régime français, s'est poursuivi tout au long du régime britannique (Janson 2009 : 4). D'abord morcelé en petites seigneuries agricoles, le territoire de la Beauce fut divisé en cantons pendant le régime britannique. La construction du chemin de fer, au début du 20^e siècle, facilita l'accès à cette région, entraînant une diversification de son économie.

Anciennement rattaché à la seigneurie de Saint-Joseph, le village de Saint-Frédéric a été fondé canoniquement en 1851 et civilement en 1856 (Janson 2009 : 5-6). L'année 1851 fut marquée par la construction de la première église et, fort probablement, de l'ouverture du cimetière. L'église et le cimetière sont localisés sur le côté sud de la route 112 (fig. 1 et 2).

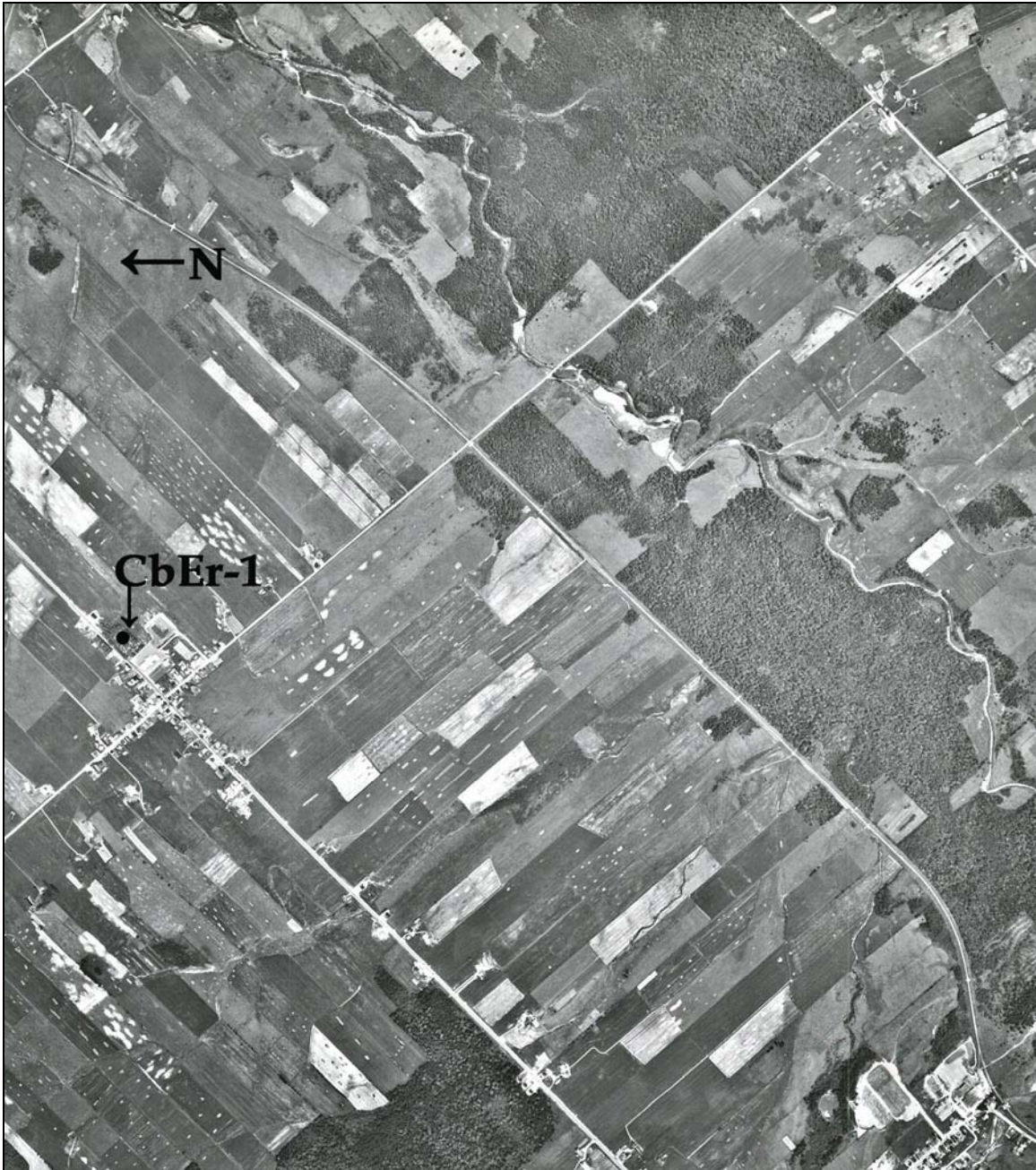


Figure 2 : Vue aérienne du cimetière CbEr-1 de Saint-Frédéric. Ministère des terres et forêts, service de la photogrammétrie et de la cartographie, échelle 1 : 15 840, Q6630-77.

1.3 Description du contexte archéologique

Le cimetière de Saint-Frédéric est localisé à l'ouest de l'église de cette communauté. Bien que la date précise de son inauguration est inconnue, certaines données d'archives laissent croire qu'il aurait été ouvert en 1851, en même temps que l'église (Janson 2009 : 7). Les limites du cimetière ont fait l'objet de modifications ou d'agrandissements au fil du temps : en 1863, en 1907, en 1908, en 1967 et en 1993. Le cimetière est toujours en opération.

La modification effectuée en 1967 est conséquente à la cession d'une partie du cimetière au ministère des transports du Québec (MTQ) pour permettre l'élargissement de la route 112. Lors de cette cession, cette partie du cimetière fut désacralisée et un certain nombre de sépultures furent alors exhumées et déplacées dans le secteur sud-est du cimetière actuel (Janson 2009 : 8). Au total, le permis de translation concernait 150 corps, mais le nombre réel de sépultures exhumées et déplacées est inconnu.

En 2005, la municipalité de Saint-Frédéric et le MTQ projetaient des travaux de réfection sur un tronçon de la route 112 ainsi que la pose d'infrastructures pour l'assainissement des eaux. L'inventaire archéologique réalisé en juin 2005 en bordure du cimetière avait révélé la présence de cercueils et de restes humains encore en place (Fiset, R., n.d.). Subséquemment, en juin et juillet 2005, une fouille archéologique de sauvetage fut réalisée à la demande du MTQ, par l'archéologue Richard Fiset, avec la participation de deux bioarchéologues. Une aire de fouille couvrant une superficie d'environ 630 m² fut alors ouverte. La fouille de cette partie de l'ancien cimetière de Saint-Frédéric a mis au jour un grand nombre d'artefacts associées aux sépultures et au mobilier funéraire, dont des cercueils, de la quincaillerie de cercueil et de menus objets. Plusieurs

cercueils mis au jour contenaient des squelettes complets ou partiels ou des ossements humains épars. Cette fouille a mis au jour un total de 108 sépultures.

La plupart des sépultures étaient orientées dans un axe est-ouest, ce qui correspond à l'alignement des pierres tombales du cimetière actuel. Tous les squelettes furent inhumés dans des cercueils. Toutefois, plusieurs de ceux-ci ne contenaient que de petits os ou de petits objets. La fouille archéologique confirme que l'exhumation prévue en 1967, lors de la cession de cette partie du cimetière au MTQ, a bel et bien eu lieu. Les artefacts laissés dans les cercueils par les individus chargés de la translation sont surtout de petits os (os de main, de pied), des pièces de tissu (vêtements, décors de cercueil), des restes organiques (cheveux) et des objets significatifs pour les familles des défunts (poupées, objets de piété).

Le registre de l'Inventaire des sites archéologiques du Québec (ISAQ) du ministère de la Culture, des Communications et de la Condition féminine du Québec (MCCCF) ne mentionnait aucunement la présence de sites archéologiques connus à proximité du cimetière avant la découverte du site CbEr-1 en 2005. Le site CbEr-1 correspond à la partie désacralisée, en 1967, du cimetière de la municipalité.

2.0 Méthodologie

2.1 Collecte de données

L'analyse ostéologique se fait selon une méthode bien établie identifiée comme étant «l'observation participante» (Thillaud 1996). Cette méthode implique que tous les squelettes doivent être examinés individuellement, du crâne jusqu'aux pieds. L'observation de chaque os permet de décrire son état de conservation, sa morphologie et de colliger toute autre information pertinente. Les données sont

consignées sur des fiches de travail ainsi que dans des cahiers de notes. La portée des observations dépend à la fois du degré de conservation des ossements et de l'intégrité du squelette. Lorsqu'un bon nombre des os d'un squelette est manquant, les analyses sont nécessairement incomplètes.

L'observation participante permet généralement de déterminer l'âge au décès, ainsi que l'identification du sexe de l'individu (Bass 1995; Buikstra et Ubelaker 1994; Mann et Hunt 2005; Ortner 2003; Roberts et Manchester 1999; White et Folkens 2005). La détermination de l'âge des défunts immatures se fait selon le degré d'éruption des dents, selon le degré de fusion des épiphyses et selon la longueur des os longs. Pour les adultes, la détermination de l'âge au décès est moins précise et se calcule en décennies (Arpin 2006). Comme les dents ont terminé leur croissance, c'est leur degré d'usure qui permet de cerner une fourchette d'âge. Le degré de fermeture des sutures crâniennes est un second élément permettant de préciser l'âge au décès. Finalement, l'observation de deux sites sur les coxaux, la symphyse pubienne et la surface auriculaire, vient appuyer les deux critères précédents.

L'identification du sexe se fait pour les individus adultes seulement. En effet, il est impossible de déterminer le sexe des individus immatures puisque les éléments osseux caractéristiques du sexe ne se sont pas encore développés (Scheuer et Black 2000). C'est à la puberté que la morphologie de ces éléments du squelette, principalement le crâne et les os du bassin, prennent leur forme finale. Un chiffre compris entre 1 (très féminin) et 5 (très masculin) est attribué à chaque caractère discriminant du sexe sur les crânes adultes. Les observations sont faites sur le plus grand nombre de sites possibles et incluent l'arcade sourcilière, la forme du front, la longueur des mastoïdes et le degré de développement de la crête nuchale. Il en va de même pour quatre sites sur les coxaux tels que l'échancrure sciatique et l'angle pubien. Finalement, une appréciation générale

de la robustesse et des dimensions des os du squelette complète l'évaluation du sexe.

La description des principales pathologies, telles que les maladies bucco-dentaires ou la présence de maladies infectieuses, constitue l'un des piliers de l'analyse des restes humains (Goodman et Martin 2002; Mann et Hunt 2005; Ortner 2003; Roberts et Manchester 1995; White et Folkens 2005). La présence de caries ou d'abcès sur les arcades dentaires permet de statuer à la fois sur la qualité de l'hygiène dentaire et sur le type de nourriture consommé (Oliver-Lloyd 2008 : 49).

Parce qu'elles sont plus communes, deux pathologies en particulier retiennent l'attention : la périostite et l'arthrose. La périostite s'observe sur la surface des os (cortex). Elle peut prendre plusieurs formes, telles que des stries ou une porosité sur la surface osseuse, mais indique toujours la présence d'une infection au niveau de l'os. L'arthrose est une maladie dégénérative associée à l'âge et s'observe sur les articulations. Elle peut prendre trois aspects : un bourrelet autour de la surface articulaire, une porosité ou de l'éburnation (polissage) sur la surface articulaire. Ces trois formes ne sont pas exclusives et peuvent se retrouver sur la même surface.

Lorsque l'intégrité des os le permet, des données métriques sont recueillies selon les mêmes standards précis. Ces données mènent, entre autres, à la déduction de la stature des individus (Ubelaker 1999 : 61). Elles permettent également de statuer sur certaines formes de stress biomécanique auquel peut être soumis le squelette (Oliver-Lloyd 2008 : 51).

Le dernier élément observé lors de l'analyse des squelettes est celui des variations anatomiques. La charpente osseuse de chaque individu est identique à

la base. Toutefois, certains éléments peuvent adopter une forme légèrement différente. Cela constitue une variation anatomique. Celles-ci peuvent être héréditaires ou environnementales.

2.2 Analyses

Une fois la collecte de données effectuée, l'échantillon est séparé en divers groupes, selon l'âge et le sexe attribué à chaque squelette. Subséquemment, le décompte et la description des différentes pathologies présentes sur les ossements sont effectués. Toute particularité qui n'entre pas dans les catégories mentionnées fait également l'objet d'une description.

La prévalence des diverses pathologies de chaque sous-groupe est examinée. L'échantillon est séparé selon l'âge et le sexe dans le but de mieux départager les éléments présents et leur interaction. Par exemple, l'arthrose est-elle plus présente chez les hommes ou chez les femmes? Sa fréquence est-elle reliée à l'âge? Quelles articulations sont les plus affectées par cette pathologie? Ce genre de questionnement se fait pour chaque pathologie. La compréhension de la dynamique des divers sous-groupes permet de faire des liens avec le contexte socioculturel et ultimement de statuer sur l'état de santé d'une population ancienne.

Dans le cas présent, la portée des analyses a été grandement réduite par le mauvais état de conservation des ossements.

3.0 Analyse des données

3.1 Description sommaire des squelettes

Cette section présente l'analyse de vingt-neuf squelettes. Cependant, l'état de conservation des ossements du cimetière de Saint-Frédéric est généralement mauvais. La plupart des os spongieux n'ont pas résisté au séjour dans le sol. Ainsi, pour la majorité des squelettes, les os du torse (vertèbres, côtes), les coxaux et les menus ossements des mains et des pieds sont manquants. Tous les crânes, sauf un, sont brisés et en morceaux. Il ne reste que les os de la boîte crânienne : les os de la face ne se sont pas conservés. Bien que dans la plupart des cas les os longs des bras et des jambes soient présents, il manque les extrémités. Cette situation réduit la portée des analyses puisqu'il est impossible de prendre des mesures sur des os brisés et incomplets. De même, sans les épiphyses, il est impossible d'observer les surfaces articulaires des os longs.

Outre le fait que l'intégrité des squelettes soit généralement mauvaise, le degré de conservation des os est également plutôt mauvais. En effet, la surface des os est souvent érodée et montre beaucoup de changements *post-mortem*. Certains ossements n'ont plus de cortex du tout. Cela affecte les analyses puisque la plupart des pathologies, lorsqu'elles sont présentes, laissent des traces sur le cortex des os. Le degré de développement du relief musculaire s'observe également sur le cortex. Son absence réduit le nombre d'observations qu'il est possible de réaliser. De plus, l'absence de surface modifie l'apparence des os, laissant paraître qu'ils sont plus graciles qu'ils ne le sont vraiment (fig. 3).



Figure 3 : État de conservation typique, fémur du squelette A43

Le tableau 1 présente la synthèse des analyses et des états ostéologiques retrouvés à Saint-Frédéric. L'échantillon est d'abord séparé selon l'âge. Les analyses des squelettes des défunts immatures sont présentées en première partie, suivie des observations faites sur les squelettes adultes. Chaque rubrique, chez les adultes, fait l'objet d'une présentation générale et est examinée selon chaque sexe.

Tableau 1 : Synthèse des analyses ostéologiques

Provenance	Âge	Sexe	Arthrose	Périostite	Bucco-dentaire	Autres
A1	adulte	F	x	x	x	genou <i>varum</i> à G
A2	?	?	x	x	x	-
A13	adulte	F	x	x	x	ligament ossifié sur rotule D, 2 tarses G soudés
A14	40-50 ans	F	x	x	x	<i>arachnoid granulations</i>
A16	adulte	F	-	x	chutes, abcès	-
A22	jeune adulte	M	x	-	tartre, caries	-
A23	adulte	M	vertèbres et mains	tibias	mandibule édentée	-
A27	?	?	x	x	-	-
A34	adulte	M	-	x	x	-
A43	adulte	?	x	x	x	-
A51	?	?	x	cubitus G	x	-
A54	adulte	F	x	x	carie	-
A57	5-7 ans	N/A	N/A	-	-	-
A63	adulte	M	-	x	x	tissu sur avant-bras G, facette de Poirier sur fémur G
A67	adulte	M	x	x	-	-
A68	adulte	F	x	x	x	-
A72	adulte	M	omoplate D et humérus	-	x	relief musculaire développé, ligament ossifié
A73	3-4 ans	N/A	N/A	-	-	cheveux
B2	adulte	M	x	-	x	relief musculaire

						développé
B4	adulte	?	x	x	x	-
B9	10-12 ans	N/A	N/A	x	-	-
B10	adulte	F	x	x	-	cheveux en chignon
B13	30-35 ans	?	x	x	-	-
B15	?	?	x	x	carie	-
B16	adulte	M	x	x	usure de fumeur de pipe	-
B20	adulte	?	x	x	x	-
B23	adulte moyen	F	-	x	chutes, torus maxillaire, <i>overbite</i>	<i>arachnoid granulations, trou sus-trochléen humérus G</i>
B26	adulte moyen	?	x	x	x	-
C1	40-50 ans	M	x	x	-	<i>arachnoid granulations</i>

Légende : F = féminin, M = masculin, ? = indéterminé, N/A = non-applicable, - = il n'y en a pas, x = non-observable

3.2 Immatures

3.2.1 Âge au décès

Les critères permettant la déduction de l'âge au décès d'un squelette humain ont été présentés dans le chapitre précédent. Dans le meilleur des cas, un écart d'âge chiffré est proposé. Chez les immatures, cet écart est moins large puisque les critères utilisés sont plus précis. Sur les 29 squelettes analysés, 26 correspondent à des adultes et 3 à des immatures. L'âge de ceux-ci a pu être établi précisément. L'individu de la sépulture A57 est mort entre 5 et 7 ans, celui de la sépulture A73 avait 3-4 ans à son décès et celui de la sépulture B9 est décédé entre 10 et 12 ans.

Tableau 2 : Décompte des immatures par groupe d'âge

Âge	Nombre
3-4	1
5-7	1
10-12	1
Total	3

Ces trois squelettes correspondent à 10,4 % de l'échantillon total. C'est très peu, malgré le fait que les immatures sont souvent sous-représentés dans les collections ostéologiques (Arpin 2006). Plusieurs facteurs expliquent ce constat. En effet, le petit nombre de restes d'enfants peut être dû au fait que leurs os se conservent moins bien dans le sol acide. De plus, le petit nombre de sépultures d'enfants peut être dû à l'échantillonnage de la partie du cimetière qui a été fouillée. En effet, la plupart des cimetières catholiques du 19^e siècle avaient une section réservée à l'inhumation des enfants décédés en bas âge. Dans ce cas, cela implique que les sépultures des immatures sont regroupées dans un espace précis. Lorsque les fouilles archéologiques ont lieu à l'extérieur des limites de ce secteur, il est donc normal de trouver moins d'enfants. La mortalité infantile était certainement plus élevée à Saint-Frédéric que ce que révèle la collection ostéologique.

Dans le cas des restes des trois défunts immatures analysés, ce sont les dents qui ont permis de déterminer l'âge au décès de manière précise. D'ailleurs, aucun ossement n'a été recueilli dans la sépulture B9, exclusivement constituée de dents libres.

Il est également surprenant de ne pas retrouver de sépulture de nouveau-né dans l'échantillon. Les premiers six mois de vie sont l'une des périodes de la vie les plus stressantes d'un point de vue biologique (Saunders *et al.* 2002). Le passage de l'allaitement vers la nourriture solide et les problèmes gastro-intestinaux sont parmi les facteurs de risques potentiels de décès. Dans le cas des nouveau-nés il est possible que cette absence soit consécutive à un problème d'échantillonnage du cimetière.

Tableau 3 : Tableau-synthèse des observations faites sur les immatures

Provenance	Âge	Périostite	Bucco-dentaire	Autres
A57	5-7 ans	-	-	-
A73	3-4 ans	-	-	cheveux
B9	10-12 ans	x	-	-

Légende : - = il n'y en a pas; x = non-observable

3.2.2 Pathologies bucco-dentaires

Aucune pathologie bucco-dentaire n'affecte les immatures de l'échantillon (fig. 4). Il est difficile d'interpréter cette absence. L'hypoplasie dentaire implique que l'individu a été soumis à un stress biologique lors de la formation de ses dents. Est-ce à dire que les individus de Saint-Frédéric étaient protégés de ce genre de stress? Il est impossible de l'affirmer, puisque l'échantillon est nettement trop faible. Il en va de même pour les caries. Celles-ci sont le reflet de l'hygiène dentaire et du type de nourriture consommée. L'absence de caries chez les

enfants de l'échantillon ne permet pas de statuer sur la qualité de leur alimentation.



Figure 4 : Mandibule du squelette A57

3.2.3 Autres pathologies

Aucune trace de pathologie n'a été relevée sur les os de ces trois individus. Cela n'est pas surprenant car, pour que des maladies laissent des traces sur le squelette, il faut qu'elles aient atteint un stade avancé. Dans la plupart des cas, l'individu meurt avant que ses os ne soient affectés par la maladie (Wood *et al.* 1992). Certaines carences alimentaires laissent des traces assez précises sur le squelette. Par exemple, une carence en fer se traduit, entre autres, par une porosité typique du plafond des orbites (*cribra orbitalia*). Or, l'état de conservation des squelettes du cimetière de Saint-Frédéric démontre que très peu de ces os ont résisté au temps. La plupart des squelettes sont donc non-observables sur ce point. C'est le cas des trois immatures de l'échantillon.

3.3 Adultes

3.3.1 Attribution de l'âge au décès

Chez les adultes, l'écart d'âge peut être proposé par tranches de 5 à 10 ans, selon le degré de conservation des divers sites observés. L'état de conservation des ossements de Saint-Frédéric n'a pas permis d'attribuer un écart d'âge chiffré pour tous les adultes de la collection (tableau 4). Trois squelettes seulement se sont vu attribuer une fourchette d'âge précise : A14 (40-50 ans), B13 (30-35 ans) et C1 (40-50 ans). Sur les 23 squelettes restants, quatre portent la mention «indéterminé». C'est dire qu'il n'y avait aucun critère sur lequel s'appuyer pour permettre de déduire l'âge au décès de ces individus.

Pour les 19 autres squelettes, il a été impossible de chiffrer l'âge au décès. Néanmoins, ils portent tous la mention «adulte». Bien que la dimension des os ou que le degré d'usure des dents montrent que ce sont des individus adultes, aucun des sites osseux permettant de déduire l'âge n'a pu être observé. Il est donc impossible d'établir un écart d'âge précis. Par contre, pour trois de ces squelettes, il a été possible de qualifier un tant soit peu l'âge attribué. Ainsi, la sépulture A22 correspond à celle d'un jeune adulte (20-35 ans) et les sépultures B23 et B26 correspondent à des adultes moyens (35-50 ans).

Tableau 4 : Décompte des squelettes adultes par groupe d'âge

Âge	Nombre
30-35	1
40-50	2
Jeune adulte	1
Adulte moyen	2
Adulte	16
Indéterminé	4
Total	26

3.3.2 Détermination du sexe

Le mauvais état de conservation des os n'a pas permis de déterminer le sexe de tous les squelettes mis au jour à Saint-Frédéric. La plupart des os montrant les caractéristiques discriminants du sexe, principalement les crânes et les coxaux, sont en effet brisés ou carrément absents. Même lorsque brisés, tous les fragments de crânes pertinents ont été observés et se sont vus attribuer une note, lorsque cela était possible. C'est le cas des crêtes nuchales de l'occipital. Malheureusement, les arcades sourcilières du frontal et les mastoïdes du temporal ne se sont pas bien conservées. Pour ce qui est des os du bassin, les rares coxaux qui ont survécus sont très fragmentaires. Il n'y a aucun pubis, ni ischion, seulement des fragments d'ilion. L'observation de l'échancrure sciatique a été possible dans quelques cas seulement. Pour la majorité des squelettes, l'appréciation du sexe s'est fait selon l'observation de la robustesse et de la dimension des os.

Sur les 26 squelettes adultes, 8 sont des femmes, 9 sont des hommes et 9 sont de sexe indéterminé (tableau 5). Les squelettes de femmes constituent 27,5 % de l'échantillon total. La forte érosion de la surface (cortex) des os a cependant pour conséquence de «féminiser» les squelettes en leur donnant un aspect plus gracile qu'ils ne le sont vraiment. Les squelettes d'hommes constituent 31 % de l'échantillon total. En général, les os de ces squelettes masculins sont très bien conservés, ce qui a facilité l'identification du sexe. Leur bonne conservation a permis d'observer le relief musculaire ainsi que de mesurer la longueur des os longs.

Les huit squelettes de femmes et les neuf squelettes d'hommes se sont vus attribuer un sexe de façon précise grâce à la conservation des éléments osseux les plus utiles. Toutefois, cela n'a pas été le cas pour neuf des squelettes dont le sexe

n'a pas pu être déterminé. Cela correspond à 31 % de l'échantillon total et limite la portée des analyses.

Tableau 5 : Décompte des squelettes selon le sexe

Sexe	Nombre	Pourcentage
Féminin	8	27,6
Masculin	9	31
Indéterminé	9	31
Non-applicable (immatures)	3	10,4
Total	29	100

3.3.3 Pathologies bucco-dentaires

La conservation différentielle des squelettes a eu un impact certain sur les observations, en ce qui concerne la santé bucco-dentaire. Sur les 26 squelettes adultes analysés, seuls 12 d'entre eux se sont avérés observables. C'est donc dire que les arcades dentaires ne se sont pas conservées pour la moitié des squelettes recueillis. De plus, ce ne sont pas tous ces 12 squelettes qui permettent d'effectuer des observations pour les divers types de pathologie (tableau 6). Par exemple, un individu dont la mandibule est édentée n'est pas observable pour les caries, mais l'est pour les chutes *ante-mortem*. De même, un squelette dont les arcades dentaires ne se sont pas conservées mais dont les dents libres ont pu être récupérées est observable pour les caries et le tartre, mais pas pour les abcès.

La pathologie bucco-dentaire la plus fréquente observée dans l'échantillon est la chute de dents avant le décès. La perte de dents *ante-mortem* peut être naturelle, due à des facteurs tels que la carie ou les abcès. Elle peut également être volontaire comme dans le cas de certains traitements préventifs en dentisterie. La chute de dents *ante-mortem* affecte 4 individus sur 7 observables. Donc, plus de la moitié des individus observables sont touchés. Dans un cas, celui de la sépulture A23, la mandibule est carrément édentée. Toutes les alvéoles sont fermées, ce qui implique une perte de dents longtemps avant le décès. La mandibule a sûrement

subi des changements morphologiques. Toutefois, celle-ci n'est pas assez complète pour permettre ce genre d'observation.

Les caries constituent la deuxième pathologie bucco-dentaire la plus fréquente à Saint-Frédéric. Sur un total de 13 squelettes observables, 3 individus ont des caries. Le squelette de la sépulture A22 a deux dents cariées. La première est la première prémolaire supérieure droite (fig. 5). La carie est assez sévère et se situe sur la face buccale de la dent. Un trou traverse la base de la couronne de cette dent : la dentine devait être exposée. La deuxième dent affectée est la deuxième molaire inférieure droite. Dans ce cas, la carie se trouve à la base de la couronne et en partie sur la racine, face buccale.



Figure 5 : Carie sur la prémolaire droite, maxillaire supérieur du squelette A22

La carie du squelette de la sépulture A54 se trouve sur la deuxième molaire inférieure gauche. Elle prend l'aspect d'un petit trou dans la face occlusale de la

dent. Elle est peu sévère. Le dernier squelette présentant une carie est celui de B15. La carie se trouve également sur la face occlusive et prend la même forme, celle d'un trou. Toutefois, elle se situe sur la deuxième molaire gauche supérieure. Elle est légèrement plus sévère.

Un seul cas d'abcès a été noté parmi les ossements observables analysés. Comme les abcès se logent dans les arcades dentaires, le fait que celles-ci se soient mal conservées a réduit le nombre de squelettes observables pour cette pathologie. Seuls sept d'entre eux ont des arcades dentaires assez complètes pour permettre une telle observation. La mandibule du squelette de la sépulture A16 est préservée des incisives jusqu'aux molaires droites. Une dépression aux parois arrondies se situe là où devait se trouver l'alvéole de la deuxième prémolaire inférieure droite (fig. 6). Ce genre de dépression est causé par la présence d'un abcès apical. Formé autour de la racine de la deuxième prémolaire, le développement de l'abcès a entraîné la résorption de la mandibule et mené à la chute de la dent.



Figure 6 : Abscès, mandibule du squelette A16

La dernière pathologie bucco-dentaire est la présence de tartre. Un seul squelette (A22) révèle des traces de tartre bien que 13 d'entre elles soient observables. Le tartre est relativement léger, sauf pour l'incisive, où il est un peu plus épais. Dans tous les cas, il se situe à la base de la couronne.

Tableau 6 : Synthèse des pathologies bucco-dentaires chez les adultes

Type de pathologie bucco-dentaire	Nombre affecté/nombre observable
Chutes de dents ante-mortem	4 /7 (57%)
Caries	3/13 (23%)
Abcès	1/7 (14,3%)
Tartre	1/13 (7,8%)

Quelques éléments intéressants ressortent à l'examen de la santé bucco-dentaire des femmes représentées dans l'échantillon de Saint-Frédéric (tableau 7). La pathologie la plus évidente est celle de la chute de dents *ante-mortem*. Sur les huit squelettes de femmes, deux seulement sont observables pour cette pathologie. Ce

sont A16 et B23. Les autres squelettes ne sont pas observables car les arcades dentaires sont absentes. Une partie du corps de la mandibule de la sépulture A16 s'est conservé. La première prémolaire droite est tombée bien avant le décès et l'alvéole s'est refermée complètement. Il en va de même pour la première et la deuxième molaire de ce côté. La mandibule est brisée au-delà de la deuxième molaire. Dans le cas de B23, la mandibule est partiellement édentée. Toutes les molaires, six au total, sont tombées avant le décès et toutes les alvéoles sont complètement refermées à l'exception de celle de la troisième molaire gauche. La partie centrale de la mandibule étant érodée, il n'est pas possible d'affirmer que d'autres dents manquaient.

Tableau 7 : Les observations bucco-dentaires chez les femmes

Observation bucco-dentaire	Nombre affecté/nombre observable
Chutes de dents <i>ante-mortem</i>	2 / 2 (100%)
Abcès	1 / 2 (50%)
Torus maxillaire	1 / 2 (50%)
<i>Overbite</i>	1 / 2 (50%)
Caries	1 / 4 (25%)

La conservation des arcades dentaires est également nécessaire pour l'observation des abcès. Les deux même squelettes ont permis des observations pour cette pathologie et l'un d'entre eux présente un abcès. Cet abcès s'est formé à la racine de la deuxième prémolaire droite de la mandibule de A16. L'alvéole est encore visible, il n'est donc pas possible de conclure que la dent est manquante parce qu'elle est tombée avant le décès ou si elle est manquante *post-mortem*.

Un troisième aspect noté chez les femmes est celui de la morphologie du maxillaire supérieur de la sépulture B23. On note la présence d'un torus maxillaire au centre du palais. Le torus prend l'apparence d'un renflement au centre du palais de la sépulture B23 (fig. 7). Les torus peuvent apparaître sur

n'importe laquelle des arcades et peut être relié à une utilisation excessive des arcades dentaires.



Figure 7 : Torus, maxillaire supérieur du squelette B23

Il semble aussi que cette femme avait un *overbite* : ses incisives supérieures ne sont pas en occlusion avec les incisives inférieures (fig. 8). Les dents de l'arcade supérieure sont avancées en rapport aux dents inférieures, créant de l'espace entre les dents. Dans ce cas, seules les premières incisives sont encore dans leurs alvéoles. Elles sont très avancées, presque à l'horizontale. Il est possible que la présence de l'*overbite* et du torus maxillaire soit lié au fait que la mandibule de B23 est partiellement édentée. Les alvéoles des molaires droites et gauches sont complètement refermées. La chute ante-mortem des dents aurait entraîné des changements morphologiques des arcades dentaires, créant ainsi le torus et exagérant l'*overbite*. Malheureusement, la partie antérieure de la mandibule est érodée. Il est donc impossible de statuer sur les alvéoles des autres dents.



Figure 8 : Overbite, maxillaire supérieur du squelette B23

Le dernier élément bucco-dentaire noté chez les femmes est celui des caries. Une seule carie a été relevée pour cet échantillon, sur quatre squelettes observables (donc qui avaient des dents). Elle se situe sur la face occlusale de la deuxième molaire gauche de la mandibule de la sépulture A54. Elle n'est pas sévère et correspond à un petit trou dans l'émail.

Comme c'est le cas pour l'échantillon féminin, les chutes de dents avant le décès constituent la pathologie bucco-dentaire la plus fréquente chez les hommes (tableau 8). Seules deux sépultures ont permis des observations pour cette affliction. Pour ce qui est de la sépulture A22, trois dents sont tombées *ante-mortem* et les alvéoles sont refermées. Dans le cas de la sépulture A23, seule la branche gauche de la mandibule est préservée. Cet individu est édenté, du moins pour ce qui de l'arcade présente : les alvéoles de la première incisive à la

première prémolaire sont refermées. Malheureusement, le maxillaire supérieur est manquant.

Les caries constituent le deuxième élément le plus fréquent chez les hommes. Le quart de l'échantillon observable en souffre : un individu sur quatre. Tel que mentionné, le squelette de la sépulture A22 a deux caries : une première sur la première prémolaire supérieure droite et une deuxième sur la deuxième molaire inférieure droite. La carie affectant la prémolaire supérieure a partiellement vidé la couronne de la dent, sur sa face buccale (fig. 5). La couronne de la canine droite est manquante. Il se peut que la carie de la prémolaire l'ait touché. Toutefois, l'observation de ce qu'il reste de la canine n'a pas permis de vérifier la véracité de cette hypothèse. Dans le cas de la deuxième molaire inférieure, la carie correspond à un trou sur la face buccale, à la limite de la couronne et de la racine de la dent.

Tableau 8 : Les observations bucco-dentaires chez les hommes

Observation bucco-dentaire	Nombre affecté/nombre observable
Chutes de dents <i>ante-mortem</i>	2 / 2 (100%)
Caries	1 / 4 (25%)
Tartre	1 / 4 (25%)
Usure de fumeur de pipe	1 / 4 (25%)

La présence de tartre a également été notée sur les dents de ce même individu. Le tartre se situe sur la face linguale de 4 dents inférieures : la deuxième incisive droite, les canines droite et gauche et la première prémolaire droite. Pour toutes ces dents, le tartre se trouve sur la face linguale et c'est sur l'incisive qu'il est le plus épais.

Outre ces pathologies bucco-dentaires de l'échantillon masculin, l'usure particulière de deux dents du squelette de la sépulture B16 a été notée (fig. 9). La canine inférieure droite et la première prémolaire du même côté présentent une

usure associée aux fumeurs de pipe. Cette usure très typique est due à l'érosion causée par le fait de tenir une pipe entre les dents. Ainsi, la moitié distale de la canine et la partie mésiale de la prémolaire sont usées en forme de croissant. Lorsqu'elles sont placées en position anatomique, cela crée un demi-cercle. Les dents supérieures sont malheureusement manquantes.



Figure 9 : Usure de fumeur de pipe, dents inférieures du squelette B16

Pour ce qui est de l'échantillon de squelettes dont le sexe est indéterminé, une seule pathologie bucco-dentaire est présente : les caries (tableau 9). Elles affectent un seul individu sur trois observables. La deuxième molaire gauche supérieure de B15 présente un trou sur sa face occlusive. Bien qu'assez grosse, la carie n'est pas très sévère.

Tableau 9 : Les observations bucco-dentaires chez les squelettes de sexe indéterminé

Type de pathologie bucco-dentaire	Nombre d'individus indéterminés affectés
Caries	1 / 3 (33,3 %)

3.3.4 Arthrose

L'arthrose s'observe sur les surfaces articulaires des os. Malheureusement, très peu des os analysés sont intacts. La plupart correspondent à des fragments de diaphyses dont les extrémités sont brisées. Les vertèbres font également partie des éléments du squelette les plus susceptibles d'être affectés par cette maladie dégénérative. Un nombre limité de ces os se sont conservés à Saint-Frédéric. C'est ainsi que sur un total de 26 squelettes, seuls deux cas d'arthrose ont été observés. Il est à noter que l'arthrose n'est pas observable pour les squelettes d'individus immatures. Les ossements de deux femmes, A16 et B23, permettaient d'effectuer des observations à cet égard, mais aucune trace de la maladie n'a été identifiée (tableau 10). L'arthrose est une maladie dégénérative dont la prévalence accroît avec l'âge. Il se peut donc que les individus de l'échantillon féminin soient trop jeunes pour que l'arthrose n'ait affecté leurs os. En l'absence des surfaces articulaires, il est impossible de s'en assurer. Malheureusement, l'état du squelette féminin le plus âgé, A14, ne permettait pas de faire des observations pour l'arthrose.

Tableau 10 : L'arthrose chez les femmes

Provenance	Âge	Sexe	Arthrose
A1	adulte	F	x
A13	adulte	F	x
A14	40-50 ans	F	x
A16	adulte	F	-
A54	adulte	F	x
A68	adulte	F	x
B10	adulte	F	x
B23	adulte moyen	F	-

L'arthrose a été notée dans deux squelettes masculins (tableau 11). L'individu dans la sépulture A23 souffrait d'arthrose assez avancée. Cette affliction a été notée sur la première vertèbre cervicale (atlas) et sur une autre surface articulaire de vertèbre non-identifiée. Les surfaces articulaires de ces vertèbres sont entourées d'un bourrelet osseux. De plus, la surface elle-même est criblée de trous (*pitting*). Finalement, les surfaces montrent un certain polissage : elles brillent. Cela correspond à de l'éburnation. Suite à la destruction du cartilage de l'articulation, les os frottent les uns contre les autres ce qui mène à ce polissage douloureux.

Outre les vertèbres, les os des mains du squelette de la sépulture A23 portent également des traces d'arthrose (fig. 10). Trois carpes de la main droite montrent la porosité caractéristique de l'arthrose. La main gauche est plus sévèrement affectée. Les quatre carpes qui sont touchés ont les trois formes d'arthrose : le bourrelet, la porosité et l'éburnation. La première phalange du pouce droit est également affecté de la sorte. Vu le degré de sévérité de l'arthrose sur les os des mains, il est fort possible que cet individu ressentait de la douleur et qu'il devait conséquemment restreindre ses mouvements.



Figure 10 : Arthrose (porosité et éburnation) sur les carpes du squelette A23

Le deuxième squelette affecté par l'arthrose est A72. La cavité glénoïde de l'omoplate droite est entourée d'un bourrelet et sa partie inférieure montre une dépression criblée de trous. La tête de l'humérus droit est bordée d'un léger bourrelet. Il en va de même pour la tête de l'humérus gauche même si elle est incomplète. L'extrémité proximale du cubitus gauche est également entouré d'un petit bourrelet. Finalement, un carpe de la main droite présente le même type de bourrelet. Somme toute, l'individu de la sépulture A72 ne souffrait que très peu et ses mouvements n'étaient pas encore entravés par la maladie. Il est intéressant de noter que cet individu présente un ligament ossifié au radius droit.

Tableau 11 : L'arthrose chez les hommes

Provenance	Âge	Sexe	Arthrose
A22	jeune adulte	M	x
A23	adulte	M	vertèbres et mains
A34	adulte	M	-
A63	adulte	M	-
A67	adulte	M	x
A72	adulte	M	omoplate D et humérus
B2	adulte	M	x
B16	adulte	M	x
C1	40-50 ans	M	x

Malheureusement, comme c'était le cas chez les femmes, il n'est pas possible de faire de lien entre l'âge et la présence d'arthrose. L'âge des deux hommes qui souffraient de cette pathologie n'a pas pu être chiffré. Ils portent la mention «adulte», ce qui n'est pas assez précis pour établir des liens entre l'âge et la dégénérescence des surfaces articulaires.

Comme le montre bien le tableau 12, aucun des neuf squelettes de sexe indéterminé ne se prêtait aux observations pour l'arthrose.

Tableau 12 : L'arthrose dans les squelettes de sexe indéterminé

Provenance	Âge	Sexe	Arthrose
A2	?	?	x
A27	?	?	x
A43	adulte	?	x
A51	?	?	x
B4	adulte	?	x
B13	30-35 ans	?	x
B15	?	?	x
B20	adulte	?	x
B26	adulte moyen	?	x

3.3.5 Périostite

Il a déjà été mentionné que la périostite s'observe sur la surface (cortex) des os. Comme les ossements mis au jour au cimetière de Saint-Frédéric-de-Beauce ont subi bien des changements post-mortem, la périostite est difficilement observable. La surface des os est habituellement très érodée ou carrément manquante. Dans certains cas, le cortex s'enlève en longues éclisses. Dans d'autres cas, il reste trop peu de la surface originale de l'os pour pouvoir statuer sur la présence de périostite.

C'est ce même facteur qui a rendu impossible l'observation de la périostite chez les femmes : le cortex des os est absent ou trop érodé pour le permettre (tableau 13).

Tableau 13 : La périostite chez les femmes

Provenance	Âge	Sexe	Périostite
A1	adulte	F	x
A13	adulte	F	x
A14	40-50 ans	F	x
A16	adulte	F	x
A54	adulte	F	x
A68	adulte	F	x
B10	adulte	F	x
B23	adulte moyen	F	x

Un cas de périostite a été observé lors des analyses de l'échantillon masculin (tableau 14). Cela correspond au quart de l'échantillon masculin puisque quatre individus sont observables pour cette pathologie. Les tibias du squelette de la sépulture A23 sont tous deux affectés. La périostite se situe sur la face latérale des tibias. Sur celui de droite, la périostite se trouve tout au long de la diaphyse.

À gauche, elle se concentre au centre et à l'extrémité distale de la diaphyse. Elle correspond à un dépôt d'os strié sur le cortex existant (fig. 11).



Figure 11 : Périostite sur le tibia gauche du squelette A23

Une fois encore, il n'a pas été possible d'établir de liens entre la présence de périostite et l'âge, ni même de déterminer les os du squelette les plus vulnérables à cette pathologie.

Tableau 14 : La périostite chez les hommes

Provenance	Âge	Sexe	Périostite
A22	jeune adulte	M	-
A23	adulte	M	tibias
A34	adulte	M	x
A63	adulte	M	x
A67	adulte	M	x
A72	adulte	M	-
B2	adulte	M	-
B16	adulte	M	x
C1	40-50 ans	M	x

Dans les squelettes de sexe indéterminé, un cas de périostite a été identifié : celui de la sépulture A51 (tableau 15). La pathologie se trouve sur la crête interosseuse du cubitus gauche. Elle se présente comme une fine couche d'os déposée en lignes minces sur la crête. Malheureusement, l'âge et le sexe de ce squelette sont indéterminés.

Tableau 15 : La périostite dans les squelettes de sexe indéterminé

Provenance	Âge	Sexe	Périostite
A2	?	?	x
A27	?	?	x
A43	adulte	?	x
A51	?	?	cubitus G
B4	adulte	?	x
B13	30-35 ans	?	x
B15	?	?	x
B20	adulte	?	x
B26	adulte moyen	?	x

3.3.6 Stature

La méthode de Trotter a été utilisée pour calculer la stature (cité dans Ubelaker 1999 : 61). Trotter a créé une série de formules permettant de calculer la stature d'un individu en utilisant la longueur de ses os longs. N'importe lequel des os

longs peut être utilisé, mais certains ont une marge d'erreur plus basse. C'est le cas du fémur pour les hommes et du tibia pour les femmes. Bien que le tibia soit l'os ayant la marge d'erreur la plus basse, il est déconseillé de l'utiliser parce qu'il semble y avoir eu des problèmes avec la standardisation de la prise des mesures (Ubelaker 1999 : 62). Donc, pour les femmes, l'os avec la marge d'erreur la plus basse devient le fémur.

Lorsque possible, la longueur de tous les os longs d'un squelette a été notée. Puis, l'os avec la marge d'erreur la plus basse a été utilisé pour calculer la stature. Si le tibia est le seul os mesurable, sa mesure a quand même été utilisée dans le calcul. Il est à noter que la stature dans ce cas est peut-être légèrement sur-estimée ou sous-estimée. Comme la plupart des os longs de la collection sont incomplets ou brisés, très peu d'entre eux ont pu être mesurés. Néanmoins, il a été possible de mesurer les os de sept squelettes (tableau 16).

Tableau 16 : La stature des squelettes avec os longs mesurables

Provenance	Sexe	Os utilisé	Longueur (cm)	Marge d'erreur	Stature
A1	F	Fémur G	45,2	3,72	1 m 66
A16	F	Tibia D*	37,3	3,66	1 m 70*
A34	M	Tibia D*	37,0	3,37	1 m 72*
A63	M	Fémur G	50,4	3,27	1 m 81
A68	F	Tibia G*	34,3*	3,66	1 m 61*
A72	M	Humérus D	33,4	4,05	1 m 73
B2	M	Humérus G	35,0	4,05	1 m 78

Légende : * mesure sur- ou sous-estimée, due à l'utilisation du tibia.

La stature de trois femmes a pu être mesurée (tableau 17). La stature moyenne de celles-ci est de 1m 66. Il est à noter que dans deux des trois cas, l'os utilisé pour déterminer la stature est le tibia, ce qui peut affecter la validité des mesures.

Tableau 17 : La stature moyenne des femmes

Provenance	Sexe	Stature	Stature moyenne
A1	F	1 m 66	1 m 66
A16	F	1 m 70*	
A68	F	1 m 61*	

Légende : * mesure sur- ou sous-estimée, due à l'utilisation du tibia.

La stature de quatre hommes sur neuf a pu être mesurée (tableau 18). La stature moyenne de ceux-ci est de 1 m 76. La stature d'un seul squelette a été obtenue grâce à la longueur du tibia.

Tableau 18 : La stature moyenne des hommes

Provenance	Sexe	Stature	Stature moyenne
A34	M	1 m 72*	1 m 76
A63	M	1 m 81	
A72	M	1 m 73	
B2	M	1 m 78	

Légende : * mesure sur- ou sous-estimée, due à l'utilisation du tibia.

Il n'a pas été possible de déterminer la stature moyenne des squelettes de sexe indéterminé, puisque aucun os long n'a pu être mesuré.

Il est intéressant de noter que la stature moyenne des individus retrouvés à Saint-Frédéric est proche de celle attribuée aux populations contemporaines. Toutefois, seuls sept squelettes sur 29 ont pu être mesurés, ce qui équivaut à moins du quart (24 %) de l'échantillon.

3.3.7 Variations anatomiques

Le nombre de variations anatomiques que peut présenter un squelette est presque illimité. Certains traits sont plus communs chez des populations données. Par exemple, les mongoloïdes ont une plus grande incidence d'incisives supérieures en forme de pelle. De plus, une grande partie des variations anatomiques se situent et s'observent sur les crânes. Or, ces os sont mal

conservés dans l'échantillon provenant de Saint-Frédéric ce qui réduit *a priori* les chances de noter ces variations.

Seules deux variations anatomiques ont été observées pour la collection à l'étude. La première est celle trouvée sur le fémur gauche du squelette provenant de la sépulture A63. En observant la face antérieure du col du fémur, l'on remarque que la bordure inférieure de la tête semble avoir coulé vers le bas (fig. 12). Ce trait, appelé facette de Poirier, prend l'aspect d'une extension de la surface articulaire (Mann et Hunt 2005 : 166). Cette variation anatomique, probablement due au stress biomécanique, n'affecte pas la démarche de l'individu.



Figure 12 : Facette de Poirier sur le fémur gauche du squelette A63

La variation anatomique observée sur le squelette de la sépulture B23 se situe au niveau de l'extrémité distale de l'humérus gauche (fig. 13). On remarque un trou dans la fossette au-dessus de la surface articulaire (Cabrol *et al.* 1980 : 110-111).

Ce trou sus-trochléen n'a pas d'impact sur le mouvement du coude. Cet élément constitue la seule variation anatomique qui a été repérée chez les femmes.



Figure 13 : Trou sus-trochléen, humérus gauche du squelette B23

3.3.8 Autres observations

Cette section traite des observations qui ne sont pas reliées aux rubriques déjà exposées. Ce sont des observations qui méritent d'être soulignées, bien qu'elles puissent avoir peu ou pas d'impact sur les analyses.

Une première observation a été notée sur trois squelettes de la collection : A14, B23 et C1. La face endocrânienne des os du crâne de ces trois individus présentent des dépressions circulaires, souvent de part et d'autre de la suture sagittale (fig.14). Ces dépressions, appelées *arachnoid granulations*, augmentent avec l'âge. Ils sont dus à l'érosion de certains vaisseaux qui filtrent le fluide cérébro-spinal (Mann et Hunt 2005 : 41-42). Il est à noter que deux des squelettes

qui montrent ces dépressions, A14 et C1, sont des individus dont l'âge a pu être chiffré à 40-50 ans. Il est également intéressant de noter que deux des squelettes (A14 et B23) montrant cette particularité sont des femmes, la troisième (C1) étant celle d'un homme.



Figure 14 : Arachnoid granulations, face endocrânienne du crâne du squelette B23

Une deuxième observation documentée est le genou *varum* du squelette de la sépulture A1. L'angle du col du fémur est habituellement de 126° chez l'adulte (Cabrol *et al.* 1980 : 186-187). Dans le cas du fémur gauche du squelette A1, l'angle du col est plus ouvert, ce qui constitue un *coxa valga*. Le fait que l'angle du col du fémur est différent de la normale affecte l'articulation du genou. Un *coxa valga* mène à une genou *varum*. Ceci implique que la jambe gauche est arquée vers l'extérieur. Le fémur droit est normal, donc le genou *varum* n'est pas bilatéral et n'a pas dû avoir beaucoup d'impact sur la locomotion de cet individu.



Figure 15 : Ligament ossifié, rotule droite du squelette A13

La rotule droite du squelette de la sépulture A13 présente un bourrelet sur la partie médiale de sa face postérieure (fig. 15). La présence de ce bourrelet n'est pas reliée à de l'arthrose, mais serait plutôt un ligament ossifié. Une seconde observation importante faite sur ce squelette est que le calcanéum et l'astragale droits, deux tarses du pied, sont soudés ensemble (fig. 16). Néanmoins, cette soudure n'a pas dû affecter le mouvement du pied puisqu'elle implique des os qui se trouvent sous la cheville.



Figure 16 : Astragale et calcanéum droits soudés du squelette A13

Ces deux dernières observations, le genou *varum* de A1 et les tarses soudés de A13, se trouvent toutes deux sur des squelettes féminins. Toutefois elles n'ont pas d'impact majeur sur la compréhension de la santé de l'échantillon féminin.

Les ossements du squelette de la sépulture A72 présentent également des ligaments ossifiés. L'extrémité distale de l'humérus droit montre un spicule osseux proche de l'épicondyle. Bien que cet individu souffrait d'arthrose, ce spicule n'est pas relié à cette affliction. Un deuxième ligament ossifié se situe sur la crête interosseuse du radius droit (fig. 17). La bonne conservation des os de cette sépulture a permis de faire des observations sur le relief musculaire, bien développé par ailleurs. Ce squelette est celui d'un homme.



Figure 17 : Ligament ossifié, radius droit du squelette A72

Les os provenant de la sépulture B2 sont également très bien conservés. Ils montrent une robustesse et un relief musculaire bien développé. Malheureusement, dans la plupart des cas, la surface des os n'est pas aussi bien conservée. Le squelette B2 est également celui d'un homme.

Une dernière observation notée pour les squelettes de la collection est la préservation de tissu et de cheveux. Les artefacts, incluant les tissus des vêtements et des cercueils, se sont très bien conservés (Janson 2009). Dans certains cas, il a fallu enlever les os des vêtements qui les entouraient (Oliver-Lloyd, communication personnelle). Entre autres, des fragments de tissu noir sont restés collés aux os de l'avant-bras gauche dans la sépulture A63. Des fibres se trouvent sur l'extrémité distale du radius et sur l'extrémité proximale du cubitus (fig. 18).



Figure 18 : Tissus noir collé sur le radius gauche du squelette A63

Des cheveux ont aussi été identifiés avec les os de deux des squelettes de la collection. La première sépulture est celle d'un enfant de 3-4 ans : A73. Les cheveux sont courts, bruns et placés séparément en deux paquets. Les cheveux provenant de la sépulture B10 sont étonnants : ils sont en chignon (fig. 19). On peut facilement observer le chignon et l'angle des fibres des cheveux qui sont bruns clairs. Les cheveux sont maintenus par une épingle de cuivre, ce qui a dû contribuer à leur préservation. Un deuxième vestige en cuivre se trouve sous le chignon, mais n'a pas pu être examiné sans risquer de détruire la coiffure.



Figure 19 : Cheveux en chignon associés au squelette B10

4.0 Discussion

Les analyses des restes osseux démontrent l'importance de l'intégrité des squelettes pour la caractérisation des individus et de la collectivité observée. Les analyses se sont avérées essentiellement descriptives et n'ont pas permis de statuer sur l'état de santé des individus inhumés dans le cimetière de Saint-Frédéric. Le mauvais état de conservation des ossements explique ce constat mais l'exhumation sélective de cette partie du cimetière, effectuée à la fin des années 1960, est un autre facteur limitatif.

En effet, en 1967, une partie des sépultures a été exhumée et déplacée dans la partie sud du cimetière de Saint-Frédéric. Lors de la fouille archéologique, près d'une centaine de sépultures a été mise au jour. Cependant, l'analyse ostéologique n'a pu être effectuée que sur 29 d'entre elles. Ces 29 sépultures étaient soit les mieux conservées, soit celles avec le plus d'éléments osseux recueillis. Les exhumations sélectives ont donc laissé deux types de sépultures en place.

Le premier type est celui des sépultures primaires. C'est-à-dire que ces sépultures n'ont jamais été affectées par l'exhumation de 1967. Les archéologues ont été les premiers à ré-ouvrir les cercueils. Dans ces cas, l'intégrité des squelettes est totale. Si des parties des squelettes sont absentes, c'est que celles-ci se sont décomposées complètement. C'est le cas des sépultures de Saint-Frédéric où seuls les os longs et quelques éléments des crânes ont perduré. Cette situation est due à des facteurs taphonomiques naturels, tel que l'acidité du sol, et non à l'intervention des humains. Le fait que la surface des os soit très érodée en est la preuve (fig. 20).



Figure 20 : Absence de cortex, fémur du squelette A54

Le deuxième type de sépulture mis au jour dans ce cimetière est celui des sépultures exhumées en 1967. Curieusement, presque tous les cercueils mis au jour contenaient des artefacts : soit des objets, soit des ossements. Lors de la translation des restes humains, une partie du squelette a donc été laissée dans le cercueil. Cela explique que certaines sépultures analysées sont constituées de très peu de restes osseux. Par exemple, la sépulture A63 correspond à un avant-bras et une jambe gauche, parfaitement conservés. Les os retrouvés dans le cercueil de la sépulture B2 sont également complets (fig. 21). Dans d'autres cas, ce sont de petits artefacts qui sont restés dans le fond des cercueils. La sépulture B13 est un bon exemple : elle n'est constituée que de dents libres.



Figure 21 : Humérus parfaitement conservé du squelette B2

Les 29 squelettes analysés l'ont été de manière à tenter de comprendre l'état de santé des individus inhumés dans le cimetière de Saint-Frédéric. Toutefois, ces squelettes ne constituent qu'un échantillon de l'ensemble des vestiges osseux recueillis.

5.0 Conclusion

L'analyse des restes humains mis au jour lors de la fouille archéologique du cimetière de Saint-Frédéric a permis de démontrer que lorsque les vestiges osseux sont bien conservés, il est possible d'accumuler d'importantes données biophysiques. Par exemple, bien que très peu d'arcades dentaires se soient bien conservées, celles qui sont présentes suggèrent que la santé bucco-dentaire laissait à désirer. Les chutes *ante-mortem* sont en effet courantes et des caries ont été répertoriées.

Malheureusement les pathologies qui s'inscrivent sur les os du squelette axial n'ont pu être observées pour la majorité des squelettes analysés. Les parties les plus importantes des os pour l'observation de ces maladies sont manquantes ou beaucoup trop érodées. Néanmoins, deux cas de périostite et deux cas d'arthrose ont été identifiés et décrits. D'autres aspects intéressants, mais n'ayant pas d'incidence sur la compréhension de l'état de santé global d'une population, ont également été notés, comme par exemple la soudure de deux tarse du pied gauche de la sépulture A13. Il a aussi été possible de déterminer la stature de quelques individus, des hommes et des femmes. La présence de ligaments ossifiés sur les spécimens les mieux conservés laisse croire que de nombreuses données reliées à la biomécanique et à la morphologie des os sont disparues avec l'érosion du cortex des os.

Force est de constater qu'à Saint-Frédéric la conservation des objets façonnés a primé sur celle des os. En ce sens, la collection d'objets funéraires de ce site est remarquable. Il est possible qu'un examen détaillé de ces artefacts mène à l'identification du sexe de certains squelettes dont le sexe est indéterminé. Par

exemple, la présence de boutons de chemise parmi les os permettrait de présumer que l'individu inhumé pourrait être un homme. Un recoupement de l'information archéologique et ostéologique pourrait être bénéfique et pourrait pallier à certaines lacunes de l'analyse ostéologique.

Finalement, une analyse plus exhaustive de l'ensemble des données archéologiques et ostéologiques pourrait permettre de mieux comprendre les effets ou la dynamique d'une translation de sépultures comme celle effectuée en 1967 à Saint-Frédéric.

Bibliographie :

ARPIN, Caroline

2006 *Sépultures du cimetière St. Matthew : étude sur les critères paléodémographiques et la représentativité d'une collection d'ossements témoignant de la présence protestante à Québec entre 1771 et 1860*. Mémoire de maîtrise, Université Laval, Québec.

BASS, William

1995 *Human Osteology : a laboratory and field manual*, Missouri Archaeological Society, Special Publications no. 2.

BUIKSTRA, J. et D. Ubelaker

1994 *Standards for data collection from human skeletal remains*. Arkansas Archaeological Survey research Series, no.44.

CABROL, C., W. Kahle, H. Leonhardt et W. Platzer

1980 *Anatomie. Atlas commenté d'anatomie humaine pour étudiants et praticiens*. Tome 1 : appareil locomoteur. Flammarion Médecines-Sciences, Paris.

FISSET, Richard

2009 *Inventaires archéologiques. Direction de la Chaudière-Appalaches (été 2005)*. Rapport remis au service de la planification et de la programmation, direction de la coordination, de la planification et des ressources, direction générale de Québec et de l'Est, ministère des Transports du Québec.

GOODMAN, Alan et Debra Martin

2002 *Reconstructing Health Profiles from Skeletal Remains. The backbone of History. Health and Nutrition in the Western Hemisphere*, R. Steckel et J. Rose édés, Cambridge University Press, 10-50.

JANSON, Rébecca

2009 *Sépultures du cimetière de Saint-Frédéric, étude sur la quincaillerie de cercueil et les modes d'inhumation d'une communauté catholique et rurale de la Beauce aux 19e et 20e siècles*. Mémoire de maîtrise, Université Laval, Québec.

MANN, Robert et David Hunt

2005 *Photographic Regional Atlas of Bone Disease. A Guide to Pathologic and Normal Variation in the Human Skeleton*. 2e édition, Charles Thomas publishers, États-Unis.

OLIVER-LLOYD, Vanessa

2008 *Le patrimoine archéologique des cimetières euroquébécois*. Étude complétée pour la Direction du patrimoine et de la muséologie du MCCCCF, <http://www.mcccf.gouv.qc.ca/index.php?id=2668>.

ORTNER, D.J.

2003 *Identification of Pathological Conditions in Human Skeletal Remains*. Academic Press, deuxième édition, États-Unis.

ROBERTS, C. et K. Manchester

1999 *The Archaeology of Disease*. Cornell University Press, deuxième édition, New York.

SAUNDERS, Shelley, A. Herring, L. Sawchuck, G. Boyce, R. Hoppa et S. Kepp

2002 *The Health of the Middle Class. The St. Thomas' Anglican Church Cemetery Project. The backbone of History. Health and Nutrition in the Western Hemisphere*, R. Steckel et J. Rose éd., Cambridge University Press, 130-161..

SCHEUER, L. et S. Black

2000 *Developmental Juvenile Osteology*. Academic Press, San Diego.

THILLAUD, P.L.

1996 *Paléopathologie humaine*. Kronos B.Y. Éditions

UBELAKER, Douglas

1999 *Human Skeletal Remains : Excavation, Analysis, Interpretation*. Smithsonian Institution, troisième édition, Washington.

WHITE, Tim et Pieter Folkens

2005 *The Human Bone Manual*. Elsevier Academic Press, États-Unis.

WOOD, J., G. Milner, H. Harpending et K. Weiss

1992 *The Osteological Paradox. Problems of Inferring Prehistoric Health from Skeletal Samples*. *Current Anthropology*, vol. 33, no 4, 343-370.

Annexes

Annexe 1 : Catalogue des photographies

Numéro	Sépulture	Identification de la photo	Description
1	A13	A13 005	Calcanéum et astragale gauches soudés, vue inféro-latérale
2	A13	A13 007	Calcanéum et astragale gauches soudés, vue latérale
3	A13	A13 010	Calcanéum et astragale gauches soudés, vue latérale
4	A13	A13 014	Ligament ossifié, rotule droite, vue postérieure
5	A13	A13 015	Ligament ossifié, rotule droite, vue postérieure
6	A14	A14 003	<i>Aracchnoid granulations</i> , vue endocrânienne du frontal
7	A14	A14 004	<i>Aracchnoid granulations</i> , vue endocrânienne du frontal
8	A16	A16 003	Abcès, mandibule, vue postérieure
9	A16	A16 004	Abcès, mandibule, vue postérieure
10	A16	A16 006	Abcès, mandibule, vue supérieure
11	A16	A16 007	Abcès, mandibule, vue supérieure
12	A16	A16 009	Abcès, mandibule, vue antéro-supérieure
13	A16	A16 011	Abcès, mandibule, vue antéro-supérieure
14	A22	A22 003	Mandibule, vue supérieure
15	A22	A22 005	Mandibule, vue antérieure
16	A22	A22 007	Mandibule, vue antérieure
17	A22	A22 008	Carie, maxillaire supérieur, vue antérieure
18	A22	A22 010	Carie, maxillaire supérieur, vue antérieure
19	A22	A22 011	Carie, maxillaire supérieur, vue antérieure
20	A22	A22 013	Carie, maxillaire supérieur, vue postérieure
21	A22	A22 016	Carie, maxillaire supérieur, vue antérieure
22	A23	A23 002	Arthrose, carpes gauches
23	A23	A23 004	Arthrose, carpes gauches
24	A23	A23 007	Arthrose, carpes gauches
25	A23	A23 009	Périostite, tibia gauche
26	A23	A23 010	Périostite, tibia gauche
27	A23	A23 012	Périostite, tibia gauche
28	A23	A23 014	Périostite, tibia gauche

29	A43	A43 003	Fémur, état de conservation typique
30	A43	A43 005	Fémur, état de conservation typique
31	A43	A43 006	Fémur, état de conservation typique
32	A43	A43 007	Fémur, état de conservation typique
33	A43	A43 009	Fémur, état de conservation typique
34	A54	A54 002	Fémur, état de conservation typique
35	A57	A57 001	Mandibule, vue supérieure
36	A57	A57 003	Mandibule, vue supérieure
37	A57	A57 011	Omoplate gauche, vue postérieure
38	A57	A57 012	Omoplate gauche, vue antérieure
39	A57	A57 018	Côtes gauches, vue médiale
40	A57	A57 021	Côtes gauches, vue latérale
41	A63	A63 004	Facette de Poirier, fémur gauche
42	A63	A63 005	Tissu, radius gauche, extrémité distale
43	A63	A63 007	Tissu, cubitus gauche, extrémité proximale
44	A63	A63 009	Facette de Poirier, fémur gauche
45	A63	A63 011	Facette de Poirier, fémur gauche
46	A72	A72 001	Ligament ossifié, radius droit
47	A72	A72 003	Ligament ossifié, radius droit
48	A72	A72 004	Ligament ossifié, radius droit
49	B2	B2 002	Humérus droit bien conservé, vue postérieure
50	B2	B2 003	Humérus droit bien conservé, vue antérieure
51	B2	B2 004	Humérus droit bien conservé, vue postérieure
52	B10	B10 001	Cheveux en chignon, dessus
53	B10	B10 005	Cheveux en chignon, dessous
54	B10	B10 006	Cheveux en chignon, dessus
55	B16	B16 003	Usure de fumeur de pipe, dents inférieures
56	B23	B23 001	Maxillaire supérieur, vue inférieure
57	B23	B23 002	Maxillaire supérieur, vue inférieure
58	B23	B23 004	Maxillaire supérieur, vue supérieure
59	B23	B23 006	Maxillaire supérieur, vue inférieure
60	B23	B23 007	Maxillaire supérieur, vue inférieure
61	B23	B23 008	Maxillaire supérieur, vue supérieure
62	B23	B23 009	Maxillaire supérieur, vue antérieure
63	B23	B23 009	Mandibule, vue supérieure
64	B23	B23 013	Mandibule, vue supérieure
65	B23	B23 016	Mandibule, vue supérieure

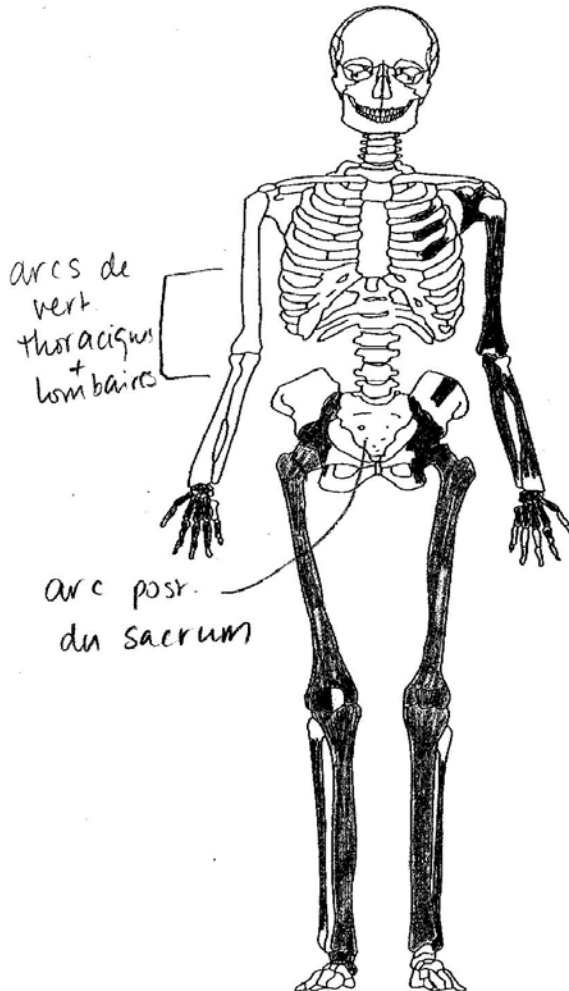
66	B23	B23 017	Mandibule, vue supérieure
67	B23	B23 018	Mandibule, vue supérieure
68	B23	B23 023	Occipital, vue exocrânienne
69	B23	B23 024	Occipital, vue endocrânienne
70	B23	B23 025	Mandibule, vue supérieure
71	B23	B23 027	Mandibule, vue supérieure
72	B23	B23 029	<i>Aracchnoid granulations</i> , pariétaux, vue endocrânienne
73	B23	B23 031	<i>Aracchnoid granulations</i> , pariétaux, vue endocrânienne
74	B23	B23 033	<i>Aracchnoid granulations</i> , pariétaux, vue endocrânienne
75	B23	B23 035	Calotte crânienne, vue supérieure
76	B23	B23 036	Calotte crânienne, vue supérieure
77	B23	B23 037	Calotte crânienne, vue supérieure
78	B23	B23 038	Calotte crânienne, vue supérieure
79	B23	B23 043	Trou sus-trochléen, humérus gauche
80	B23	B23 045	Trou sus-trochléen, humérus gauche

Annexe 2 : Fiches d'analyse

FICHE INVENTAIRE

Site : St-Frédéric-de-Blance
Vanessa Oliver-Lloyd Obér-1

No. de sépulture : A1



Os présents :

quelques arcs de vertèbres,
8 frag côtes, omoplate G,
humérus G, radius + cubitus G,
main D presque complète,
main G partielle, coxaux
partiels (ilions), jambe D
complète, jambe G complète,
pied D quelques tarses, IT
I à V ; pied G tarses
sauf I, II et III, IT 2 non id.

os très érodés avec
cortex qui pèle, noir

FICHE DÉTERMINATION DU SEXE ET DE LA STATURE

Site: St-Frédéric-de-Beauce, C6Gr-1 No. de sépulture: A1
 Vanessa Oliver-Lloyd Sexe: F

SEXE

os	critères	note
crâne	arcades sourcilières	
	crête nuchale	
	longueur mastoïdes	N/A
	bord supérieur de l'orbite	
	bosses frontales et pariétales	
	forme du front	
mandibule	éminence mentonnière	N/A
	forme du menton	
coxaux	échancrures sciatiques	D: 1 ; G: 1
	sulcus préauriculaire	D: 3 ; G: 1
	angle pubien	N/A
	branche descendante	N/A
post-crânien	robustesse	F
	dimensions	F

STATURE

Longueur des os longs:

	gauche	droit
humérus	—	N/A
radius	—	N/A
cubitus	—	N/A
fémur	452 mm	450 mm *
tibia	331 mm *	335 mm

* surestimé parce que la tête n'est recollable
 (petit espace)

* sous-estimé parce que la malléole est
 érodée

© Vanessa Oliver-Lloyd, 2006

FICHE DÉTERMINATION DE L'ÂGE

Site: St-Frédéric-de-Beauce

No. de sépulture: A1

Vanessa Oliver-Lloyd

Âge estimé: adulte

SUTURES CRÂNIENNES

coronale :

incisive :

sagittale :

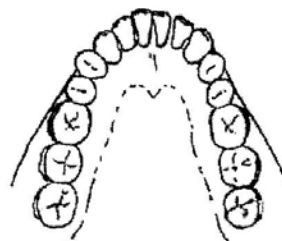
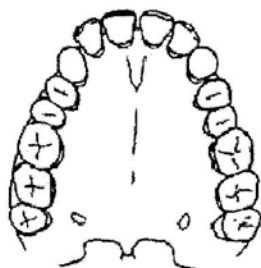
sphéno-occipitale :

N/A

lambdoïde :

USURE DES DENTS

N/A



COXAUX

surfaces auriculaires : D: érodée mais on remarque des striae
G: érodée, macroporosité, comme ci-haut

symphyses pubiennes : N/A

↓
comme la surf. auric a
subi des changements post-m.
≠ utilisables pour l'âge

© Vanessa Oliver-Lloyd, 2006

St-Frédéric-de-Beauce (C6E-1)

04/03/10
V. Oliver-Lloyd

Sép. A1

vertèbres thoraciques: NT = 2, dont T12, arcs seulement
" lombaires: NT = 5, arcs seulement, souvent brisés
en 2 mex
RAS sur les surf. articulaires

Sacrum: arc postérieur complet (couvert de terre et de racines)
+ 2 surfaces articulaires (RAS)

côtes: 3 frag. corps côtes probablement G
5 côte inconnu

omoplate G: incomplète, pas de surf. glénoïde ni acromion
tâchée noire, cortex pâle

humérus G: manque extrémités, cortex très friable, pâle, noir
plutôt gracile

radius G: friable, cortex pâle, ≠ d'extrémités, petit
cubitus G: idem, extr. prox présente mais ≠ observable

main D: 3 carpes: trapeze, scaphoïde, grand os
TC I à III, 5 1^{er} phal, 3 2^e phal } RAS

main G: 6 carpes: scaph, os cro, gros os, pyr, tête, toïde
TC I-V, 1^{er} phal

coxaal D: ilion autour acetabulum + éch. sciat + surf. auric.
+ 3 frags, semble F, 'acetabular crease'

G: ilion autour acetabulum + éch. sciat + surf. auric.
ischion en 2 mex + 3 frags
semble F, léger sulcus,

fémur D: en 3 mex, ≠ déclinaison normal, relief musculaire
peu dev., cortex pâle, friable,

A1 (suite)

fémur G : en l'inx, ≠ décliné normal, l'angle du col du fémur est + grand que normal = coxa valga donc un genou varum. Ceci implique des jambes avec les genoux écartés.

rotules : RAS

tibia : D - cortex pâle, friable, relief peu développé

G - idem

→ le genou varum n'est pas vraiment apparent

péronés : très droits, cortex pâle, seul le G a extr. (la dist.)
RAS

pied D : tarses : calc, astr, nav, cub
PII I à V très érodés, ≠ extr.

pied G : tarses calc, astr, nav, cub, am I
PII : 2 non-id.

SEXE : ≠ crâne donc coxaux seulement

coxaux sont F

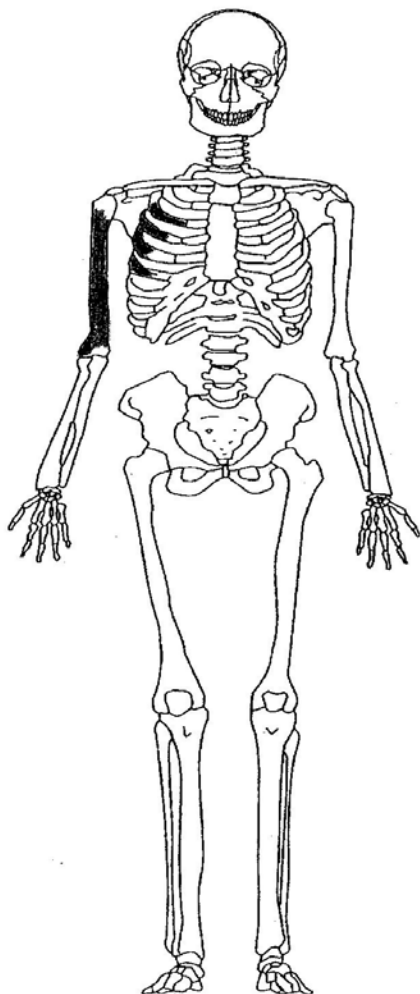
robustesse aussi donc F

ÂGE : surf. auriculaires seulement. elles sont +/- observables, pas assez clair pour déf. l'âge. Donc : adulte.

FICHE INVENTAIRE

Site: St-Frédéric-de-Beauce
Vanessa Oliver-Lloyd CB6r-1

No. de sépulture: AZ



Os présents :

4 corps côtes D,
humérus D incomplet

St-Frédéric-de-Beauce (bér-1)

04/03/10

V. Duver-Lloyd

A2

côtes: 4 frags de corps D

NUMÉRIQUES: D manque extrémités
cortex pâle, très droit, peu de relief
musculaire

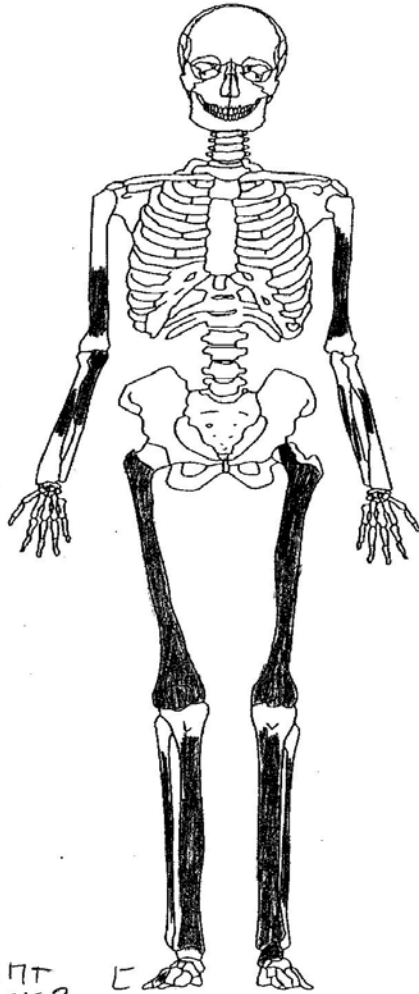
SEXE: ?

ÂGE: adulte?

FICHE INVENTAIRE

Site : St-Frédéric-de-Beauce
Vanessa Oliver-Lloyd ObGr-1

No. de sépulture : A13



117T
côté ?

Os présents :
bras très partiels,
jambes presque com-
plètes mais érodées,
astr + calc pied G, + 117T
côté ?

A13

humérus: D: frag seulement, gracile, petit, ≠ dev, ≠ cortex
G: idem (il en reste plus) gracile

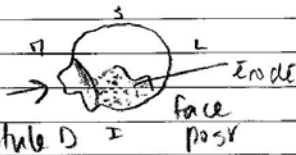
radius: D: éclats
G: très gracile, mais surface érodée

cubitus D: extr. prox présente mais érodée
G: éclats

fémurs D: mieux conservé que bras, cortex pile et craque
gracile et peu robuste (F)

G: idem & déclinaison semble nul mais
comme les extrémités sont très érodées
c'est difficile de l'affirmer

rotules D: elle a un bourrelet sur la face post médiale
- ligament ossifié ou arthrose? difficile
à dire parce qu'il y a beaucoup
d'érosion autour



rotule D I post G: RAS

tibias: graciles, droits, peu développés, extr. dist. normales

péronés: RAS

pieds: G: le calc. et l'astr. sont soudés ensemble
ce qui devrait restreindre le mouvement du
pied

SEXE: selon granité F

ÂGE: adulte à cause des os du pied soudés (= 4 âge)

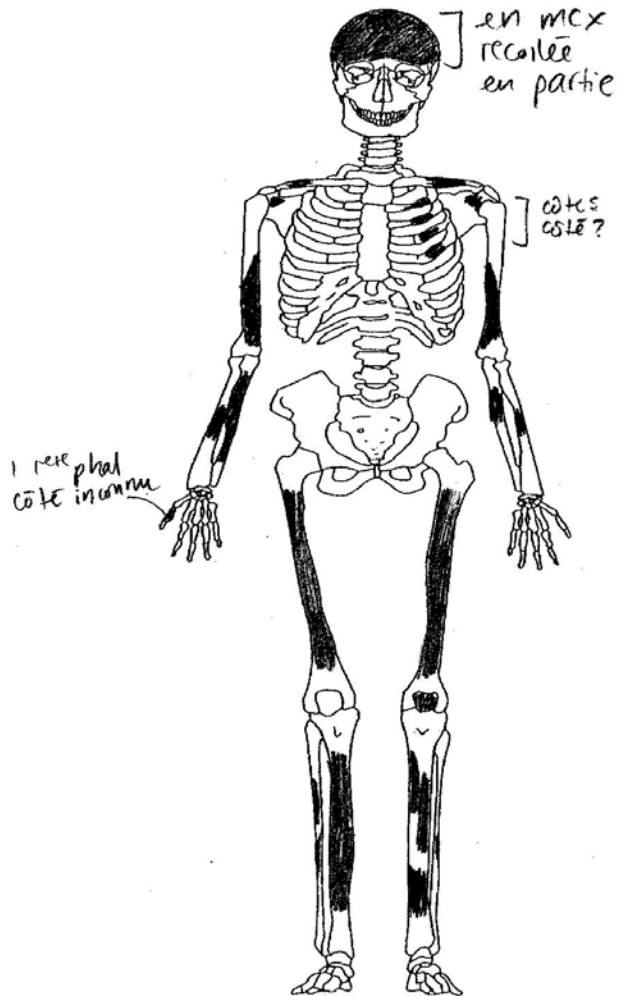
FICHE INVENTAIRE

Site: St-Frédéric-de-Beauce

No. de sépulture: A14

Vanessa Oliver-Lloyd

cbCr-1



Os présents :

calotte crânienne, 4 frags de
côtes (côte?), ceinture sca-
pulaire partielle, bras par-
tiels, 1 première phal.
(côte ?), jambes partielles

FICHE DÉTERMINATION DU SEXE ET DE LA STATURE

Site: St-Frédéric-de-Beauce

No. de sépulture: A14

Vanessa Oliver-Lloyd ObCr-1

Sexe: Frobuste

SEXE

os	critères	note
crâne	arcades sourcilières	1
	crête nuchale	4
	longueur mastoïdes	
	bord supérieur de l'orbite	
	bosses frontales et pariétales	2
	forme du front	1
mandibule	éminence mentonnière	N/A
	forme du menton	A
coxaux	échancrures sciatiques	
	sulcus préauriculaire	N/A
	angle pubien	A
	branche descendante	
post-crânien	robustesse	3
	dimensions	3

STATURE

Longueur des os longs:

	gauche	droit
humérus	—	—
radius	—	—
cubitus	—	—
fémur	—	—
tibia	—	—

FICHE DÉTERMINATION DE L'ÂGE

Site: St-Frédéric-de-Beauce
Vanessa Oliver-Lloyd C5Er-1

No. de sépulture: A14
Âge estimé: adulte moyen-âge

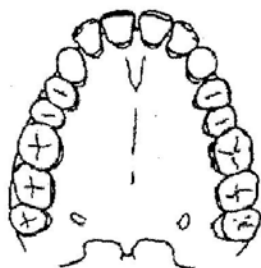
SUTURES CRÂNIENNES

coronale: 100%
sagittale: 85%
lambdoïde: 100%

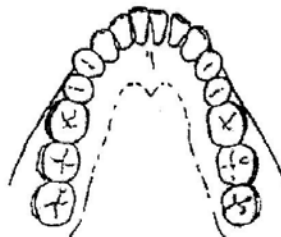
incisive: N/A
sphéno-occipitale:

48 ± 10

USURE DES DENTS



N/A



COXAUX

surfaces auriculaires:

N/A

symphyses pubiennes:

A14

crâne : en mox, taché noir, surface un peu érodée

frontal + pariétaux + occipital recollés

-forme du frontal + bosses pariétal fait F
-mais occipital / crête nucale fait M

sutures fermées, arachnoid granulations endo

côtes : 4 frags de corps, côté non-identifié

clavicules : D cortex pâle
G cortex pâle, assez petite

omoplates : bases acromion D, G, RAS

humérus : relativement gros même si surface érodée

radius : frag. de diaphyse

cubitus : le G semble plus robuste que le D même s'ils sont partiels

main : côté inconnu, 1^{ère} phal incomplète

fémurs D : surface un peu érodée, ligne âpre peu saillante
G : idem pour morpho

tibias D : assez graciles, relief peu dev
G : érodés en surface

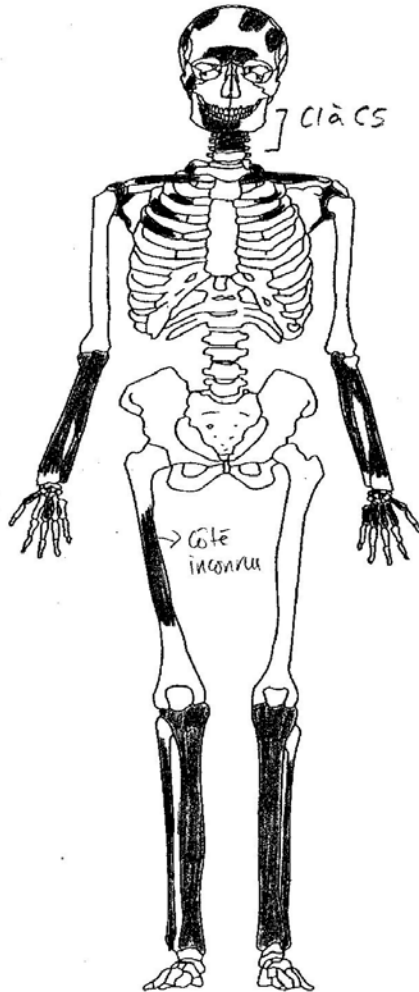
SEXE : malgré la robustesse de l'occipital → F (robuste)

ÂGE : sutures = 48E10 + arachn. granu.
adulte moyen à âgé

FICHE INVENTAIRE

Site : St-Frédéric-de-Beauce
Vanessa Oliver-Lloyd CBER-1

No. de sépulture : 116



Os présents :

frags de crâne, corps de mand.,
Clàcs, quelques côtes, avant-
bras presque complets, quel-
ques éléments mains,
frag. de fémur, tibias
Complets, péronés complets,
calc. G

+ 2 os longs non-ident.
(diaphyse, frags)

+ 1 extr. dist. de tibia
(autre individu)

FICHE DÉTERMINATION DU SEXE ET DE LA STATURE

Site: St-Frédéric-de-Beauce No. de sépulture: A16
 Vanessa Oliver-Lloyd Sexe: F

SEXE

os	critères	note
crâne	arcades sourcilières	4
	crête nuchale	
	longueur mastoïdes	
	bord supérieur de l'orbite	X
	bosses frontales et pariétales	
	forme du front	
mandibule	éminence mentonnière	1
	forme du menton	1
coxaux	échancrures sciatiques	N/A
	sulcus préauriculaire	
	angle pubien	
	branche descendante	
post-crânien	robustesse	1
	dimensions	1

→ intrusif?

très petite

STATURE

Longueur des os longs:

	gauche	droit
humérus		
radius	—	—
cubitus	—	—
fémur		
tibia	370 mm	373 mm

FICHE OBSERVATION DES DENTS

Site : St-Fridéric-de-Beauce No. de sépulture : A16
 Vanessa Oliver-Lloyd Obér-1

MAXILLAIRE SUPÉRIEUR

Dents	M ³		M ²		M ¹		PM ²		PM ¹		C		I ²		I ¹	
	G	D	G	D	G	D	G	D	G	D	G	D	G	D	G	D
hypoplasie																
description																
localisation																
tartre																
caries																
nombre																
absence																
état																

N/A

MANDIBULE

Dents	M ³		M ²		M ¹		PM ²		PM ¹		C		I ²		I ¹	
	G	D	G	D	G	D	G	D	G	D	G	D	G	D	G	D
hypoplasie																
description																
localisation																
tartre																
caries																
nombre																
absence																
état																

FICHE OBSERVATION ARTHROSE

Site : St-Frédéric-de-Beauce

No. de sépulture : A16

Vanessa Oliver-Lloyd ObGr-1

CRÂNE ET MANDIBULE

	gauche			droit		
	localisation	sévérité	type	localisation	sévérité	type
crâne	condyle			condyle		
	glenoïde			glenoïde		
mandibule	condyle			condyle		

N/A

VERTÈBRES

vert.	supérieur			inférieur		
	localisation	sévérité	type	localisation	sévérité	type
C 1	apophyses	0	-	apophyses	0	-
	corps			corps		
C 2	apophyses	0	-	apophyses	0	-
	corps			corps		
C 3	apophyses	0	-	apophyses	0	-
	corps	0	-	corps	0	-
C 4	apophyses	0	-	apophyses	0	-
	corps	0	-	corps	0	-
C 5	apophyses	0	-	apophyses	0	-
	corps	0	-	corps	0	-
C	apophyses			apophyses		
	corps			corps		
C	apophyses			apophyses		
	corps			corps		
T	apophyses			apophyses		
	corps			corps		
T	apophyses			apophyses		
	corps			corps		
T	apophyses			apophyses		

	corps			corps		
T	apophyses			apophyses		
	corps			corps		
T	apophyses			apophyses		
	corps			corps		
T	apophyses			apophyses		
	corps			corps		
T	apophyses			apophyses		
	corps			corps		
T	apophyses			apophyses		
	corps			corps		
T	apophyses			apophyses		
	corps			corps		
T	apophyses			apophyses		
	corps			corps		
L	apophyses			apophyses		
	corps			corps		
L	apophyses			apophyses		
	corps			corps		
L	apophyses			apophyses		
	corps			corps		
L	apophyses			apophyses		
	corps			corps		

MEMBRES SUPÉRIEURS

	gauche			droit		
	localisation	sévérité	type	localisation	sévérité	type

omoplate	glénoïde	0	-	glénoïde		
humérus	proximal			proximal		
	distal			distal		
radius	proximal			proximal		
	distal			distal		
cubitus	proximal			proximal		
	distal			distal		
main	carpes	0	-	carpes		
	MC	0	-	MC	0	-
	phalanges			phalanges		

MEMBRES INFÉRIEURS

	gauche			droit		
	localisation	sévérité	type	localisation	sévérité	type
coxal	acetabulum			acetabulum		
fémur	proximal			proximal		
	distal			distal		
rotule	postérieur			postérieur		
tibia	proximal	X	-	proximal	X	-
	distal	X	-	distal	0	-
péroné	proximal			proximal		
	distal			distal		
pied	tarses	0	-	tarses		
	MT			MT		
	phalanges			phalanges		

Autres :

Allé

Crâne : - frag de frontal + arcade sourcilière
- frèges de calotte, érodés

mandibule : - frag. corps D et centre
- très petite, même (enfant? autre ind?)
- pas de dents, alvéoles C6 à C12 = normales
les bords sont érodés ce qui ajoute à l'illusion de petitesse
- P17, D : tombée A, alvéole refermée
- P12, D : tron là où serait l'alvéole, abcès ou alvéole déformée?
- molaires D : la mand. est brisée mais il semble que les alvéoles étaient fermées

vertébrales : cervicales C1 à C5 complètes

côtes : D 1^{ère} + 4 corps
G 1^{ère} + 2 corps

clavicule D : frêle, friable, cortex pâle, F, ± extr
G : complète sauf extr hum.

omopl : frags, RAS

radius D : friable, frêle et droit } cortex détruit
G : idem. } s'enlève en petits mcs

ulnaris : idem que radius

mains D : MCI et MCIII
petits, graciles

G : scaph (carpe)
MCI à II

Allé (suite)

fémur: - 1 frag de diaphyse côté ?
- petit, RAS

tibia: D complet, érodé, cortex pâle
G idem, très droits
↳ taches/traces d'argile blene

péronés: droits tous deux, RAS

piéd G: calcaneum: surf. art. ant double

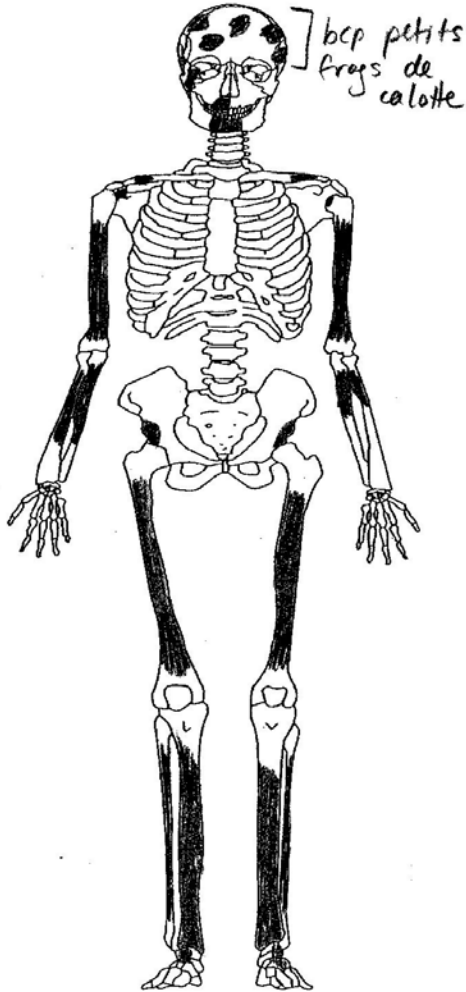
SEXE: sauf pour le fragment de frontal, tout est très féminin. le frontal appartient peut-être à un autre individu (coloris différent)
Féminin

AGE: adulte (≠ de critères observables)

FICHE INVENTAIRE

Site : St-Frédéric-de-Beauce
Vanessa Oliver-Lloyd cbcr-1

No. de sépulture : A22



Os présents :

crâne : quelques fragments,
mandibule partielle, 4 frag. de
vertèbres, ceinture sca-
pulaire partielle, bras in-
complets, coxaux : frags,
jambes D incomplète, jam-
be G incomplète, pieds
quelques tarses

FICHE DÉTERMINATION DU SEXE ET DE LA STATURE

Site : St-Frédéric-de-Beauce

No. de sépulture : A22

Vanessa Oliver-Lloyd cbcr-1

Sexe : ??

SEXE

os	critères	note
crâne	arcades sourcilières	N/A
	crête nuchale	
	longueur mastoïdes	D. 3 (incomplète)
	bord supérieur de l'orbite	
	bosses frontales et pariétales	N/A
	forme du front	
mandibule	éminence mentonnière	4
	forme du menton	4
coxaux	échancrures sciatiques	4
	sulcus préauriculaire	—
	angle pubien	—
	branche descendante	—
post-crânien	robustesse	3
	dimensions	3

STATURE

Longueur des os longs:

	gauche	droit
humérus	—	—
radius	—	—
cubitus	—	—
fémur	—	—
tibia	—	—

FICHE DÉTERMINATION DE L'ÂGE

Site: St-Frédéric-de-Beauce
Vanessa Oliver-Lloyd CBÉr-1

No. de sépulture: A22
Âge estimé: adulte
(jeune)

SUTURES CRÂNIENNES → trop érodées

coronale :

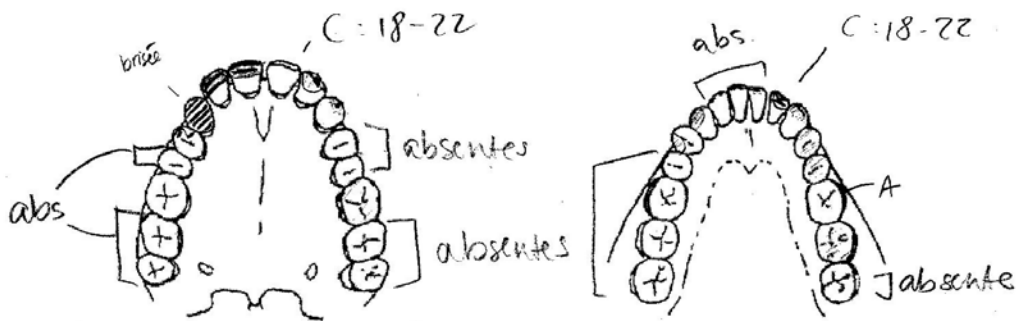
incisive :

sagittale :

sphéno-occipitale :

lambdoïde :

USURE DES DENTS



COXAUX

surfaces auriculaires :

N/A

symphyses pubiennes :

FICHE OBSERVATION DES DENTS

Site : St Frédéric-de-Beauce
 Vanessa Oliver-Lloyd cbcr-1

No. de sépulture : A22

MAXILLAIRE SUPÉRIEUR

Dents	M ³		M ²		M ¹		PM ²		PM ¹		C		I ²		I ¹	
	G	D	G	D	G	D	G	D	G	D	G	D	G	D	G	D
hypoplasie					0	0			0	0	0	X	0	0		0
description																
localisation																
tartre					0	0			0	0	X	0	0			0
caries					0	0			2	0	X	0	0			0
nombre									1							
absence											B					
état					T	T			T	T	T	T	T			T

1
voir notes

MANDIBULE

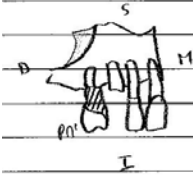
Dents	M ³		M ²		M ¹		PM ²		PM ¹		C		I ²		I ¹	
	G	D	G	D	G	D	G	D	G	D	G	D	G	D	G	D
hypoplasie			0				0		0	0	0	0		0		
description																
localisation																
tartre			0				0		1	1	1		2			
caries			1				0		0	0	0		0			
nombre			1													
absence					A											
état			T				T		T	T	T		T			

→ face bucc
sur racine

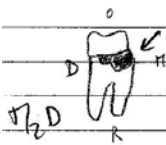
A22

- Crâne: - malaire D RAS
 - occipital gonion très dev., surf. érodée
 ↳ frag.
 - temporal D avec mastoïde, pointue
 - calotte: frags non-identifiables, surf. érodée
 imp de faire observations

- MAX SUP D: - de I' à P1'D
 - P1'2 et P1' tombées A-M → alvéoles refermées
 - C brisée ante-mortem
 - P1' rongée par carie us affecte la c
 ↳ III
 - tron ds le maxillaire just au-dessus de
 P1'2 et P1' (abcès? Kyste?) ante-mortem,
 melis incomplet donc diff. de trancher
 ↳ non → normal
 - P1'6: complète, peu d'usure
 - I'2 et C G: complètes



- mandibule: corps + dents D: I₂ à P1₂ et P1₂ à part
 G: en partie brisé, érodé, alvéoles bouchées
 C et P1₁, libres



- D: P1₁ tombée ante-mortem, alvéole refermée
 P1₂ trou sous la couronne (carie?)

- tartre: I₂ face ling (2) assez gros
 C idem (1)
 P1₁ idem (1)

vertèbres: 4 frags non-identifiées

clavicule D 1/4 huméral
 G idem mais en 2 mcx } fractées bleue

A22 (suite)

omoplate D: base acromion J RAS
G: idem

humérus D: sans extrémités, relief peu dev.
cortex érodé et taché bleu
G: idem

radius: D et G RAS

cubitus: D et G RAS

coxaux: très fragmentaires, les 2: max proche de l'éch. scia.
n° partielle on dirait 11

fémurs: - surface complètement érodée, bleue
- graciles mais c'est probablement dû au fait
qu'ils sont si érodés

tibias: D: érodé, quelques endroits avec surface de
l'os intact, extr. dist ≠ d'arthrose
G: idem

péronés: RAS

piéd D: astr, cal (frag), am II

G: astr, cal (frag), cub, cum III,

SEXE: 11 mand = 11 mais robustesse = indéterminé
↳ affectés par érosion

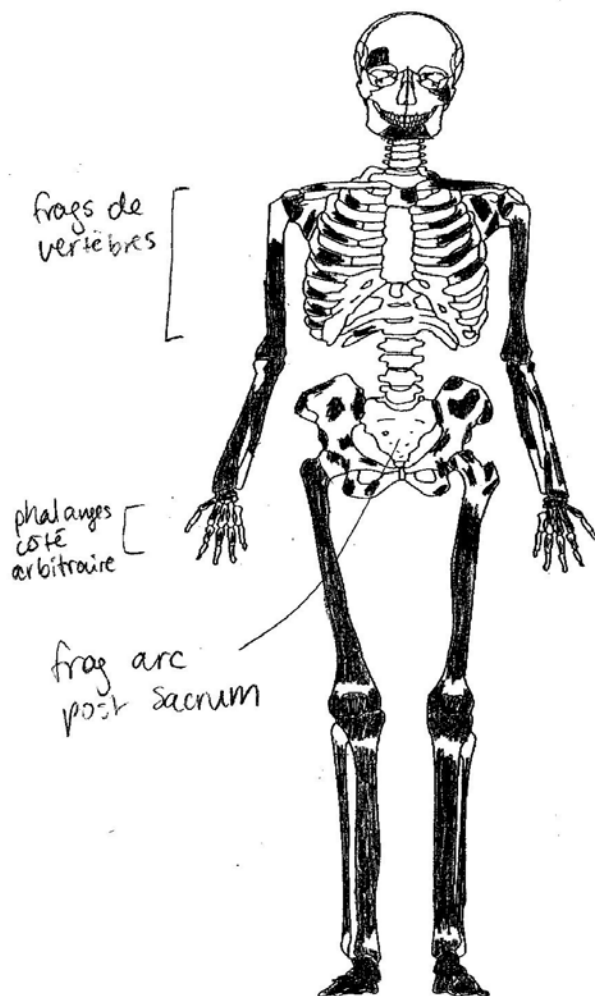
ÂGE: selon usure dents 18 à 22 ans
mais incomplet et diff. d'être certaine...
donc jeune adulte

FICHE INVENTAIRE

Site : St-Frédéric-de-Beauce

No. de sépulture : A23

Vanessa Oliver-Lloyd ChEr-1



Os présents :

2 frags de crâne, centre corps
mandibule, frags de vert.
frag de cortex de côtes,
frag manubrium, bras presque
complets, ceinture scapulaire
presque complète, mains complètes
ceinture pelvienne partielle,
jambes complètes mais en
mex, pieds presque
complets (sauf phal.)

FICHE DÉTERMINATION DU SEXE ET DE LA STATURE

Site : St-Frédéric de Beauce
 Vanessa Oliver-Lloyd CBCT-1

No. de sépulture : A23
 Sexe : ♂

SEXE

os	critères	note
crâne	arcades sourcilières	1
	crête nuchale	N/A
	longueur mastoïdes	1
	bord supérieur de l'orbite	3
	bosses frontales et pariétales	N/A
	forme du front	1
mandibule	éminence mentonnière	4
	forme du menton	4
coxaux	échancrures sciatiques	X
	sulcus préauriculaire	X
	angle pubien	X
	branche descendante	X
post-crânien	robustesse	4
	dimensions	4

trop érodés

STATURE

Longueur des os longs:

	gauche	droit
humérus	—	—
radius	—	—
cubitus	—	—
fémur	—	—
tibia	—	—

FICHE OBSERVATION ARTHROSE

Site : St-Frédéric de Beauce No. de sépulture : A23
 Vanessa Oliver-Lloyd cbEr-1

CRÂNE ET MANDIBULE

	gauche			droit		
	localisation	sévérité	type	localisation	sévérité	type
crâne	condyle			condyle		
	glénoïde			glénoïde		
mandibule	condyle			condyle		

N/A

VERTÈBRES

vert.	supérieur			inférieur		
	localisation	sévérité	type	localisation	sévérité	type
C1	apophyses			apophyses	2	B, P, E
	corps			corps		
C	apophyses			apophyses		
	corps			corps		
C	apophyses			apophyses		
	corps			corps		
C	apophyses			apophyses		
	corps			corps		
C	apophyses			apophyses		
	corps			corps		
C	apophyses			apophyses		
	corps			corps		
T	apophyses			apophyses		
	corps			corps		
T	apophyses			apophyses		
	corps			corps		
T	apophyses			apophyses		

	corps			corps		
T	apophyses			apophyses		
	corps			corps		
T	apophyses			apophyses		
	corps			corps		
T	apophyses			apophyses		
	corps			corps		
T	apophyses			apophyses		
	corps			corps		
T	apophyses			apophyses		
	corps			corps		
T	apophyses			apophyses		
	corps			corps		
T	apophyses			apophyses		
	corps			corps		
L	apophyses			apophyses		
	corps			corps		
L	apophyses			apophyses		
	corps			corps		
L	apophyses			apophyses		
	corps			corps		
L	apophyses			apophyses		
	corps			corps		

surf. art. non-ident. 2 B, P, E

MEMBRES SUPÉRIEURS

	gauche			droit		
	localisation	sévérité	type	localisation	sévérité	type

omoplate	glénoïde	X	—	glénoïde	0	—
humérus	proximal	0	—	proximal	0	—
	distal	0	—	distal	0	—
radius	proximal	X	—	proximal	0	—
	distal	0	—	distal	0	—
cubitus	proximal			proximal	0	—
	distal			distal	N/A	N/A
main	carpes	2	P, E	carpes	1	P (logfire)
	MC	0	—	MC	X	—
	phalanges	0	—	phalanges	1	P, B, E

MEMBRES INFÉRIEURS

	gauche			droit		
	localisation	sévérité	type	localisation	sévérité	type
coxal	acetabulum	0	—	acetabulum	X	—
fémur	proximal	X	—	proximal	0	—
	distal	0	—	distal	0	—
rotule	postérieur	0	—	postérieur	0	—
tibia	proximal	0	—	proximal		
	distal	1	P	distal	0	—
péroné	proximal	X	—	proximal	X	—
	distal	X	—	distal	X	—
pied	tarses	0	—	tarses	0	—
	MT	0	—	MT	0	—
	phalanges			phalanges		

Autres :

St-Frédéric-de-Beauce Cber-1

04/03/10
JOL

A23

crâne: - frag de frontal D, bord sup. de l'orb. assez épais
- maxillaire G partiel

mandibule: - corps central, assez robuste, apo geni
très développée
- individu édenté: résorption alvéolaire
complète (là où on voit les alvéoles) donc
de I, G à P11, G, tout est fermé

vertèbres: - frag arc post de l'atlas. La surf. art. inf D
est ravagée par l'arthrose: porosité + bourrelet +
éburrination

- 1 surf. art. non-ident est aussi affectée P+B+E
éburrination partout avec sties

côtes: D - cortex seulement, noir, friable, + de têtes
G - idem, frag de 1^{re} côte

sternum: frag de manubrium, PAS

clavicule: D: partie humérale + d'extr. seulement
porosité sur face inf au niveau de la tub.

G: presque complète sauf extr., assez robuste
idem qu'à D pour porosité

omoplate: D: en mcx, PAS, G idem

humérus D: en mcx tête séparée, warped, friable
assez robuste
G: idem

radius D: tissu colle dessus (fissé, jaune-brun foncé)
robuste
G: en mcx PAS

A23 suite

ulnatus D: extr. prox très robuste, relief musculaire développé
G: idem

main D: scaph, tēze, toide^{*}, psi, pyr[†], 1/2 lun^{*} * P (arthrose)
TTC III, IV et V

G: psi, cro, pyr, toidet, sca^r, tēze, gr ost, 1/2 lun[†]
le 1/2 lun et gr. os ont P, B et E
TTC I à IV

1^{er} phal de TTCI D: PE et B sur extr. dist

coxal D: poussière d'os, frag de cortex } imp. de voir
G: idem } éch. sciatique

fémur D: en mex, relief dev. surtout autour des
tranchantes
G: idem assez robuste et gros

tibia D: périoste dépôt d'os en strie sur face latérale
sur toute la surf.

G: idem mais au centre diaphyse + extr. dist.
de la face lat.

péronés : RAS

ped D: tarses cal, astr, nav, cub, con 1-3
TTC I à V (≠ prox)

G: tarses les 7
TTC I à V sauf IV

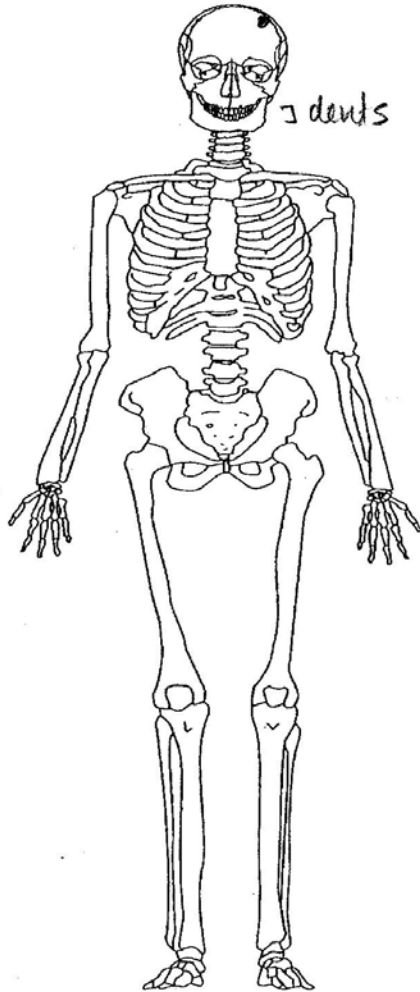
SEXE: masculin selon robustesse des os et le peu
du crâne

AGE: adulte (rien d'observable)

FICHE INVENTAIRE

Site : St Frédéric-de-Beauce
Vanessa Oliver-Lloyd ChEr-1

No. de sépulture : A27



Os présents :

petit frag. crâne non-ident.
dents supérieures : C₁,
P₁¹D, I₁¹D, I₂¹D, I₃¹G ;
dents inférieures : P₁²D
P₂²D ; I₁²D ; I₂²D

FICHE DÉTERMINATION DE L'ÂGE

Site : Sr-Frédéric-de-Beauce
Vanessa Oliver-Lloyd CbGr-1

No. de sépulture : A27
Âge estimé : ?

SUTURES CRÂNIENNES

coronale :

incisive :

N/A

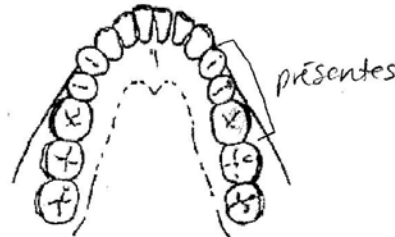
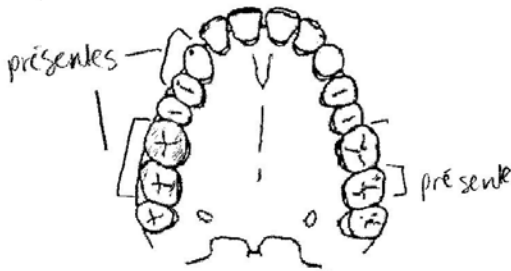
sagittale :

sphéno-occipitale :

lambdoïde :

USURE DES DENTS

B₂ : 16-20 ans



trop peu de dents
pour se fier à
l'usure pour
dét. l'âge

COXAUX

surfaces auriculaires :

N/A

symphyses pubiennes :

FICHE OBSERVATION DES DENTS

Site : St-Frédéric-de-Beauce No. de sépulture : A27
 Vanessa Oliver-Lloyd Cher-1

MAXILLAIRE SUPÉRIEUR

Dents	M ³		M ²		M ¹		PM ²		PM ¹		C		I ²		I ¹	
	G	D	G	D	G	D	G	D	G	D	G	D	G	D	G	D
hypoplasie			0	0	0				0		0					
description																
localisation																
tartre			0	0	0				0		0					
caries			0	0	0				0		0					
nombre																
absence																
état			T	T	T				T		T					

MANDIBULE

Dents	M ³		M ²		M ¹		PM ²		PM ¹		C		I ²		I ¹	
	G	D	G	D	G	D	G	D	G	D	G	D	G	D	G	D
hypoplasie			0		0		0		0							
description																
localisation																
tartre			0		0		0		0							
caries			0		0		0		0							
nombre																
absence																
état			T		T		T		T							

St-Frédéric-de-Beauce CbEr-1

09/03/10

WR

A27

crâne : frag. de calotte, non-ident.

dents sup : C1D : noire, couronne seulement, racine
brisée post-mortem

P11'D : idem, peu d'usure

11'D : noire, 1/3 occ. de la racine, brisée p-11

11'2D : peu d'usure, couronne seulement

11'6 : idem

dents inf. P11, D : noire, racine brisée

P11₂D : idem

11, D : idem

11₂D : on dirait que la racine n'était pas
formée (en croiss.) mais ceci peut être
dû à la tapho?

SEXE : indéterminé

ÂGE : - selon quelques dents, seulement l'usure,
on ne sait pas si les 113 sont présentes
- selon usure = B₂ : 16-20 ans

- indéterminé

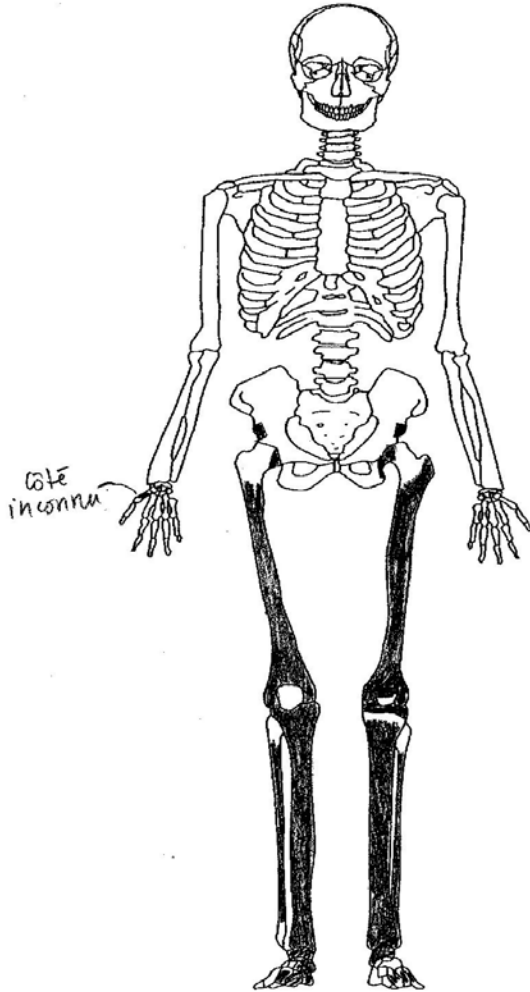
FICHE INVENTAIRE

Site: St-Frédéric-de-Beauce

No. de sépulture: A34

Vanessa Oliver-Lloyd

ChEr-1



Os présents :

inc, fragments de coxaux,
jambes presque complètes,
pied D presque complet,
pied G incomplet

FICHE DÉTERMINATION DU SEXE ET DE LA STATURE

Site : St. Frédéric-de-Beauce

No. de sépulture : A34

Vanessa Oliver-Lloyd CB6r-1

Sexe : 17

SEXE

os	critères	note
crâne	arcades sourcilières	
	crête nuchale	
	longueur mastoïdes	
	bord supérieur de l'orbite	
	bosses frontales et pariétales	
	forme du front	
mandibule	éminence mentonnière	
	forme du menton	
coxaux	échancrures sciatiques	
	sulcus préauriculaire	
	angle pubien	
	branche descendante	
post-crânien	robustesse	5
	dimensions	5

STATURE

Longueur des os longs:

	gauche	droit
humérus		
radius		
cubitus		
fémur	—	—
tibia	—	370 mm

FICHE OBSERVATION ARTHROSE

Site : St-Frédéric-de-Beauce

No. de sépulture : A 34

Vanessa Oliver-Lloyd CBGr-1

CRÂNE ET MANDIBULE

	gauche			droit		
	localisation	sévérité	type	localisation	sévérité	type
crâne	condyle			condyle		
	glenoïde			glenoïde		
mandibule	condyle			condyle		

N/A

VERTÈBRES

vert.	supérieur			inférieur		
	localisation	sévérité	type	localisation	sévérité	type
C	apophyses			apophyses		
	corps			corps		
C	apophyses			apophyses		
	corps			corps		
C	apophyses			apophyses		
	corps			corps		
C	apophyses			apophyses		
	corps			corps		
C	apophyses			apophyses		
	corps			corps		
C	apophyses			apophyses		
	corps			corps		
T	apophyses			apophyses		
	corps			corps		
T	apophyses			apophyses		
	corps			corps		
T	apophyses			apophyses		

N/A

	corps			corps		
T	apophyses			apophyses		
	corps			corps		
T	apophyses			apophyses		
	corps			corps		
T	apophyses			apophyses		
	corps			corps		
T	apophyses			apophyses		
	corps			corps		
T	apophyses			apophyses		
	corps			corps		
T	apophyses			apophyses		
	corps			corps		
L	apophyses			apophyses		
	corps			corps		
L	apophyses			apophyses		
	corps			corps		
L	apophyses			apophyses		
	corps			corps		
L	apophyses			apophyses		
	corps			corps		

N/A

MEMBRES SUPÉRIEURS

	gauche			droit		
	localisation	sévérité	type	localisation	sévérité	type

omoplate	glénoïde			glénoïde		
humérus	proximal			proximal		
	distal			distal		
radius	proximal			proximal		
	distal			distal		
cubitus	proximal			proximal		
	distal			distal		
main	carpes			carpes		
	MC			MC		
	phalanges			phalanges		

N/A

MEMBRES INFÉRIEURS

	gauche			droit		
	localisation	sévérité	type	localisation	sévérité	type
coxal	acetabulum	X	X	acetabulum		
fémur	proximal	X	X	proximal	X	X
	distal	0	-	distal	0	0
rotule	postérieur	0	0	postérieur		
tibia	proximal	0	0	proximal	0	0
	distal	0	0	distal	0	0
péroné	proximal			proximal		
	distal	0	0	distal		
pied	tarses			tarses		
	MT			MT		
	phalanges			phalanges		

Autres :

A34

main : 1 MC sans extr. donc non-ident, côté ?

coxal : - les 2 échancrures sciatiques partielles, impossible de leur attribuer un côté
- un frag d'ischion G avec partie de l'acétabulum

fémurs : D : ligne âpre très saillante, relief dev. sur 1/3 prox
cortex érodé et taché bleu

G : idem pour morpho musculaire

rotule : G : très léger bourrelet sur partie sup de la surf. articulaire (≠ arthrose)

tibias : relief assez développés ≠ périoste

péronés : RAS

ped D : tarses : calc, ast, nav, cub, cun I, cun II
PT I à IV incomplets
perc phal PT I

ped G : tarses : calc, ast, nav
PT I à IV mal conservés

SEXE : Flasculin selon la robustesse et les dimensions des os

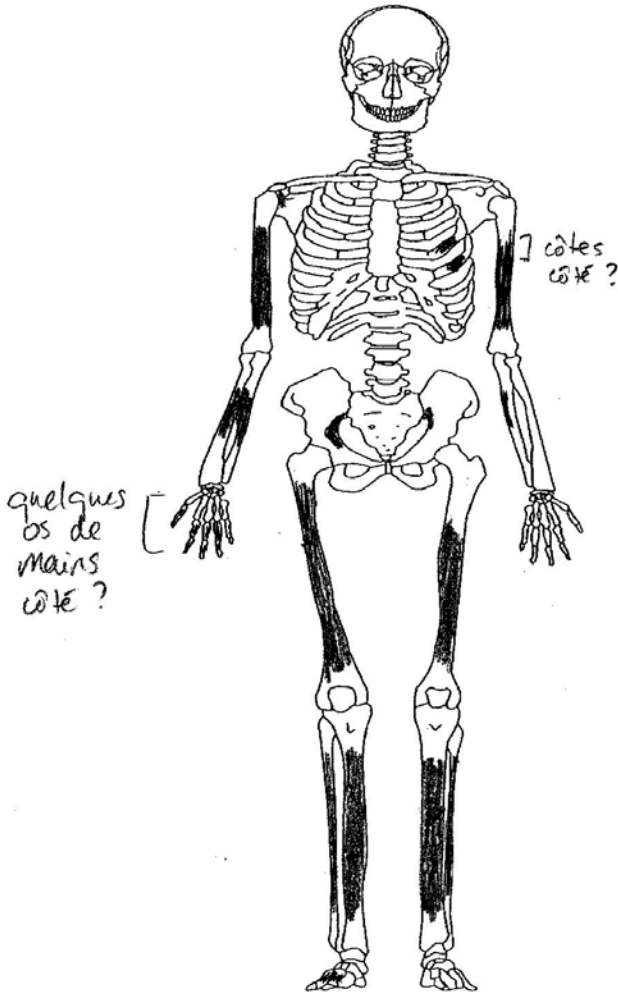
ÂGE : adulte

FICHE INVENTAIRE

Site : St-Frédéric-de-Beauce

No. de sépulture : A-43

Vanessa Oliver-Lloyd CB6r-1



Os présents :

2 fragments de côtes, bras
très partiels, quelques os
des mains, frag. omop. D,
coxaux fragmentaires
jambes partielles,
quelques IT D.

St-Frédéric-de-Beauce (Cbr-1)

16/03/10
L2

A43

côtes : 2 fragments de corps, côté inconnu

main : D : carpe foide partiel

côté ? : 4 ^{vers} phal. incomplètes
3 ^{vers} ou 2^e phal. "
1 tête de NC inconnue
1 2^e phal
4 3^e phal dont celle de NC I

omoplate D : frag base acromion

humérus D : cortex pâle en longs éclats minces
os petit, gracie
G : idem

radius D : idem pour morpho et conservation
G : petit frag. (pourrait être le cubitus aussi)

cubitus D : éclat d'os, RAS

coxaux D : peluche de cortex autour de l'échancrure
sciatique, semble ouverte, mais très partiel
G : peluches, petits frags ± obs.

fémurs D : mieux conservé, il reste du cortex
ligne âpre saillante, mais quand même gra-
cie
G : idem cons. et morpho

tibias D et G : pour les 2, la crête oblique est saillante
les 2 sont écrasés lat-médialement et
sont graciles

péronés : RAS

A43 (suite)

piéd D: 3 TIT incomplets donc ≠ identifiés

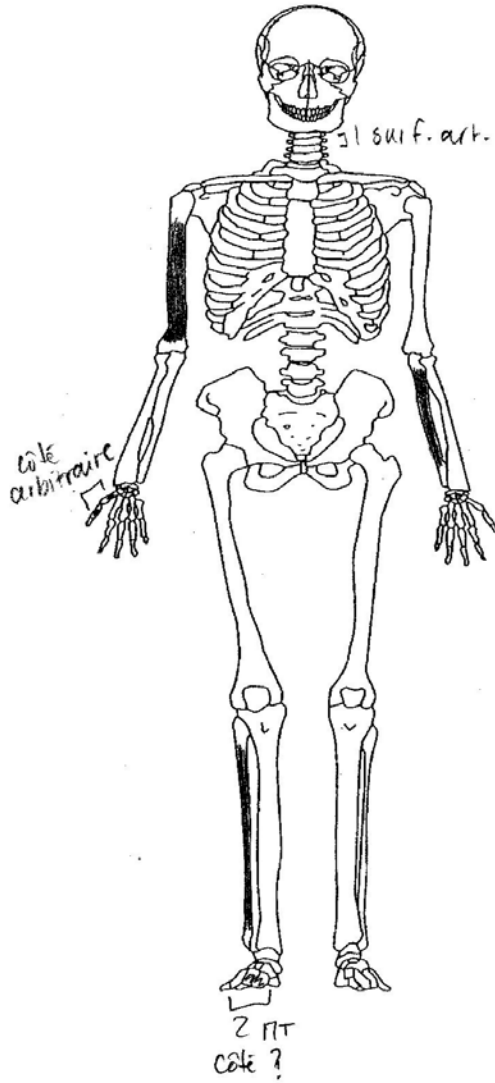
SEX E: indéterminé (pas de critères fiables)

ÂGE: adulte (impossible de préciser)

FICHE INVENTAIRE

Site: St-Frédéric-de-Beauce
Vanessa Oliver-Lloyd cbEr-1

No. de sépulture: AS1



Os présents :

1 surf. art. de vertèbre,
humérus D, cubitus G
partiel, 1 mc et 1 phalange
côte ?, péroné D, 2
FT non-identifiés

ASI

vertèbre : 1 surf. art. non-ident. érodée

humérus D : très très gracile! probablement enfant

cubitus G : idem périostite (en lignes) sur la crête
inter-osséuse

main côté? : 1 RC non-ident. (corps)
1 1^{er} phal.

péroné D : idem pour gracilité

piéd côté? : 2 PT non ident.

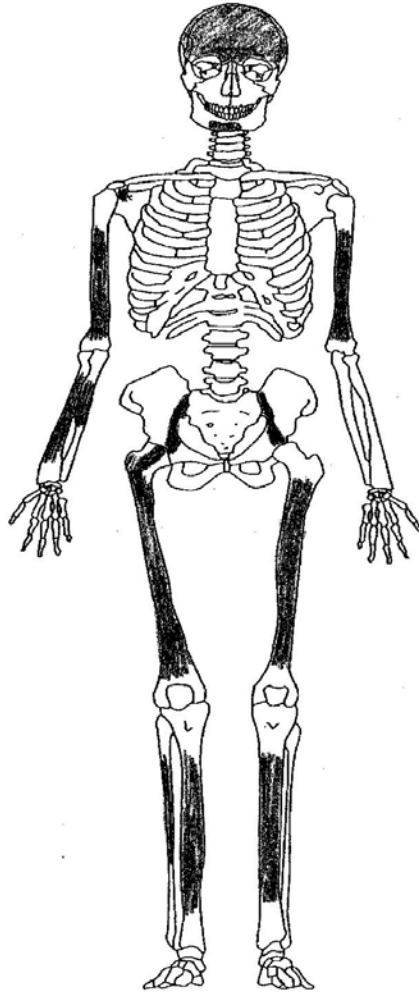
SEXE : impossible à déterminer

ÂGE : indéterminé, même si cela semble être un
enfant, comme il n'y a pas d'extrémités
c'est diff. de le confirmer.

FICHE INVENTAIRE

Site : St-Frélicien de Beauce C6Er-1 No. de sépulture : A 54

Vanessa Oliver-Lloyd



Os présents :

calotte crânienne presque
complète, frag mandibule,
base acromion D, bras par-
tiels, coxaux très par-
tiels, jambes partielles

FICHE DÉTERMINATION DU SEXE ET DE LA STATURE

Site : St-Frédéric-de-Beauce

No. de sépulture : AS4

Vanessa Oliver-Lloyd CBER-1

Sexe : F?

SEXE

os	critères	note
crâne	arcades sourcilières	1
	crête nuchale	4
	longueur mastoïdes	
	bord supérieur de l'orbite	X
	bosses frontales et pariétales	front: 1 par.: x
mandibule	forme du front	1
	éminence mentonnaire	1
	forme du menton	1
coxaux	échancrures sciatiques	1
	sulcus préauriculaire	D: 1
	angle pubien	N/A
	branche descendante	N/A
post-crânien	robustesse	1
	dimensions	1

petit
frag
érode

erosion

STATURE

Longueur des os longs:

	gauche	droit
humérus	—	—
radius		—
cubitus		—
fémur	—	—
tibia	—	—

FICHE DÉTERMINATION DE L'ÂGE

Site: St-Frédéric-de-Beauce
Vanessa Oliver-Lloyd Cbér-1

No. de sépulture: AS4
Âge estimé: adulte

SUTURES CRÂNIENNES

coronale: X

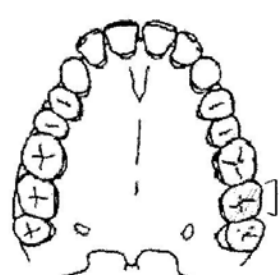
incisive: N/A

sagittale: X

sphéno-occipitale:

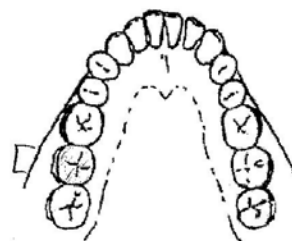
lambdoïde: X

USURE DES DENTS



C: 18-22

seules
présentes



COXAUX

surfaces auriculaires: X

symphyses pubiennes: N/A

FICHE OBSERVATION DES DENTS

Site: St-Frédéric-de-Beauce

No. de sépulture: AS4

Vanessa Oliver-Lloyd Ober-1

MAXILLAIRE SUPÉRIEUR

Dents	M ³		M ²		M ¹		PM ²		PM ¹		C		I ²		I ¹	
	G	D	G	D	G	D	G	D	G	D	G	D	G	D	G	D
hypoplasie			0													
description																
localisation																
tartre			0													
caries			0													
nombre																
absence																
état			T													

MANDIBULE

Dents	M ³		M ²		M ¹		PM ²		PM ¹		C		I ²		I ¹	
	G	D	G	D	G	D	G	D	G	D	G	D	G	D	G	D
hypoplasie			0													
description																
localisation																
tartre			0													
caries			1													
nombre			1													
absence																
état			T													

A54

crâne : en MCX

frontal : surfaces érodées, on voit le diploë clairement
semble F mais peut-être dû à l'érosionpariétaux : idem pour érosion, ≠ observer bosses ni les
sutures. difficile de savoir lequel est le
G et lequel le L.occipital : fragment autour de la crête nucale qui est
assez saillante. T

quelques frags dont un rocher (≠ de mastoïdes)

mandibule : petit frag de corps au niveau du menton
≠ dents, très petit / graciedents libres : T₂ G : carie sur face occlu., tronT²G ? la racine est brisée mais se recolle
elles sont peu usées, tachées noire et érodées

omoplate D : frag. base acromion, érodé

humérus D et G : très graciles, frêles et droits mais il
n'y a plus de surface (cortex érodé)radius D : cortex partiellement présent, noir, l'os reste
tout de même petit et graciecubitus D : frag diaphyse, éclaté, cortex pâle et s'entou-
recoxal D : autour de l'échancrure sciatique, celle-ci sem-
ble assez ouverte et F; il semble y avoir
un léger sulcus préauriculaire
-surf. auriculaire trop érodée pour l'observer

ASU (suite)

coxaux : G: moins qu'à D mais échancrure fait F,
le problème c'est que c'est très partiel comme fragment

fémurs : D : ≠ de surface ni de cortex ≠ déclinaison normal (mais comme ≠ d'extr. dist. impossible à confirmer). relief peu dev. car pas de surface.

G: idem pour morpho et conservation, ≠ de col ni tête

fibias D et G : ≠ de surface, écrasés latéro-médialement, grâciles et droits

peroné D: ≠ surface.

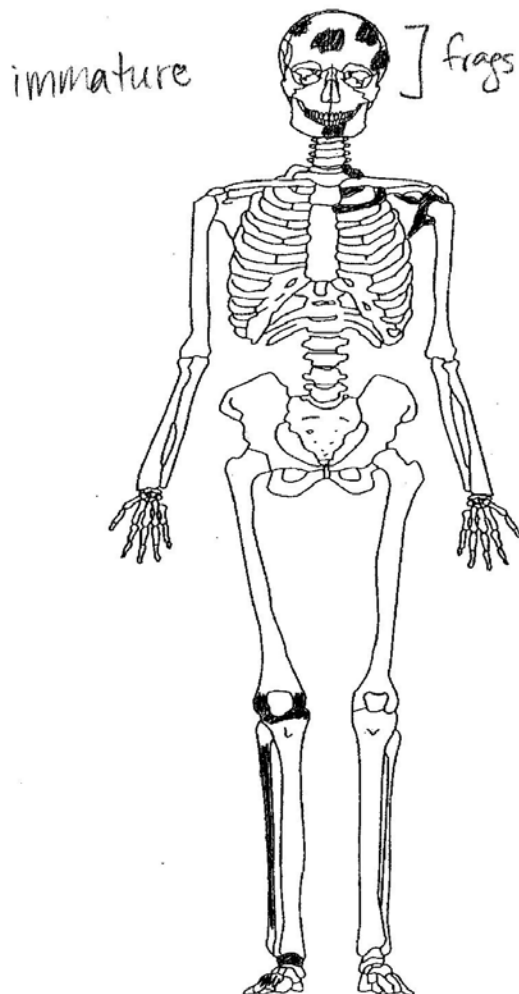
SEXE: selon robustesse et dimensions des os ce serait une F, mais ceci peut être dû à l'érosion qui accentue la gracilité et la petitesse des os.
morpho du crâne et des coxaux fait F.
J'ai quand même des réserves alors féminin → réexamen des coxaux = F

ÂGE: impossible de préciser : adulte (seulement 2 dents dont ident. n'est pas certaine).

FICHE INVENTAIRE

Site: St-Frédéric-de-Beauce
Vanessa Oliver-Lloyd CBER-1

No. de sépulture: 157



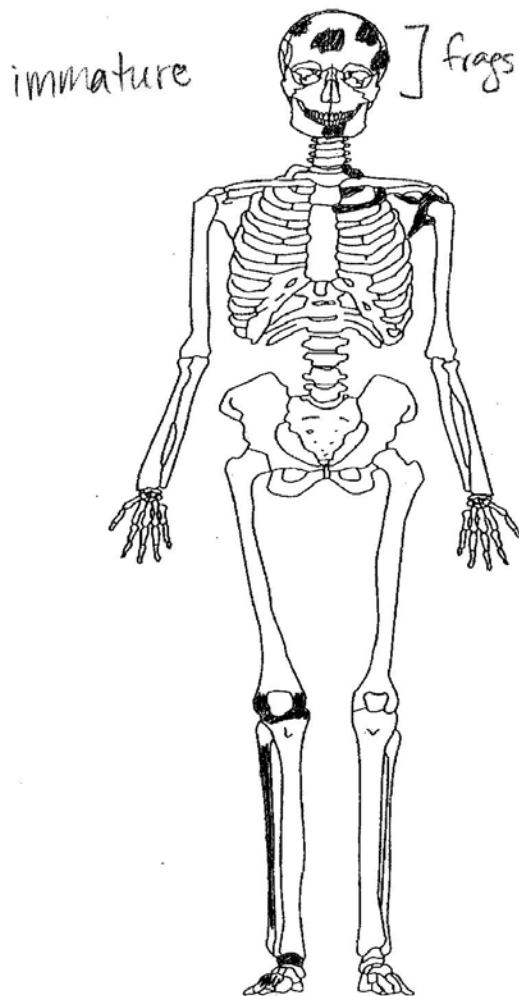
Os présents:

fragments de calotte et
de mandibule, 2 cotes G,
omoplate G, Épiphyse
distale fémur D,
Épiphyse prox. tibia D,
péroné D, quelques os
du pied D

FICHE INVENTAIRE

Site: St-Frédéric-de-Beauce
Vanessa Oliver-Lloyd CBER-1

No. de sépulture: 157



Os présents :

fragments de calotte et
de mandibule, 2e et 3e
côtes G, omoplate G, Épi-
physe distale fémur D,
Épiphyse prox. tibia D,
péroné D, quelques os
du pied D

FICHE IMMATURE

Site: St-Frédéric-de-Beauce No. de sépulture: AS7
 Vanessa Oliver-Lloyd CBGr-1

Âge: 5 à 7 ans

critère	âge attribué
développement des dents	selon la c permanente 5 à 7 ans
soudure des épiphyses présentes, formées mais ≠ soudées	fem. distal: < 14 ans prox tibia: < 14 ans

Longueur des os longs: N/A

	droit	gauche
humérus		
radius		
cubitus		
fémur		
tibia		

longueur péroné D (manque un peu diaph. dist.)
231 mm

FICHE DENTS DES IMMATURES

Site : St-Frédéric-de-Beauce
 Vanessa Oliver-Lloyd cbcr-1

No. de sépulture : AS7

MAXILLAIRE SUPÉRIEUR

Dents	m ²		m ¹		c		i ²		i ¹	
	G	D	G	D	G	D	G	D	G	D
hypoplasie										
description										
localisation										
caries										
nombre										
absence										
état										

N/A

Dents	M ³		M ²		M ¹		PM ²		PM ¹		C		I ²		I ¹	
	G	D	G	D	G	D	G	D	G	D	G	D	G	D	G	D
hypoplasie																
description																
localisation																
caries																
nombre																
absence																
état																

MANDIBULE

Dents	m ²		m ¹		c		i ²		i ¹	
	G	D	G	D	G	D	G	D	G	D
hypoplasie										
description										
localisation										
caries										
nombre										
absence										
état										

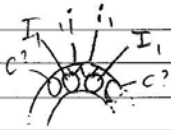
Dents	M ³		M ²		M ¹		PM ²		PM ¹		C		I ²		I ¹	
	G	D	G	D	G	D	G	D	G	D	G	D	G	D	G	D
hypoplasie												0				
description																
localisation																
caries												0				
nombre																
absence																
état												C				

côté inconnu 3/4 couronne complète

AST

crâne: fragments divers de calotte, PAS

mandibule: frag. de corps autour du menton
 la mandibule appartient à un enfant: les
 alvéoles (en partie brisées) sont élargis à
 la base = dents en croissance



+ C permanente en croissance: couronne 3/4
 complète (inf. D ou G?) 5 à 7 ans

côtes: 1^{er} et 2^e G, petites (immature)

omoplate G: presque complète, ≠ apo coraco (brisé ou enfant?)

fémur D: épiphyse distale complète mais ≠ soudée, on
 voit bien la texture ≠ fusionnée
 moins de 14 ans

tibia D: épiphyse proximale complète mais non-soudée
 moins de 14 ans

péroné D: diaphyse presque complète

ped D: tarse: astr., I, II et IV-0?

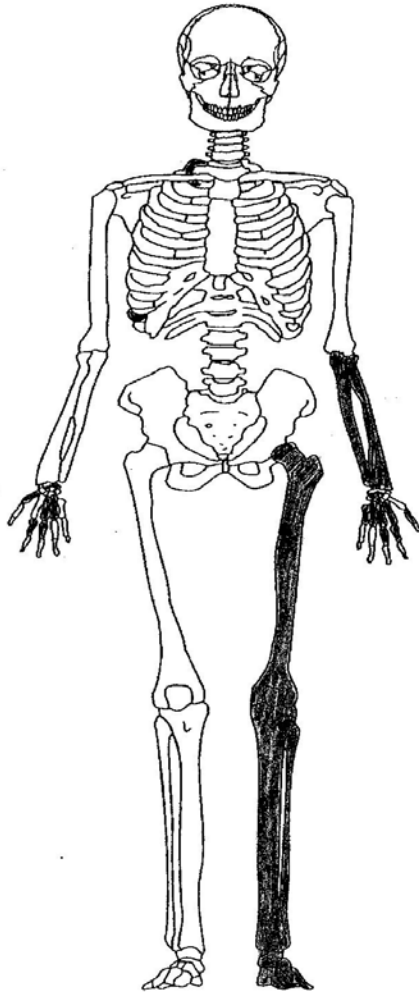
frag. de calcaneum, côté inconnu

ÂGE: 5 à 7 ans mais basé seulement sur la
 couronne de C permanente
 + morpho mandibule

FICHE INVENTAIRE

Site : St-Frédéric-de-Beauce
Vanessa Oliver-Lloyd U68r-1

No. de sépulture : A63



Os présents :

côtes D (rare et 11/12^e), ra-
dus + cubitus G complets,
main D partielle, main G
presque complète, jambe G
complète

FICHE DÉTERMINATION DU SEXE ET DE LA STATURE

Site : St-Frédéric-de-Beauce No. de sépulture : A63
 Vanessa Oliver-Lloyd ObEv-1 Sexe : M

SEXE

os	critères	note
crâne	arcades sourcilières	
	crête nuchale	
	longueur mastoïdes	
	bord supérieur de l'orbite	
	bosses frontales et pariétales	
	forme du front	
mandibule	éminence mentonnière	
	forme du menton	
coxaux	échancrures sciatiques	
	sulcus préauriculaire	
	angle pubien	
	branche descendante	
post-crânien	robustesse	4
	dimensions	5

STATURE

Longueur des os longs:

	gauche	droit
humérus		
radius	266 mm	
cubitus	286 mm	
fémur	504 mm	
tibia	434 mm	

FICHE OBSERVATION ARTHROSE

Site : St-Frédéric-de-Beauce

No. de sépulture : AG3

Vanessa Oliver-Lloyd CBG-1

CRÂNE ET MANDIBULE

	gauche			droit		
	localisation	sévérité	type	localisation	sévérité	type
crâne	condyle			condyle		
	glénoïde			glénoïde		
mandibule	condyle			condyle		

N/A

VERTÈBRES

vert.	supérieur			inférieur		
	localisation	sévérité	type	localisation	sévérité	type
C	apophyses			apophyses		
	corps			corps		
C	apophyses			apophyses		
	corps			corps		
C	apophyses			apophyses		
	corps			corps		
C	apophyses			apophyses		
	corps			corps		
C	apophyses			apophyses		
	corps			corps		
C	apophyses			apophyses		
	corps			corps		
T	apophyses			apophyses		
	corps			corps		
T	apophyses			apophyses		
	corps			corps		
T	apophyses			apophyses		

N/A

	corps			corps		
T	apophyses			apophyses		
	corps			corps		
T	apophyses			apophyses		
	corps			corps		
T	apophyses			apophyses		
	corps			corps		
T	apophyses			apophyses		
	corps			corps		
T	apophyses			apophyses		
	corps			corps		
T	apophyses			apophyses		
	corps			corps		
T	apophyses			apophyses		
	corps			corps		
L	apophyses			apophyses		
	corps			corps		
L	apophyses			apophyses		
	corps			corps		
L	apophyses			apophyses		
	corps			corps		
L	apophyses			apophyses		
	corps			corps		

N/A

MEMBRES SUPÉRIEURS

	gauche			droit		
	localisation	sévérité	type	localisation	sévérité	type

omoplate	glénoïde			glénoïde		
humérus	proximal			proximal		
	distal			distal		
radius	proximal	0	0	proximal		
	distal	0	0	distal		
cubitus	proximal	0	0	proximal		
	distal	0	0	distal		
main	carpes	0	0	carpes	0	0
	MC	0	0	MC	0	0
	phalanges	0	0	phalanges	0	0

MEMBRES INFÉRIEURS

	gauche			droit		
	localisation	sévérité	type	localisation	sévérité	type
coxal	acetabulum			acetabulum		
fémur	proximal	0	0	proximal		
	distal	0	0	distal		
rotule	postérieur	0	0	postérieur		
tibia	proximal			proximal		
	distal			distal		
péroné	proximal	0	0	proximal		
	distal	0	0	distal		
pied	tarses	0	0	tarses		
	MT			MT		
	phalanges			phalanges		

Autres :

A63

côtes: D: 1^{ère} et 11 ou 12^e côtes, complètes

radius: G: complet, assez long, droit, relief musculaire moyennement développé. quelques traces de tissu noir collé à l'extr. distale

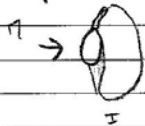
cubitus G: idem que ci-haut, tissu noir collé à l'extr. proximale

main D: gr os
PIC: I, III, IV + 3 1^{ères} phalG: gr os, sca, t^{èze}
PIC: II à V + 2 1^{ères} phaljambes G: fémur: très gros + robuste
facette de poirier
* déclinaison normaltibia: extr. prox légèrement écrasée post-m
très mince mais relief musc dev aux
extrémités

péroné: idem, RAS

pied G: tarses: les 7 RAS + 2 sésamoïdes
PI I à VTITI a une facette articulaire de + pour TIT II
- proximale

vue prox s

SEXE: une la robustesse et les dimensions
des os: MASCULIN

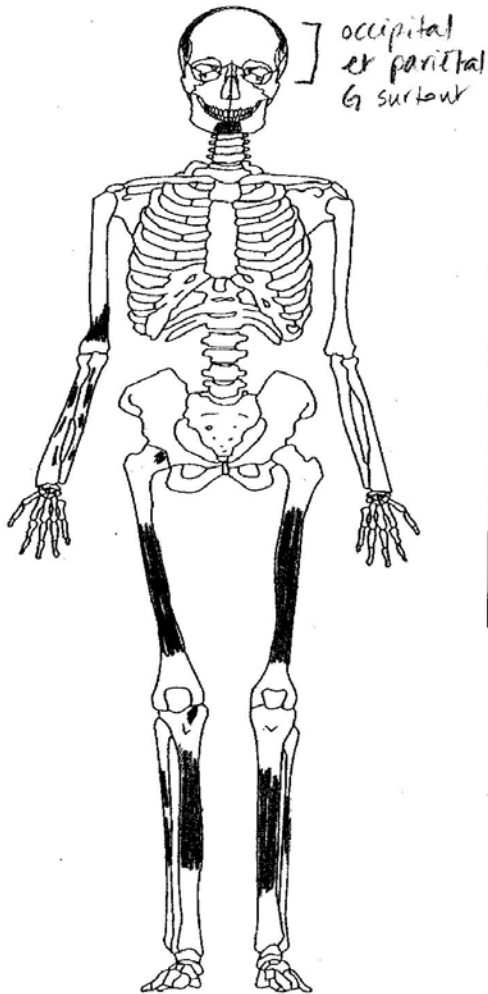
ÂGE: adulte

FICHE INVENTAIRE

Site : St. Frédéric-de-Beauce

No. de sépulture : AG7

Vanessa Oliver-Lloyd U66-1



Os présents :

frag. de calotte crânienne,
frag. de mandibule, bras
D très fragmentaire,
jambes partielles

FICHE DÉTERMINATION DU SEXE ET DE LA STATURE

Site : St-Frédéric-de-Beauce No. de sépulture : A67
 Vanessa Oliver-Lloyd (bcr-1) Sexe : ♂

SEXE

os	critères	note
crâne	arcades sourcilières	
	crête nuchale	4
	longueur mastoïdes	X
	bord supérieur de l'orbite	
	bosses frontales et pariétales	X
mandibule	forme du front	
	éminence mentonnière	X
coxaux	forme du menton	X
	échancrures sciatiques	
	sulcus préauriculaire	N/A
	angle pubien	A
post-crânien	branche descendante	
	robustesse	4
	dimensions	4

STATURE

Longueur des os longs:

	gauche	droit
humérus		—
radius		—
cubitus		—
fémur	—	—
tibia	—	—

AG7

crâne : en mcx

pariétaux (surtout le G) : en mcx mais suture
sagittale fermée (trace exo), surface
érodée surtout exo, endo = en
place, noire

occipital : crête nuchale assez développée, M

temporaires : D et G fragments proche des
mastoi des mais celles-ci sont
± observables car érodées ou
brisées

mandibule : corps au niveau du menton
assez épais (M) mais érodée au niveau des
alvéoles. On dirait qu'il n'y avait plus
de dents, tout a une texture poreuse. Mais
impossible d'affirmer car érosion partout

humérus D : éclats, 14 distal

avant-bras D : éclats non-identifiables

fémurs D et G : surfaces érodées, cortex manquant
mais assez robustes, lignes à pres saillantes

fibias D et G : éclats, ± de surface sans îlots

péronés D et G : éclats seulement

pied D : frag de calc.

SEXE : selon crête nuchale + robustesse, M

ÂGE : aucun critère, adulte

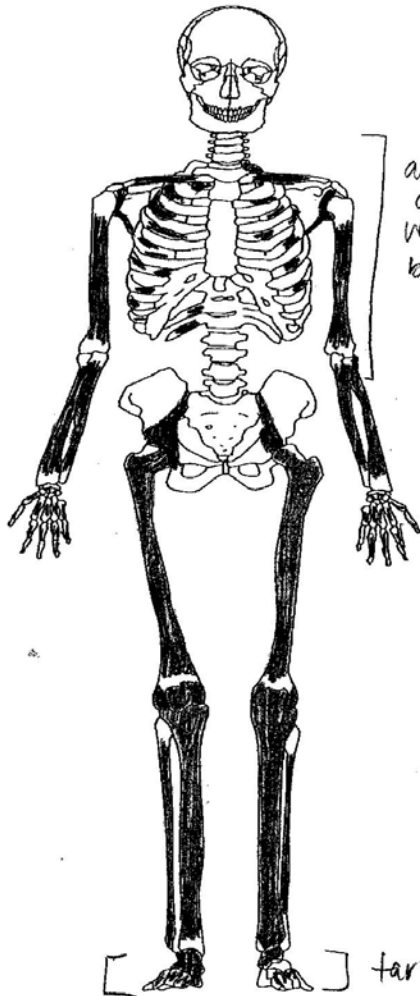
FICHE INVENTAIRE

Site : St-Frédéric-de-Beauce

No. de sépulture : A68

Vanessa Oliver-Lloyd

CBGR-1



arcs
de
vertè-
bres

Os présents :

quelques arcs de vertèbres,
fragments de côtes D et G,
ceinture scapulaire presque
complète, bras presque com-
plets, mains presque com-
plètes, coxaux fragmentaires,
jambes presque complètes,
presque tous les os
de pieds (sauf phalanges)

farses der FT surtout

FICHE DÉTERMINATION DU SEXE ET DE LA STATURE

Site: St. Frédéric-de-Beauce No. de sépulture: AG8
 Vanessa Oliver-Lloyd cbGr-1 Sexe: F

SEXE

os	critères	note
crâne	arcades sourcilières	
	crête nuchale	
	longueur mastoïdes	N/A
	bord supérieur de l'orbite	A
	bosses frontales et pariétales	
	forme du front	
mandibule	éminence mentonnière	N/A
	forme du menton	
coxaux	échancrures sciatiques	D: G: X
	sulcus préauriculaire	X
	angle pubien	N/A
	branche descendante	
post-crânien	robustesse	
	dimensions	

STATURE

Longueur des os longs:

	gauche	droit
humérus	—	—
radius	—	—
cubitus	—	—
fémur	—	—
tibia	343 mm	—

↳ sous estimé
 ≠ malleole

A68

vertèbres : cervicales : N1-1 = axis partiel
 thoraciques : N1-10 = arcs seulement, la plupart sans surf. articulaires
 lombaires : N1-5 = arcs seulement, dont un en 2 mcx

côtes D : 13 frags de corps } cortex pâle, friables
 3 côtes avec tubérosité

G : 7 frags de corps } idem
 2 avec tubérosité pour la tête

clavicules D : assez complète sans extrémités
 cortex fragile mais présent, petite, grâce relief dev. au niveau de la tubérosité

G : idem

omoplates D et G : base acromion et bord externe
 cav. glénoïdes : x
 petites

humérus D et G : très graciles, droits, \neq relief développé
 cortex et surface présents
 le D semble avoir trou sus-trochléen
 mais comme il est brisé, impossible à affirmer

radius D et G : idem pour morpho et conservation
 courbure accentuée de l'os (taupha)

cubitus D et G : - manque cortex à certains endroits
 - extr. prox partielle mais x car surface est érodée
 - le D est plus courbé au 1/4 distal que le G

A68 (suite)

main D: $\Pi C IV$ et $\Pi C II$ et $\Pi C III$

G: gr. os et pyr. (carpes)

os? : les 2 $\Pi C I$ + 4 ΠC \neq d'extrémités
5 vers phalanges complètes
3 2^e phalanges "
1 3^e phalange presque complète
1 angle noir

coxal D: autour de l'éch. sciatique, celle-ci est ouverte
donc F
cortex pâle ou manquant
surf. auriculaire x car érodée

G: il en reste moins, \neq observation pour éch.
sciat. ni surf. auriculaire

fémur: D: \neq normal, cortex pâle mais présent,
ligne épé souillante surtout dans le 1/3
inférieur
extr. prox. présente mais érodée, idem pour
extr. dist.

G: idem, tron du ligament rond normal
les 2 sont gracieux

rotules D et G: RAS

tibias D et G: cortex pâle en longs éclats, extr. prox = x
car érodées, idem distale G
L G: sans estime: 343mm

péronés: RAS

pied D: tarses: calc, astr, nav, cub, cun 1 à 3

le calc et l'astr. sont très très étroits

AG8 (suite)

ped D suite donc pied très étroit?

NT I à V

ped G: tarses calc, astr., cun I, II et III, nav
partiels
calc et astr. moins étroits qu'à D, mais
ont quand même une forme différente, et-
filée vers l'avant

NT I, V + 2 non-identifiées, + d'extrémités

SEXE: féminin, vu la gracilité et petitesse des
os et surtout à cause de l'éch. sciatique
D qui est ouverte

AGE = ≠ critère observable, adulte

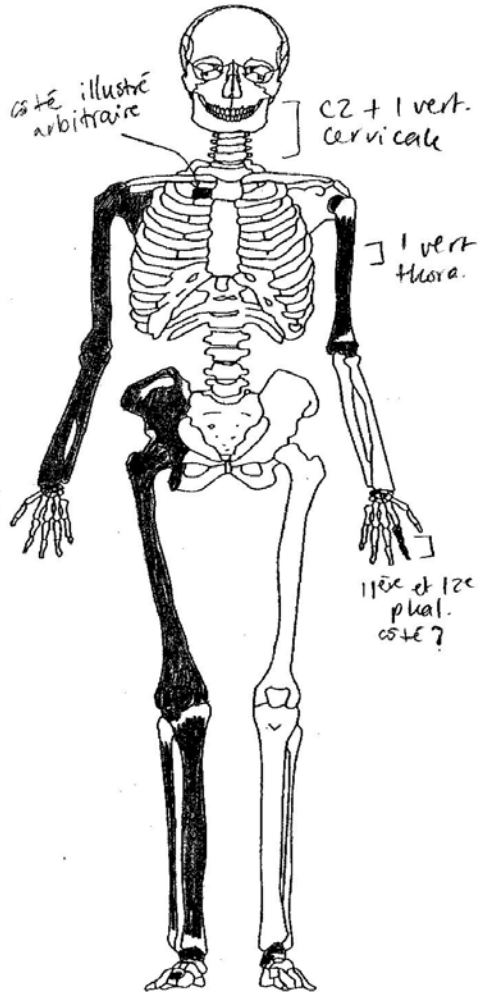
FICHE INVENTAIRE

Site: St-Frédéric-de-Beauce

No. de sépulture: A72

Vanessa Oliver-Lloyd

U6Er-1



Os présents :

3 vertèbres partielles,
 1 extr. sternale de tête
 côte, omoplate D complète,
 bras D complet, humérus
 G, 4 carpes D, 1 G;
 coxal D partiel, jambe D
 presque complète, pied D
 partiel, pied G partiel

FICHE DÉTERMINATION DU SEXE ET DE LA STATURE

Site : St-Frédéric-de-Beauce
 Vanessa Oliver-Lloyd cbér-1

No. de sépulture : A72
 Sexe : ♂

SEXE

os	critères	note
crâne	arcades sourcilières	
	crête nuchale	
	longueur mastoïdes	N/A
	bord supérieur de l'orbite	A
	bosses frontales et pariétales	
	forme du front	
mandibule	éminence mentonnière	N/A
	forme du menton	A
coxaux	échancrures sciatiques	D : 3
	sulcus préauriculaire	D : 2
	angle pubien	D : N/A
	branche descendante	D : A
post-crânien	robustesse	5
	dimensions	5

STATURE

Longueur des os longs:

	gauche	droit
humérus	—	334 mm
radius	—	255 mm
cubitus	—	267 mm *
fémur	—	—
tibia	—	—

* sous estimé car
 apo. styloïde manquante

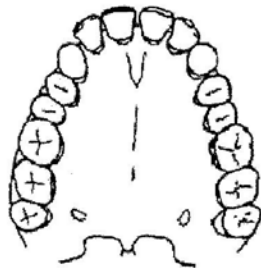
FICHE DÉTERMINATION DE L'ÂGE

Site: St-Frédéric-de-Beauce No. de sépulture: A72
Vanessa Oliver-Lloyd CB Er-1 Âge estimé: adulte

SUTURES CRÂNIENNES

coronale : incisive : N/A
sagittale : sphéno-occipitale :
lambdoïde :

USURE DES DENTS



N/A

COXAUX

- actif à l'apex 4: 35-39 ans
surfaces auriculaires: - surf. assez dense, pas de macroporosité
- ≠ transv. organisation.

symphyses pubiennes: N/A

FICHE OBSERVATION ARTHROSE

Site : St-Frédéric-de-Beauce

No. de sépulture : A 72

Vanessa Oliver-Lloyd cb6r-1

CRÂNE ET MANDIBULE

	gauche			droit		
	localisation	sévérité	type	localisation	sévérité	type
crâne	condyle			condyle		
	glénoïde			glénoïde		
mandibule	condyle			condyle		

N/A

VERTÈBRES

vert.	supérieur			inférieur		
	localisation	sévérité	type	localisation	sévérité	type
C ₂	apophyses	0	0	apophyses	0	0
	corps	—	—	corps	—	—
C ₇	apophyses	0	0	apophyses	0	0
	corps	0	0	corps	X	X
C	apophyses			apophyses		
	corps			corps		
C	apophyses			apophyses		
	corps			corps		
C	apophyses			apophyses		
	corps			corps		
C	apophyses			apophyses		
	corps			corps		
C	apophyses			apophyses		
	corps			corps		
T ₇	apophyses	0	0	apophyses	X	X
	corps	0	0	corps	X	X
T	apophyses			apophyses		
	corps			corps		
T	apophyses			apophyses		

	corps			corps		
T	apophyses			apophyses		
	corps			corps		
T	apophyses			apophyses		
	corps			corps		
T	apophyses			apophyses		
	corps			corps		
T	apophyses			apophyses		
	corps			corps		
T	apophyses			apophyses		
	corps			corps		
T	apophyses			apophyses		
	corps			corps		
L	apophyses			apophyses		
	corps			corps		
L	apophyses			apophyses		
	corps			corps		
L	apophyses			apophyses		
	corps			corps		
L	apophyses			apophyses		
	corps			corps		

MEMBRES SUPÉRIEURS

	gauche			droit		
	localisation	sévérité	type	localisation	sévérité	type

© Vanessa Oliver-Lloyd, 2006

omoplate	glénoïde			glénoïde	1	B,P
humérus	proximal	1	B	proximal	1	B
	distal	0	0	distal	0	0
radius	proximal			proximal	0	0
	distal			distal	0	0
cubitus	proximal			proximal	1	B
	distal			distal	X	X
main	carpes	0	0	carpes	1	B
	MC			MC		
	phalanges			phalanges		

↳ cote ? 0 0

MEMBRES INFÉRIEURS

	gauche			droit		
	localisation	sévérité	type	localisation	sévérité	type
coxal	acetabulum			acetabulum	0	0
fémur	proximal			proximal	0	0
	distal			distal	1	B
rotule	postérieur			postérieur	0	0
tibia	proximal			proximal	X	X
	distal			distal		
péroné	proximal			proximal		
	distal			distal		
pied	tarses	0	0	tarses	0	0
	MT			MT		
	phalanges			phalanges		

Autres :

A72

≠ crâne

vertèbres - Cervicales N11=2, recollée, l'arc post est légèrement dévié supérieurement (post-mortem?)
 + CZ : frags d'arc post
 - thoracique N11=1, presque complète, RAS

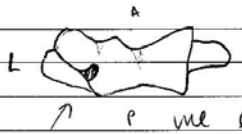
côte : extr. sternale d'une rec côte, côté inconnu

omoplate D : quasi complète, tachée noire, robuste,
 - arthrose : lipping autour de la cav. glénoïde (en noir) + pitting dans dépression de la partie inf de la cavité
 - pitting sur toute la surface de l'acromion
 - artic. de la clavicule



Bras : humérus D : complet, taché noir, assez robuste

- crête du deltoïde assez développée
 - lipping extr prox, spicule osseux sur extr. dist (capitulum) voir dessin
 - épicondyle os assez saillante



humérus G : en 3 mex, léger lipping autour de la tête qui est incomplète
 - l'os est moins bien conservé à G, il n'est pas taché noir, cortex pâle

radius D : ligament ossifié au niveau de la crête interosseuse (spicule)

cubitus D : crête traverse l'olécrane (arthrose ou morpho?)
 lipping sur pourtour de l'extr prox
 relief musc. développé

A72 (suite)

Mains : D carpes : gr os, 1/2 lun*, tze, scaph
* lipping

2 phal cote ? : 11^{ie} et 12^e, RAS

G carpe : 1/2 lun

coxal : D - manque ischion/pubis
- éch. siatique indéterminée, cotée 3 car
relativement ouverte
- très léger sulcus preauriculaire
- surf. auric sale mais observable, donne
phase 4 - 35-39 ans ce qui est assez
plausible.
- le reste de la morpho du coxal est
masculine ⇒ angle de l'acetabulum, posi-
tion face auric, crête ilion, etc)

Fémur D : - relativement gracile, relief peu dev → surf
sub troch. face post.
- ≠ déclinaison normal
- trou ligament rond agrandi, avec bordure
osseuse
- quelques nodules (3) petits sur facette
art. de l'extr. distale

rotule D : RAS

tibia, péroné D : RAS

ped D : ast + nav D incomplets, cun II, incomplet
IT non-identifié

ped G : calc (frag) et ast. complet, mais RAS

SEXE : ♂ selon morpho du coxal + robustesse

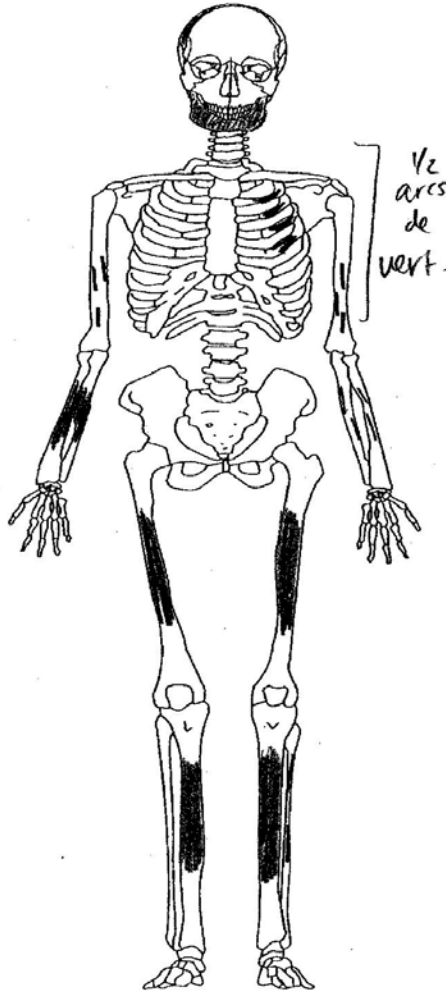
ÂGE : adulte. surf. auric = 35-39 mais mais arthrose
donc pas assez fiable pour chiffrer

FICHE INVENTAIRE

Site : St Frédéric-de-Beauce
Vanessa Oliver-Lloyd Cber-1

No. de sépulture : A73

immature



Os présents :

quelques frags de crâne,
dents sup et inférieures,
mandibule presque complète,
quelques arcs de vertèbres
côtes (4), bras partiels,
jambes partielles

+ cheveux

FICHE DÉTERMINATION DE L'ÂGE

Site: St-Frédéric-de-Beauce

No. de sépulture: A73

Vanessa Oliver-Lloyd CBR-1

Âge estimé: 3-4 ans

SUTURES CRÂNIENNES *ouvertes (non-identifiées)*

coronale :

incisive :

sagittale :

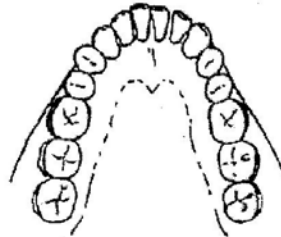
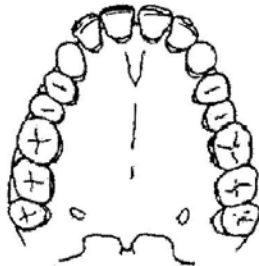
sphéno-occipitale :

lambdoïde :

USURE DES DENTS

*immature
donc N/A*

*voir obs.
dents*



COXAUX

surfaces auriculaires :

N/A

symphyses pubiennes :

FICHE IMMATURE

St-Frédéric-de-Beauce
Vanessa Oliver-Lloyd CbGr-1

No. Sépulture : A73

Âge : 3-4 ans

critère	âge attribué
développement des dents	3-4 ans
soudure des épiphyses	N/A

Longueur des os longs :

	droit	gauche
humérus	—	—
radius	—	—
cubitus	—	—
fémur	—	—
tibia	—	—

FICHE DENTS DES IMMATURES

St-Frédéric-de-Beauve

No. Sépulture : A73

Vanessa Oliver-Lloyd

cbér-1

MAXILLAIRE SUPÉRIEUR

Dents	m ²		m ¹		c		i ²		i ¹	
	G	D	G	D	G	D	G	D	G	D
hypoplasie	0		0		0	0	0	0	0	0
description										
localisation										
caries	0		0		0	0	0	0	0	0
nombre										
absence		?		P						
état	C		T		T	T	T	T	T	T

racine 1/2 sans pointe racine

Dents	M ³		M ²		M ¹		PM ²		PM ¹		C		I ²		I ¹	
	G	D	G	D	G	D	G	D	G	D	G	D	G	D	G	D
hypoplasie					0						0	0	0	0	0	0
description																
localisation																
caries					0						0	0	0	0	0	0
nombre																
absence			?	?		P	P	P	P	P						
état					C						C	C	C	C	C	C

couronne complète

couronne 3/4

couronne complète

couronne 3/4

MANDIBULE

Dents	m ²		m ¹		c		i ²		i ¹	
	G	D	G	D	G	D	G	D	G	D
hypoplasie	0	0	0	0	0	0	0	0	0	0
description										
localisation										
caries	0	0	0	0	0	0	0	0	0	0
nombre										
absence										
état	Y	T	T	T	T	T	T	T	T	T

l'un ou l'autre

Dents	M ³		M ²		M ¹		PM ²		PM ¹		C		I ²		I ¹	
	G	D	G	D	G	D	G	D	G	D	G	D	G	D	G	D
hypoplasie					0	0					0	0	X		0	X
description																
localisation																
caries					0	0					0	0	X		0	X
nombre																
absence																
état					C	C					C	C	C		C	C

?
l'un ou l'autre
coronne + 1/4 racine
X 1/3 coronne
coronne

A73

crâne : quelques fragments, pelures de cortex avec cheveux
sutures ouvertes et complexes

cheveux : cette fois les cheveux sont en deux blocs, + de
coiffure particulière ni accessoires

dents supérieures libres c(tempo.) D et G : peu usées

- i^1 et i^2 D et G : usées légèrement
- I^1 et I^2 D et G : en formation voir notes
- C permanentes D et G : en formation
- m^1, m^2, π^1 G : voir notes

mandibule + dents inférieures

- branche D avec C(perm), C(temp), m_1, m_2 et π_1
- branche D avec i_1 et i_2 + I_1 visible en formation
- branche G avec i_1 et i_2 + I_2 en formation, C(temp) +
C(perm), m_1, m_2 et π_1 en formation

I_2 D ou I_1 G à part couronne presque formée

vertèbres : 1/2 arcs non-identifiés N17 4 (7 1/2 arcs)

côtes G : 4, fragments de corps, pelures de cortex

humérus D et G : éclats de cortex

avant-bras D : radius + cubitus, petits frags friables
G : non-ident. = éclats

fémurs D et G : mieux conservés mais RAS

tibias D et G : droits

péroné G RAS

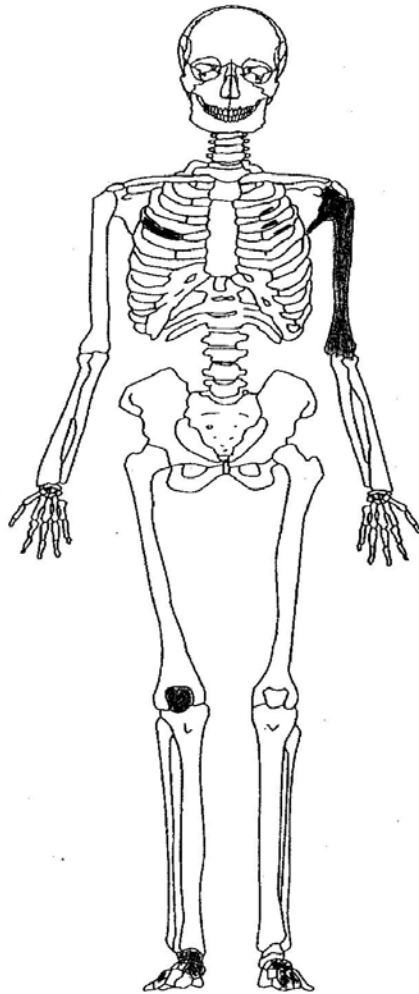
ÂGE : selon éruption dentaire 3-4 ans, ce qui
correspond bien aux dimensions des os

FICHE INVENTAIRE

Site : St-Frédéric-de-Beaucé

No. de sépulture : B2

Vanessa Oliver-Lloyd CBER-1



Os présents :

1 côte D, 3 frags côte G,
omoplate G partielle, hu-
mérus G complet, ro-
tule D complète, pied
D targes et un TIT, pied
G targes et TIT

FICHE DÉTERMINATION DU SEXE ET DE LA STATURE

Site : St Frédéric de Beaulieu No. de sépulture : B2
 Vanessa Oliver-Lloyd ObGr-1 Sexe : M

SEXE

os	critères	note
crâne	arcades sourcilières	
	crête nuchale	
	longueur mastoïdes	N/A
	bord supérieur de l'orbite	
	bosses frontales et pariétales	
mandibule	forme du front	
	éminence mentonnière	
coxaux	forme du menton	N/A
	échancrures sciatiques	
	sulcus préauriculaire	
	angle pubien	
post-crânien	branche descendante	
	robustesse	5
	dimensions	5

STATURE

Longueur des os longs:

	gauche	droit
humérus	350 mm	
radius		
cubitus		
fémur		
tibia		

St-Frédéric-de-Beauce (bZerl)

17/03/10
WL

BZ

côtes D: 1 sans extr., ± tubérosité, noire
G: 3 frags

omoplate G: cavité glénoïde, bas acromion et bord externe robuste, solide, ± d'arthrose dans cavité

humérus G: - lourd, gros, solide, relief musculaire bien développé, bien conservé
- ± d'arthrose sur les surf. art. des extr.
- deltoïde très développé

rotule D: grande, robuste, ± d'arthrose

ped D: tarses calc, astr et nav complets, robustes
MT III très long complet

ped G: tarses nav et can I, robustes
MT I et II, longs et robuste
↳ extr. distale a du lipping mais ± arthrose, probablement bis mécanique

SEXE: définitivement masculin, os très robustes

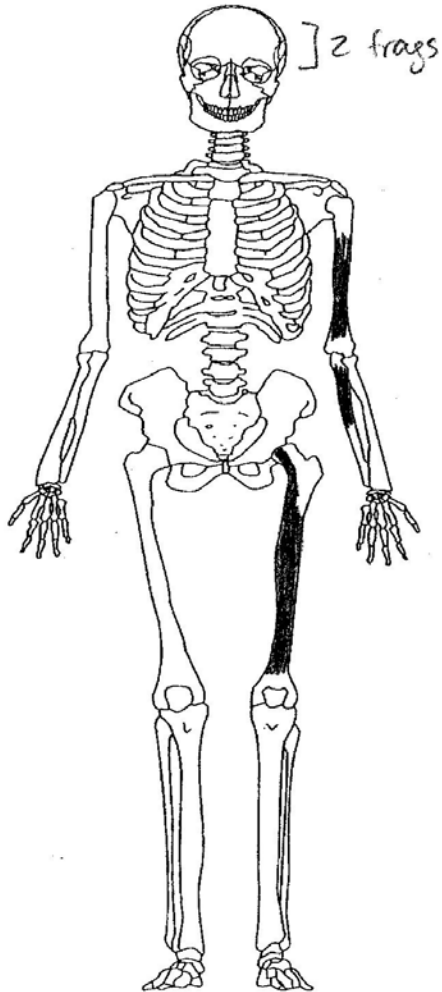
ÂGE: adulte

FICHE INVENTAIRE

Site : St Frédéric-de-Beauce

No. de sépulture : B4

Vanessa Oliver-Lloyd CbEr-1



Os présents :

2 frag. de calotte crâ-
nienne, humérus G,
fémur G (partiels)

St-Frédéric-de-Beauce (bér.)

17/03/10
UR

B4

Crâne : 2 fragments de calotte non-identifiés
dont un qui semble être le frontal G → si oui,
il y avait une suture métopique.

humérus G : surface érodée, cortex taché noir
moyennement robuste

cubitus G : ≠ de surface
extr. prox partielle mais x

fémur G : extr. prox érodée, ≠ de dist.
≠ de surface
pas robuste, ligne épée peu saillante

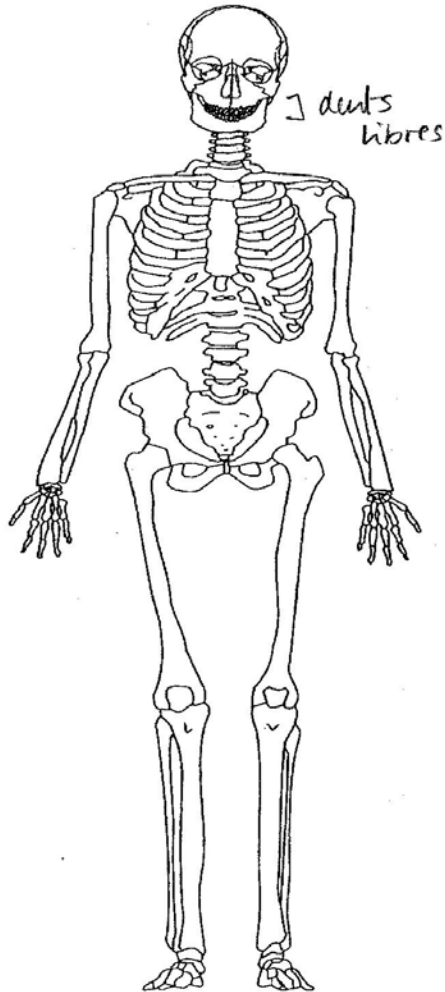
SEXE : indéterminé

ÂGE : adulte

FICHE INVENTAIRE

Site: St-Frédéric-de-Beauce
Vanessa Oliver-Lloyd CBP-1

No. de sépulture: B9



Os présents :

dents supérieures:

I¹G, CD, P¹₁ D+G,
m², P¹ et P² D+G;

dents inférieures:

I (?), P²₂ D+G, P¹₁ D

P¹ D et G, P²₂ D;

une 2^e P²₂ D + petite
(intrusive?)

FICHE DÉTERMINATION DE L'ÂGE

Site: St. Frédéric de Beauve

No. de sépulture: B9

Vanessa Oliver-Lloyd Cber.1

Âge estimé: 10-12 ans

SUTURES CRÂNIENNES

coronale :

N/A

incisive :

N/A

sagittale :

sphéno-occipitale :

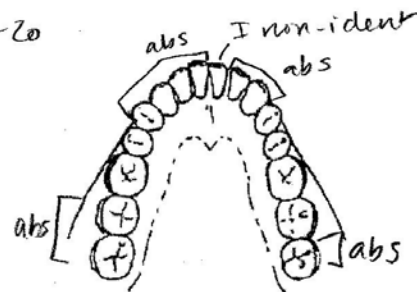
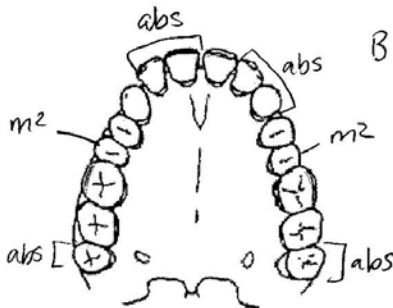
lambdoïde :

USURE DES DENTS

A : 12-18

ou

B₁ : 16-20



→ présence des m² = 10-11 ans

COXAUX

surfaces auriculaires :

symphyses pubiennes :

N/A

FICHE OBSERVATION DES DENTS

Site: St-Frédéric-de-Beauce No. de sépulture: 89
 Vanessa Oliver-Lloyd Cher-1

MAXILLAIRE SUPÉRIEUR

m²

Dents	M ³		M ²		M ¹		PM²		PM ¹		C		I ²		I ¹	
	G	D	G	D	G	D	G	D	G	D	G	D	G	D	G	D
hypoplasie			0	0	0	0	0	0	0	0	0					0
description																
localisation																
tartre			0	0	0	0	0	0	0	0	0					0
caries			0	0	0	0	0	0	0	0	0					0
nombre																
absence																
état			?	?	T	T	T	T	?	?	T					T

MANDIBULE

I non-ident.

Dents	M ³		M ²		M ¹		PM ²		PM ¹		C		I ²		I ¹	
	G	D	G	D	G	D	G	D	G	D	G	D	G	D	G	D
hypoplasie			0	0	0	0	0	0	0							0
description																
localisation																
tartre			0	0	0	0	0	0	0							0
caries			0	0	0	0	0	0	0							0
nombre																
absence																
état			?	T	T	?	?	?	?							T

39

dents libres

Supérieures : I' G : † de racine, noire, peu usée
 C sup D : en 3 mcx
 P₁₁' D et G : idem
 m², P₁₁ et P₁₂ G : } les m² sont assez usées
 m², P₁₁ et P₁₂ D :

Inférieures : I non-identifiée
 P₁₂ D avec frag de mandibule (petite)
 P₁₁ D : † racine
 P₁₂ G : "
 P₁₁ D et P₁₁ G : † racine
 P₁₂ D : † racine
 une 2^e P₁₂ D + petite → intrusive?

Rétention de la m² : la m² tombe habituellement entre 10 et 11 ans. Comme toutes les racines sont manquantes (brisées) il est très difficile de préciser l'âge selon l'éruption des dents (les P₁₂ n'étaient peut-être pas complètes?). Les P₁₂ sont présentes.

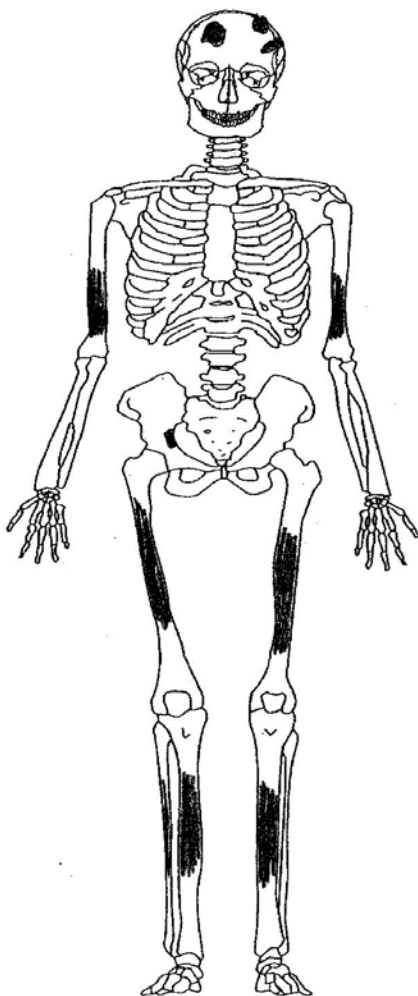
SEXE : indéterminé

ÂGE : selon l'usure des dents 12 à 20 maximum
 la présence des m² ramène l'âge à 10-12 ans.

FICHE INVENTAIRE

Site: St Frédéric-de-Beauce
Vanessa Oliver-Lloyd C6er-1

No. de sépulture: B10



Os présents :

fragments de calotte, dents,
fragments d'humérus,
fragment de coxal D,
jambes partielles

+ cheveux

FICHE DÉTERMINATION DU SEXE ET DE LA STATURE

Site : St-Frédéric-de-Beauce

No. de sépulture : 310

Vanessa Oliver-Lloyd CbGr-1

Sexe : F

SEXE

os	critères	note
crâne	arcades sourcilières	
	crête nuchale	
	longueur mastoïdes	
	bord supérieur de l'orbite	
	bosses frontales et pariétales	
	forme du front	
mandibule	éminence mentonnière	N/A
	forme du menton	
coxaux	échancrures sciatiques	X
	sulcus préauriculaire	
	angle pubien	
	branche descendante	
post-crânien	robustesse	1
	dimensions	1

cheveux en chignon

STATURE

Longueur des os longs:

	gauche	droit
humérus	—	—
radius		
cubitus		
fémur	—	—
tibia	—	—

FICHE DÉTERMINATION DE L'ÂGE

Site : St-Frédéric-de-Beauce

No. de sépulture : B10

Vanessa Oliver-Lloyd CBZ-1

Âge estimé : adulte

SUTURES CRÂNIENNES

coronale :

incisive :

sagittale :

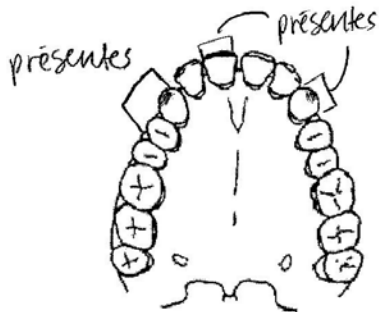
sphéno-occipitale :

lambdoïde :

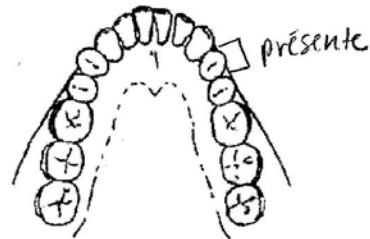
N/A

N/A

USURE DES DENTS



B : 16-20 ans



COXAUX

surfaces auriculaires :

symphyses pubiennes :

N/A

FICHE OBSERVATION DES DENTS

Site: St-Frédéric-de-Beauce No. de sépulture: B10
 Vanessa Oliver-Lloyd 06/11

MAXILLAIRE SUPÉRIEUR

Dents	M ³		M ²		M ¹		PM ²		PM ¹		C		I ²		I ¹	
	G	D	G	D	G	D	G	D	G	D	G	D	G	D	G	D
hypoplasie									0	0	0					0
description																
localisation																
tartre									0	0	0					0
caries									0	0	0					0
nombre																
absence																
état									T	T	T					T

MANDIBULE

Dents	M ³		M ²		M ¹		PM ²		PM ¹		C		I ²		I ¹	
	G	D	G	D	G	D	G	D	G	D	G	D	G	D	G	D
hypoplasie									0							
description																
localisation																
tartre									0							
caries									0							
nombre																
absence																
état									T							

BIO

crâne : - en fragments, érodés, envahis par racines
 - occipital en zmax : crête nucale peu développée
 - temporal : frag ≠ mastoïdes

cheveux : des cheveux se trouvent dans un papier d'aluminium : on dirait que c'est un chignon. On voit clairement une épingle de cuivre. Il y a un 2^e élément de cuivre qui soutient le chignon mais impossible de le voir sans détruire le tout.

dents : 3 couronnes d'incisives (sup? inf?) + 1 racine
 I[']D + les 2c supérieures
 P[']I[']D : ≠ racine

P[']I[']D : ≠ racine

humérus D et G : très petits, fragmentaires, ≠ de surface
 graïus

coxal D : fragment de l'échancrure sciatique, ≠ observable

fémurs D et G : ≠ de surface, ≠ cortex
 petits, graïus, ≠ relief

tibias D et G : idem, érodés

péroné D : RAS

SEXE : - selon robustesse des os : F
 - les cheveux en chignon viennent appuyer
 ceci

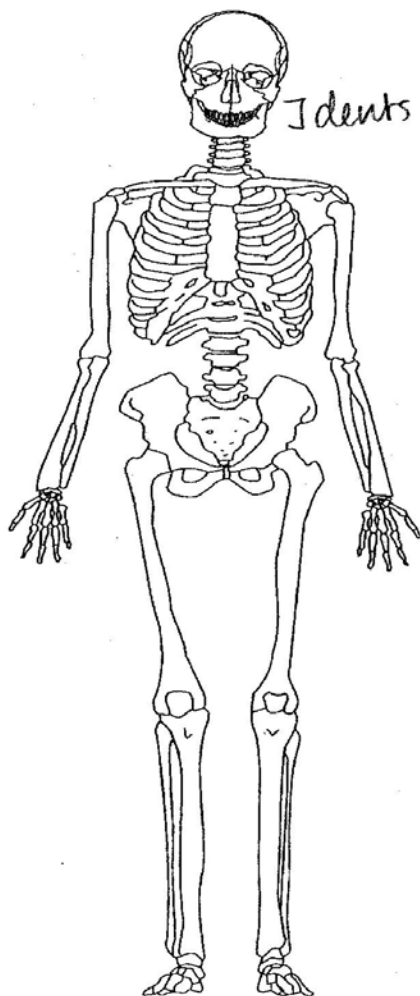
ÂGE : usure des dents : 16-20 ans mais ≠ d'entr.
 d'os longs pour confirmer ...
 donc adulte

FICHE INVENTAIRE

Site: St-Frédéric - de - Beauce

No. de sépulture: B13

Vanessa Oliver-Lloyd CbEv-1



Os présents :

dents libres supérieures:

I' à P11'G + 11'3G et
P11' et 11'D ; dents

inférieures : I (non-id.)

P11, D et G, 11, D et G,
5 fragments de
racines

FICHE DÉTERMINATION DE L'ÂGE

Site: St-Frédéric-de-Beauce

No. de sépulture: B13

Vanessa Oliver-Lloyd

Âge estimé: 30-35 ans

SUTURES CRÂNIENNES

coronale :

N/A

incisive :

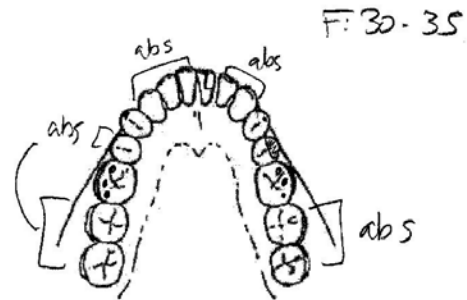
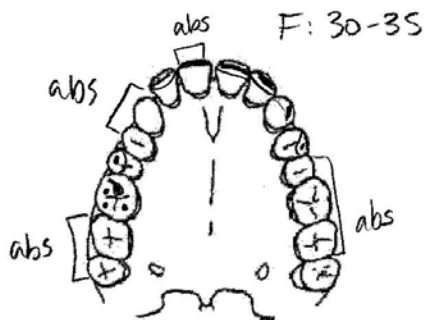
N/A

sagittale :

sphéno-occipitale :

lambdoïde :

USURE DES DENTS



COXAUX

surfaces auriculaires :

N/A

symphyses pubiennes :

FICHE OBSERVATION DES DENTS

Site: St-Frédéric-de-Beauce No. de sépulture: B13
 Vanessa Oliver-Lloyd 06er-1

MAXILLAIRE SUPÉRIEUR

dents libres

Dents	M ³		M ²		M ¹		PM ²		PM ¹		C		I ²		I ¹	
	G	D	G	D	G	D	G	D	G	D	G	D	G	D	G	D
hypoplasie	0				0		0	0	0		0	0	0		0	
description																
localisation																
tartre	0				0		0	0	0	0	0	0	0	0	0	0
caries	0				0		0	0	0	0	0	0	0	0	0	0
nombre																
absence																
état	T				T		T	T	T	T	T	T	T	T	T	T

MANDIBULE

I non-id.

Dents	M ³		M ²		M ¹		PM ²		PM ¹		C		I ²		I ¹	
	G	D	G	D	G	D	G	D	G	D	G	D	G	D	G	D
hypoplasie					0	0	0	0	0	0						0
description																
localisation																
tartre					0	0	0	0	0	0						0
caries					0	0	0	0	0	0						0
nombre																
absence																
état					T	T	T	T	T	T						T

St-Frédéric-de-Beauce CBEr-1

17/03/10

162

B13

dents libres seulement

Supérieures: I' G : racine brisée, assez usée, tachée
noire

I2 G : ± racine

CG : ± racine

PN'G : idem

Π³G : idem

PN²D : ± de racine

M¹D : assez usée

inférieures: I rang et côté? , brisée, ± racine

PN₁D : usée

PN₂D : idem

PN₁G : idem

Π₁D : "

Π₁G : "

] les deux ont leurs racines

racines: 5 fragments non-identifiés

SEXE: indéterminé

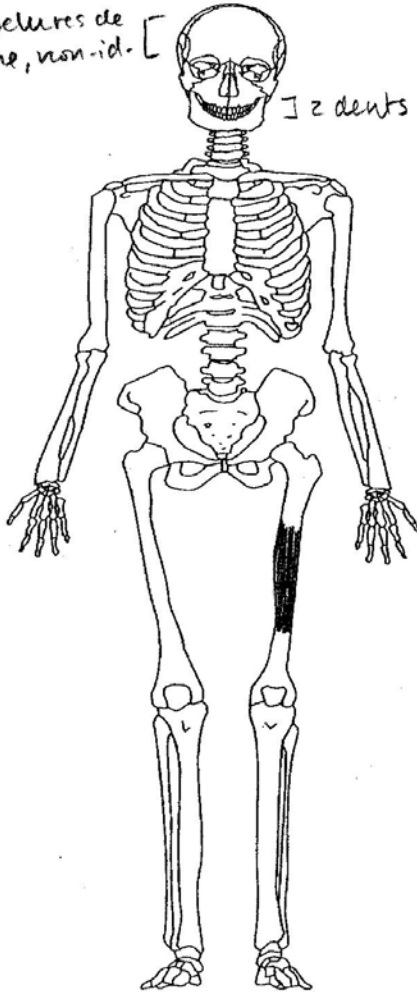
ÂGE: selon usure des dents F: 30 à 35 ans

FICHE INVENTAIRE

Site: St-Frédéric-de-Beauce
Vanessa Oliver-Lloyd CbGr-1

No. de sépulture: B15

peaux de crâne, non-ident. []
] 2 dents



Os présents :

peaux de cortex de crâne, 2 dents, femur G (frag de diaphyse)

FICHE DÉTERMINATION DE L'ÂGE

Site: St-Frédéric-de-Beauce
Vanessa Oliver-Lloyd ChGr-1

No. de sépulture: B15
Âge estimé: indéterminé

SUTURES CRÂNIENNES

coronale :

incisive :

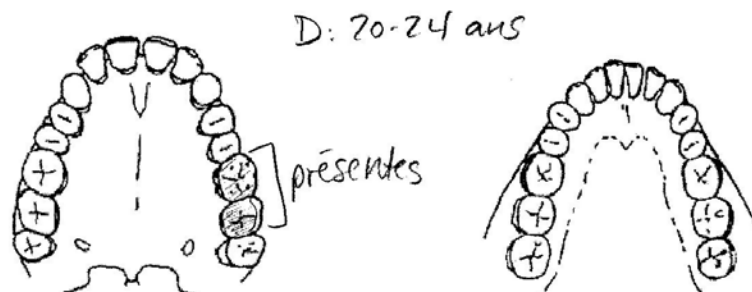
N/A

sagittale :

sphéno-occipitale :

lambdoïde :

USURE DES DENTS



pas assez pour
déterminer
l'âge → os
longs
complets

COXAUX

surfaces auriculaires :

N/A

symphyses pubiennes :

FICHE OBSERVATION DES DENTS

Site : St-Frédéric-de-Beauce

No. de sépulture : B15

Vanessa Oliver-Lloyd CbEr-1

MAXILLAIRE SUPÉRIEUR

Dents	M ³		M ²		M ¹		PM ²		PM ¹		C		I ²		I ¹	
	G	D	G	D	G	D	G	D	G	D	G	D	G	D	G	D
hypoplasie			0		0											
description																
localisation																
tartre			0		0											
caries			2		0											
nombre			1													
absence																
état			T		T											

↳ carie face ocl.

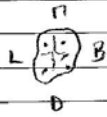
MANDIBULE

Dents	M ³		M ²		M ¹		PM ²		PM ¹		C		I ²		I ¹	
	G	D	G	D	G	D	G	D	G	D	G	D	G	D	G	D
hypoplasie																
description																
localisation																
tartre																
caries																
nombre																
absence																
état																

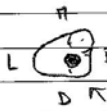
BIS

Crâne: petits fragments (pelures de cortex) non lavés

11¹G: il ne reste que la couronne qui est tachée noire, la face occl. est polie et commence à montrer les trous qui exposeront la dentine.



11²G: idem, il y a une carie dans la face occl. un trou assez gros



Sur les sacs on voit "bras, côté G" mais ne reste que de la poussière d'os dans les sacs
↳ pas d'observations possibles

fémur G: diaphyse, cortex parti, os taché bien
RAS

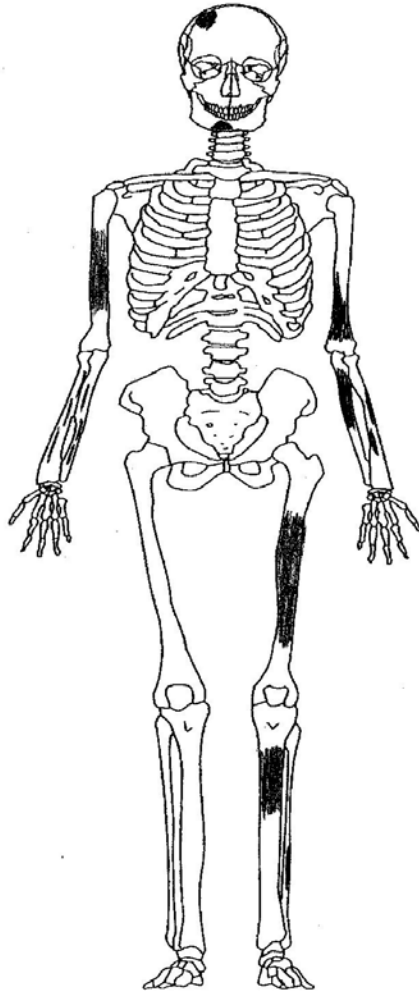
SEXE: indéterminé

ÂGE: usure des 2 dents supérieures donne
D: 20-24 ans mais comme il n'y a rien d'autre ... indéterminé

FICHE INVENTAIRE

Site : St-Frédéric-de-Beauce Cbr-1 No. de sépulture : B16

Vanessa Oliver-Lloyd



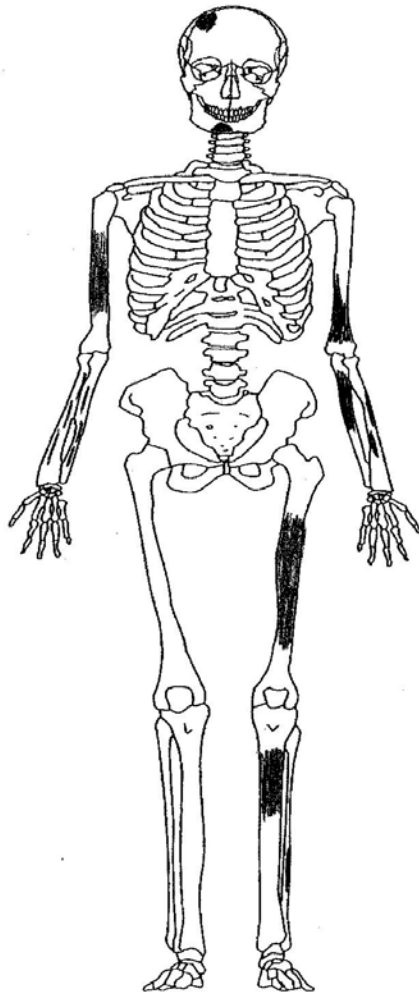
Os présents :

frag calotte non-ident, frag.
mandibule + 7 dents, humérus D
partiel, éclats d'avant-bras D
humérus G partiel, cubitus G
partiel, éclats de radius G,
jambe G partielle

FICHE INVENTAIRE

Site : St-Frédéric-de-Beauce Cbr-1 No. de sépulture : B16

Vanessa Oliver-Lloyd



Os présents :

frag calotte non-ident, frag.
mandibule + 7 dents, humérus D
partiel, éclats d'avant-bras D
humérus G partiel, cubitus G
partiel, éclats de radius G,
jambe G partielle

FICHE DÉTERMINATION DE L'ÂGE

Site: St-Frédéric-de-Beauce

No. de sépulture: B16

Vanessa Oliver-Lloyd

Âge estimé: adulte

SUTURES CRÂNIENNES

coronale :

incisive :

N/A

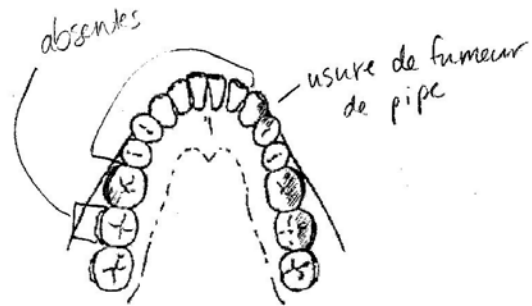
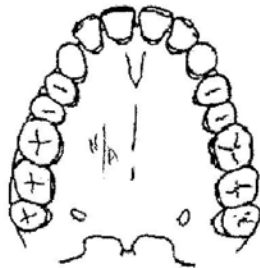
sagittale :

sphéno-occipitale :

lambdoïde :

USURE DES DENTS

C: 18-22



COXAUX

surfaces auriculaires :

N/A

symphyses pubiennes :

FICHE OBSERVATION DES DENTS

Site : St-Frédéric-de-Beauce
 Vanessa Oliver-Lloyd cbér-1

No. de sépulture : 816

MAXILLAIRE SUPÉRIEUR

Dents	M ³		M ²		M ¹		PM ²		PM ¹		C		I ²		I ¹	
	G	D	G	D	G	D	G	D	G	D	G	D	G	D	G	D
hypoplasie																
description																
localisation																
tartre																
caries																
nombre																
absence																
état																

MANDIBULE

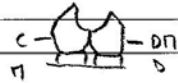
Dents	M ³		M ²		M ¹		PM ²		PM ¹		C		I ²		I ¹	
	G	D	G	D	G	D	G	D	G	D	G	D	G	D	G	D
hypoplasie	0		0	0	0	0	0	0	0	0						
description																
localisation																
tartre	0		0	0	0	0	0	0	0	0						
caries	0		0	0	0	0	0	0	0	0						
nombre																
absence																
état	T		T	T	T	T	T	T	T	T						

B110

crâne : frag non-ident. de calotte, pris dans des racines

mandibule : fragment autour du menton, friable

dents inf : CD et P Π_1 D : usure de fumeur de pipe



P Π_2 D : RAS

Π_2 D : RAS

Π_1 D : RAS

- toutes les dents ont des taches noires sur la couronne (taphonomique)

Π_1 G : racine semble incomplète et elle ressemble à la racine d'une Π_2 . La couronne fait Π_1 .

Π_3 G : racine brisée, reste couronne seulement, pas d'usure

humérus D : frag de diaphyse, \neq de cortex, érodé assez petit

G : idem que ci-haut

avant bras D : éclats d'os non-identifiables

G : cubitus identifiable, \neq cortex, brisé + radius = éclats

fémur G : frag diaph. \neq cortex, érodé, pas de relief muscul. développé (mais \neq de surface!)

tibia G : idem, RAS péroné : éclat

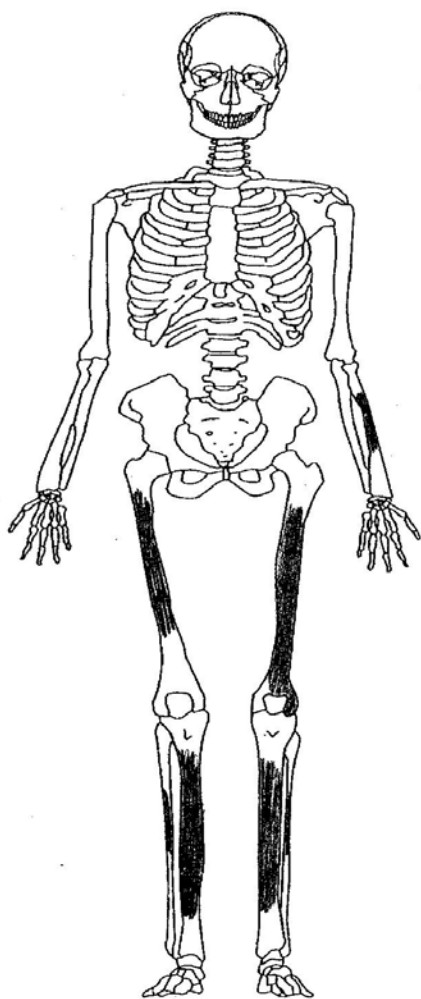
SEXE : Π ? à cause de l'usure de fumeur de pipe

AGE : adulte à cause de la Π_3 G

FICHE INVENTAIRE

Site: St-Frédéric-de-Beauce
Vanessa Oliver-Lloyd UBer-1

No. de sépulture: B20



Os présents :
<u>fragment radius G,</u>
<u>jambe D partielle,</u>
<u>jambe G partielle</u>

St-Frédéric-de-Beauce (bér-1)

11/03/10

WZ

B20

radius G: frag diaphyse ≠ de surface (cortex érodé)

semurs D: ≠ surface, érodé, ≠ relief musculaire
il reste un peu de cortex sur face post

G: un peu mieux conservé ligne âpre peu saillante, extr. dist. ≠ observable car envahie par racines

tibias D: ≠ surface
G: idem

péronés : D et G : éclats

SEXE: indéterminé

ÂGE: adulte?

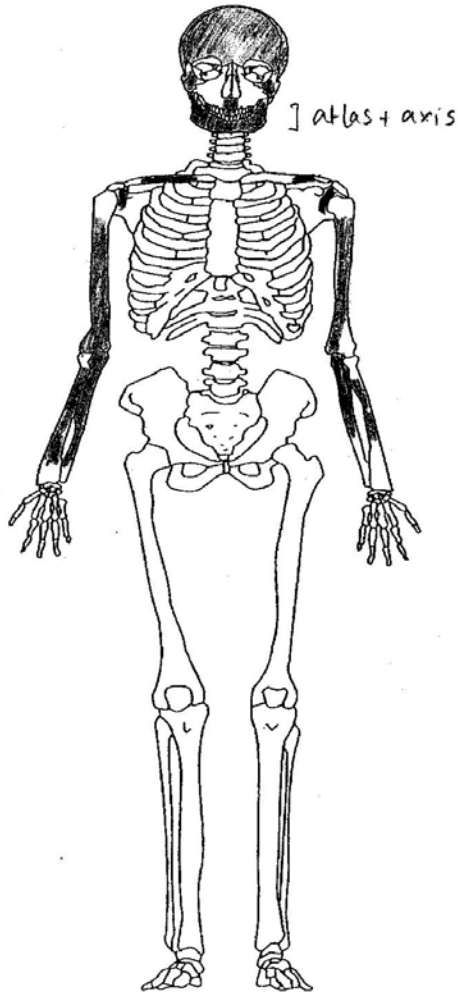
FICHE INVENTAIRE

Site: St. Frédéric de Beauce

No. de sépulture: B23

Vanessa Oliver-Lloyd

cbcr-1



Os présents:

(calotte)
crâne presque complet, man-
dibule complète, atlas + axis,
bras presque complets, cein-
ture scapulaire partielle.

FICHE DÉTERMINATION DU SEXE ET DE LA STATURE

Site : St-Frédéric-de-Beauce

No. de sépulture : B23

Vanessa Oliver-Lloyd

Sexe : F

SEXE

os	critères	note
crâne	arcades sourcilières	1
	crête nuchale	2
	longueur mastoïdes	X
	bord supérieur de l'orbite	
	bosses frontales et pariétales	1
mandibule	forme du front	1
	éminence mentonnière	1
mandibule	forme du menton	1
	éminence mentonnière	1
coxaux	échancrures sciatiques	N/A
	sulcus préauriculaire	
	angle pubien	
	branche descendante	
post-crânien	robustesse	1
	dimensions	1

STATURE

Longueur des os longs:

	gauche	droit
humérus	—	—
radius	—	—
cubitus	—	—
fémur		
tibia		

FICHE DÉTERMINATION DE L'ÂGE

Site : St-Frédéric-du-Beauce
Vanessa Oliver-Lloyd cbcr-1

No. de sépulture : B23
Âge estimé : adulte moyen

SUTURES CRÂNIENNES

coronale : 25%

incisive : —

sagittale : 50%

sphéno-occipitale : —

lambdoïde : 50%

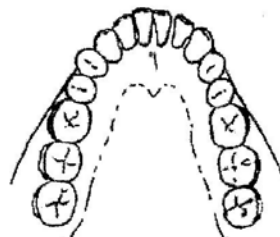
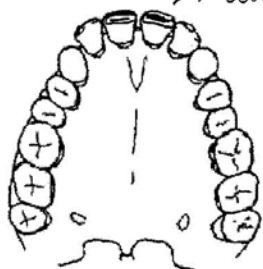
39 ± 10 ans

29 à 49 ans

USURE DES DENTS

E : 24-30 ans trop jeune

→ seulement 2 dents



COXAUX

surfaces auriculaires :

N/a

symphyses pubiennes :

FICHE OBSERVATION DES DENTS

Site : St-Frédéric-de-Beauce

No. de sépulture : B23

Vanessa Oliver-Lloyd CBEx-1

MAXILLAIRE SUPÉRIEUR

Dents	M ³		M ²		M ¹		PM ²		PM ¹		C		I ²		I ¹	
	G	D	G	D	G	D	G	D	G	D	G	D	G	D	G	D
hypoplasie																0
description																0
localisation																
tartre																0
caries																0
nombre																0
absence	A	A	A	A	A	A										
état							B	B	B	B	B	B	B	B	T	T

MANDIBULE

Dents	M ³		M ²		M ¹		PM ²		PM ¹		C		I ²		I ¹	
	G	D	G	D	G	D	G	D	G	D	G	D	G	D	G	D
hypoplasie																
description																
localisation																
tartre																
caries																
nombre																
absence																
état																

FICHE OBSERVATION ARTHROSE

Site : St-Frédéric-de-Beauce

No. de sépulture : B23

Vanessa Oliver-Lloyd ObEx-1

CRÂNE ET MANDIBULE

	gauche			droit		
	localisation	sévérité	type	localisation	sévérité	type
crâne	condyle			condyle		
	glénoïde	0	0	glénoïde	0	0
mandibule	condyle	X	X	condyle	X	X

VERTÈBRES

vert.	supérieur			inférieur		
	localisation	sévérité	type	localisation	sévérité	type
C 1	apophyses	0	0	apophyses	0	0
	corps	-	-	corps	-	-
C 2	apophyses	0	0	apophyses	X	X
	corps	-	-	corps	-	-
C	apophyses			apophyses		
	corps			corps		
C	apophyses			apophyses		
	corps			corps		
C	apophyses			apophyses		
	corps			corps		
C	apophyses			apophyses		
	corps			corps		
C	apophyses			apophyses		
	corps			corps		
T	apophyses			apophyses		
	corps			corps		
T	apophyses			apophyses		
	corps			corps		
T	apophyses			apophyses		

Surf. art. non-ident. 0-0

	corps			corps		
T	apophyses			apophyses		
	corps			corps		
T	apophyses			apophyses		
	corps			corps		
T	apophyses			apophyses		
	corps			corps		
T	apophyses			apophyses		
	corps			corps		
T	apophyses			apophyses		
	corps			corps		
T	apophyses			apophyses		
	corps			corps		
T	apophyses			apophyses		
	corps			corps		
L	apophyses			apophyses		
	corps			corps		
L	apophyses			apophyses		
	corps			corps		
L	apophyses			apophyses		
	corps			corps		
L	apophyses			apophyses		
	corps			corps		

MEMBRES SUPÉRIEURS

	gauche			droit		
	localisation	sévérité	type	localisation	sévérité	type

© Vanessa Oliver-Lloyd, 2006

omoplate	glénoïde			glénoïde		
humérus	proximal			proximal		
	distal	X	X	distal	o	-
radius	proximal			proximal		
	distal			distal		
cubitus	proximal	o	-	proximal	o	-
	distal			distal		
main	carpes			carpes		
	MC			MC		
	phalanges			phalanges		

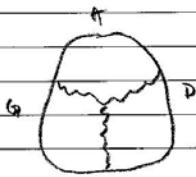
MEMBRES INFÉRIEURS

	gauche			droit		
	localisation	sévérité	type	localisation	sévérité	type
coxal	acetabulum			acetabulum		
fémur	proximal			proximal		
	distal			distal		
rotule	postérieur			postérieur		
tibia	proximal			proximal		
	distal			distal		
péroné	proximal			proximal		
	distal			distal		
pied	tarses			tarses		
	MT			MT		
	phalanges			phalanges		

Autres :

B23

Crâne: - le frontal et les pariétaux sont en 1 max
 - le crâne est très large et court, en vue sup il a une forme triangulaire. Les bosses pariétales sont très présentes mais pas celles du frontal. Front très court et très droit, ≠ d'arcade saillante. Surface endommagée / érodée. warping?



- en vie interne: toutes les sutures sont fermées, on voit beaucoup d'arachnoïde granulations (= personne + âgée) le long de la sagittale + dans le frontal

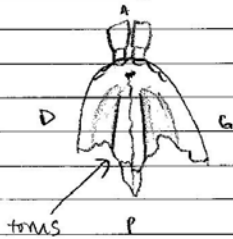
- occipital: RAS

- temporaux: les mastoïdes sont érodées mais semblent petites.

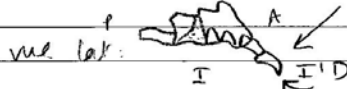
- maxillaires: RAS

sphénoïde: RAS

- max sup: - il reste le maxillaire et un peu des palatins + les 2 I1



- il y a un torus maxillaire au centre
 - en vue latérale, les I' sont très très avancées = overbite. Peut-être dû à un certain warping. Mais même en compensant, il y a un overbite.

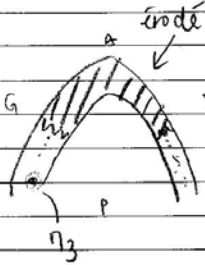


- le trou palatin est très gros et il y a un trou derrière la I'D (abcs?)

- les 2 I ont des lignes brunâtres sur la couronne face buccale (post-mortem?). Elles portent des traces d'usure

B 23 (suite)

mandibule: - érodée au niveau du centre du corps et du menton



- les π des 2 côtés sont tombées ante-mortem, les alvéoles sont complètement résorbées sauf pour $\pi_3 G$ où l'on voit encore le trou

- la forme + angle goniale = F
mais peut être dû au changement morphologique dû à la perte des dents

vertèbres: atlas: 3 mex dont 2 surf art.

axis: corps + apo odontoïde

quelques surf. articulaires non-identifiées

clavicules: - très fines, petites, incomplètes
- cortex pâle

omop: base acromion seulement, RAS

humérus: - très droits sans relief musculaire dev.

- cortex s'entève en longs lambeaux

- G: trou sus-trochléaire

radius: mal conservés, \neq d'extr., RAS

cubitus: extr. prox. conservées, mais RAS

SEXE: selon les critères du crâne + petitesse des os, ce serait une F

ÂGE: - sutures crâniennes donnent 39 ± 10 ans

- usure dentaire (basée seulement sur les 2 I'): 24-30 (trop jeune)

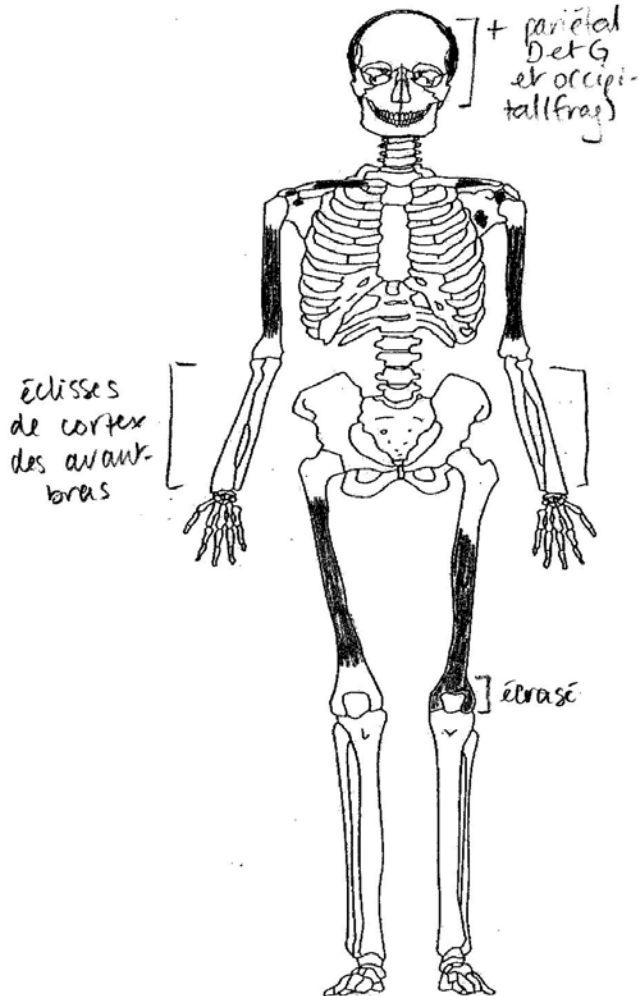
- présence d'archoïd granulations donc + vieux

- âge = adulte moyen

FICHE INVENTAIRE

Site: St-Frédéric-de-Beauce
Vanessa Oliver-Lloyd C6Er-1

No. de sépulture: B26



Os présents :

Crâne partiel, ceinture
Scapulaire partielle,
bras incomplets, fé-
murs incomplets, tibia
D incomplet

FICHE DÉTERMINATION DU SEXE ET DE LA STATURE

Site : St-Frédéric-de-Beauce

No. de sépulture : B26

Vanessa Oliver-Lloyd Uber-1

Sexe : indéterminé

SEXE

os	critères	note
crâne	arcades sourcilières	
	crête nuchale	5
	longueur mastoïdes	2
	bord supérieur de l'orbite	
	bosses frontales et pariétales	3
mandibule	forme du front	
	éminence mentonnière	N/A
coxaux	forme du menton	
	échancrures sciatiques	
	sulcus préauriculaire	N/A
	angle pubien	N/A
post-crânien	branche descendante	
	robustesse	1
	dimensions	1

STATURE

Longueur des os longs:

	gauche	droit
humérus	—	—
radius	X	X
cubitus	X	X
fémur	—	—
tibia	—	—

FICHE DÉTERMINATION DE L'ÂGE

Site: St-Frédéric-de-Beauce
Vanessa Oliver-Lloyd UBCR-1

No. de sépulture: B26
Âge estimé: adulte moyen

SUTURES CRÂNIENNES

coronale: N/A

incisive: —

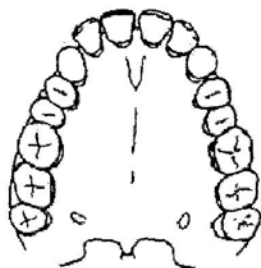
sagittale: 0

sphéno-occipitale: —

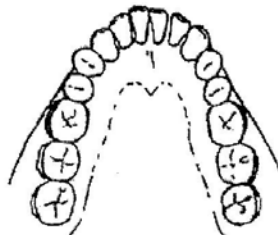
lambdoïde: 25%

34 ± 7.8 → mais basé sur
27 à 41 ans 1 seule suture
+ fiable

USURE DES DENTS



N/A



COXAUX

surfaces auriculaires:

N/A

symphyses pubiennes:

B26

Crâne : en mcx

pariétal D: érodé en surface, pas de bosses visibles

pariétal G: idem

occipital: gonion très développé, en crête, fait masculin même si érodé en surface

temporaux: érodés, mastoïdes font F mais c'est dû à l'érosion probablement

cint. scap: clavicules: érodées, fines, cortex absent, frags de corps

omoplates: D = base acromion
G = idem + 1 frag corpshumérus: - droits, aucun relief musculaire développée
- semblent F mais ≠ de cortex

avant-bras: éclisses de diaphyses non-identifiées et "trouvées à l'ouest". Très petits et p-e à un autre ind. (?)

fémurs: D - diaphyse ≠ cortex, tron nourricier + grand
G - idem, extr. distale complètement écrasée et rongée par les racinestibia D: diaphyse écrasée latéro-médiallement
≠ cortex

SEX: indéterminé: certains éléments sont M d'autres sont F

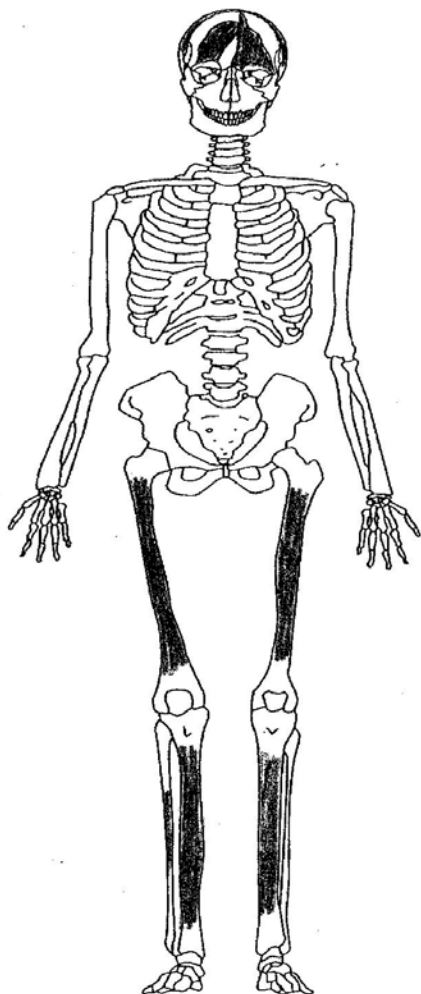
ÂGE: sutures donnent 34 ± 7 donc 27 à 41 ans adulte moyen car pas assez d'infos.

FICHE INVENTAIRE

Site : St-Frédéric-de-Beauce

No. de sépulture : C1

Vanessa Oliver-Lloyd



Os présents :

frontal, pariétaux et occipital en Mex + 2 dents,
jambe D partielle, jambe G partielle

FICHE DÉTERMINATION DU SEXE ET DE LA STATURE

Site : St-Frédéric-de-Brouce

No. de sépulture : C1

Vanessa Oliver-Lloyd cbcr-1

Sexe : M

SEXE

os	critères	note
crâne	arcades sourcilières	X
	crête nuchale	5
	longueur mastoïdes	
	bord supérieur de l'orbite	5
	bosses frontales et pariétales	
mandibule	forme du front	5
	éminence mentonnière	N/A
coxaux	forme du menton	N/A
	échancrures sciatiques	
	sulcus préauriculaire	N/A
	angle pubien	N/A
post-crânien	branche descendante	
	robustesse	X
	dimensions	X

STATURE

Longueur des os longs:

	gauche	droit
humérus		
radius		
cubitus		
fémur	—	—
tibia	—	—

FICHE DÉTERMINATION DE L'ÂGE

Site: St-Frédéric-de-Beauce
Vanessa Oliver-Lloyd CB Er-1

No. de sépulture: C1
Âge estimé: adulte

SUTURES CRÂNIENNES

39 ± 9.1

coronale: 25%

incisive:

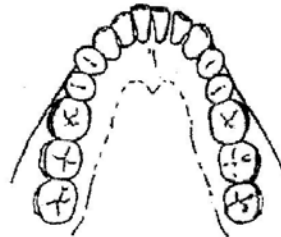
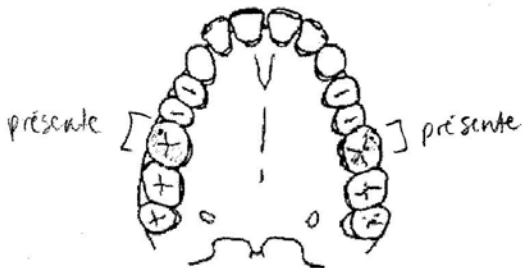
sagittale: 50%

sphéno-occipitale:

lambdoïde: 50%

USURE DES DENTS

C: 18-22



COXAUX

surfaces auriculaires:

N/A

symphyses pubiennes:

FICHE OBSERVATION DES DENTS

Site : St-Frédéric-de-Beauce
 Vanessa Oliver-Lloyd Cher-1

No. de sépulture : C1

MAXILLAIRE SUPÉRIEUR

Dents	M ³		M ²		M ¹		PM ²		PM ¹		C		I ²		I ¹	
	G	D	G	D	G	D	G	D	G	D	G	D	G	D	G	D
hypoplasie					0	0										
description																
localisation																
tartre					0	0										
caries					0	0										
nombre																
absence																
état					T	T										

MANDIBULE

Dents	M ³		M ²		M ¹		PM ²		PM ¹		C		I ²		I ¹	
	G	D	G	D	G	D	G	D	G	D	G	D	G	D	G	D
hypoplasie																
description																
localisation																
tartre																
caries																
nombre																
absence																
état																

St-Frédéric-de-Beauce (bér-1)

11/03/10
WZ

CI

Crâne = en mex frontal: bord sup de l'orbite fait π
surf. érodée, friable
arachnoïd 'granulation endo

- parietal D: macroporosité sur la surf. exo, mais
bcp d'érosion donc tapho?
G: idem pour descrip

- occipital: frag autour crête nuchale, saillante, π

dents: π 'D: noire, un peu d'usure, petit trou dentine.
 π 'G: idem

fémurs D: diaphyse, surf. très friable, cortex érodé, s'enlève
en longues pelures
G: idem (\pm de cortex)] semblent petits

tibia D: écrasé médio-latéralement, cortex pâle
G: idem

péroné D: frag, RAS

SEXE: selon quelques éléments du crâne: π

ÂGE: adulte. dents = 18-22 mais basé sur 2 dents
seulement
sutures = incomplet, donne 39 ± 9
arach. granulations associé à âge élevé